

Kapitel IV. Die frühe Phase  $0.1 \text{ MeV} < T < 10 \text{ MeV}$

" The numerical results show that (...) the n-p ratio at the beginning of the element formation is nearly 1:4 almost irrespective of its initial values as long as initial temperatures are so high ( $T \gtrsim 2 \times 10^{10} \text{ K}$ ) that equilibrium has once been attained. "

C. Hayashi (1950)

1. Einleitung

In diesem Kapitel besprechen wir die Evolutionsphase, welche zum Zeitpunkt beginnt, als sich das Universum auf etwa  $10 \text{ MeV}$  abgekühlt hatte. Wir befinden uns dann in einem Bereich, für welchen die physikalischen Grundgesetze im wesentlichen bekannt sind. Die vorherrschenden Dichten sind ausserdem gering<sup>1)</sup>. Wir nehmen im folgenden an, dass das Universum auch in diesem frühen Stadium homogen und isotrop war. Indirekte Evidenz dafür wird sich aus dem Vergleich der erwarteten Nukleosynthese der leichtsten Elemente mit den Beobachtungen ergeben.

Da oberhalb von  $\sim 10 \text{ MeV}$  alle Teilchen (Strahlung, Leptonen, Hadronen) im thermodynamischen Gleichgewicht sind, müssen wir nur wenige Anfangsbedingungen stellen.

---

1) Deutlich unterhalb  $100 \text{ MeV}$  ist  $\rho_B = \rho_{B0} (T/3\text{K})^3$ ,  $\rho_{B0} \stackrel{\text{(II.1.6)}}{=} 1.9 \times 10^{-29} (\text{g/cm}^3) \Omega_B h_0^2$ ; also

$$\rho_B = 0.7 (T/10^{10} \text{ K})^3 \Omega_B h_0^2 (\text{g cm}^{-3}) \quad (1.1)$$

( $10^{10} \text{ K} \approx 1 \text{ MeV}$ ).

Die Massendichte und die Temperatur der Hintergrundstrahlung des gegenwärtigen Universums bestimmen die Kernstruktur und materielle Geschichte des vergangenen Universums, wenn kein stark entarteter (Anti-) Neutrinosee, oder gar exotische Formen von Materie vorhanden sind. Insbesondere können wir mit den heutigen Kenntnissen der Schwachen Wechselwirkungen und der Kernphysik die Nukleosynthese im Urknall durchrechnen.

Die Kernfusion findet bei  $\sim 10^9$  K statt. Diese Temperatur wird durch die kleine Bindungsenergie des Deuterons bestimmt. Bei höheren Temperaturen wird ein  $^2\text{H}$ -Kern durch Photospaltung sofort wieder aufgebrochen. Die Kernreaktionen erzeugen vor allem  $^4\text{He}$ , da dieser Kern eine hohe Bindungsenergie hat und weil keine stabilen Kerne mit Massenzahl 5 und 8 existieren. Als Ergebnis erhält man eine Massenfrequenz von  $^4\text{He}$  von etwa 25%. Dieser Wert hängt nur relativ schwach von der heutigen mittleren Dichte ab.

Historisch wurde die Nukleosynthese im Urknall zuerst von Gamow und seinen Mitarbeitern in den späten vierziger Jahre untersucht (siehe auch § III.1). Gamow nahm allerdings ursprünglich intuitiv an, dass bei hohen Dichten anfänglich alle Nukleonen Neutronen sind. Etwas später (1950) bemerkte aber Hayashi<sup>2)</sup>, dass oberhalb von etwa 2 MeV ( $\approx 2 \times 10^{10}$  K) zwischen Elektronen, Positronen, Neutrinos und Nukleonen aufgrund von Reaktionen wie  $e^+ + n \rightleftharpoons p + \bar{\nu}$ ,  $\nu + n \rightleftharpoons p + e^-$  ein thermodynamisches Gleichgewicht besteht. Nach 1965 – dem Entdeckungsjahr der 3K-

Erklärung - wurde die Big-Bang-Nukleosynthese von verschiedenen Autoren wiederholt verbessert undgedeutet.<sup>3)</sup>

## 2. Das Standardmodell (Übersicht)

In diesem Abschnitt geben wir zuerst eine Übersicht im Rahmen des Standardmodells und gehen erst ausdifferenzierend ins Detail.

Deutlich unterhalb von  $100 \text{ keV} \approx 10^{12} \text{ K}$  haben sich die Nukleonen und Antinukleonen weitgehend annihiliert, wobei allerdings ein sehr kleiner Nukleonenüberschuss übrig blieb. (Im Moment müssen wir diese Asymmetrie als unerklärte Anfangsbedingung hinnehmen. In Kap. VII werden wir aber sehen, dass diese auf natürliche Weise entstehen konnte.) Die  $\pi$ -Mesonen, K-Mesonen und andere Mesonen sind zerfallen. Die Energiedichte wird fast vollständig durch die vorhandenen Leptonen und die Wärmestrahlung dominiert. Die übriggebliebenen Nukleonen bilden lediglich eine unbedeutende "Verunreinigung", welche allerdings für unsere Existenz ausschlaggebend ist.

Alle Teilchen sind zunächst im thermodynamischen Gleichgewicht und deshalb müssen wir fast keine künstlichen Anfangsbedingungen stellen. Da die Masse der Nukleonen etwas über  $100 \text{ keV}$  ist, verschwinden auch diese

- 
- 2) Die Arbeit von C. Hayashi wurde auf S. 144 zitiert. Einen Nachdruck findet man in: Prog. Theor. Phys., Suppl. 49, 248 (1971).
- 3) Referenzen und den gegenwärtigen Stand findet man in J. Yang et al., Ap. J. 281, 493 (1984), .... S. Sarkar, Rep. Prog. Phys. 59, 1493-1609 (1996).

sehr bald. In etwa einer Sekunde fällt die Temperatur um einen Faktor hundert (vgl. Fig. 1). Gleichzeitig wird durch die Expansion das Universum so stark verdünnt, dass die sehr schwach wechselwirkenden Neutrinos von der übrigen Materie abkoppeln. Die Reaktionsgeschwindigkeiten für die Prozesse  $e^+e^- \leftrightarrow \nu + \bar{\nu}$ ,  $e^+ + \nu \rightarrow e^+ + \nu$  werden dann nämlich langsamer als die Expansionsgeschwindigkeit des Universums (siehe Abschnitt 3). Bis zu einer

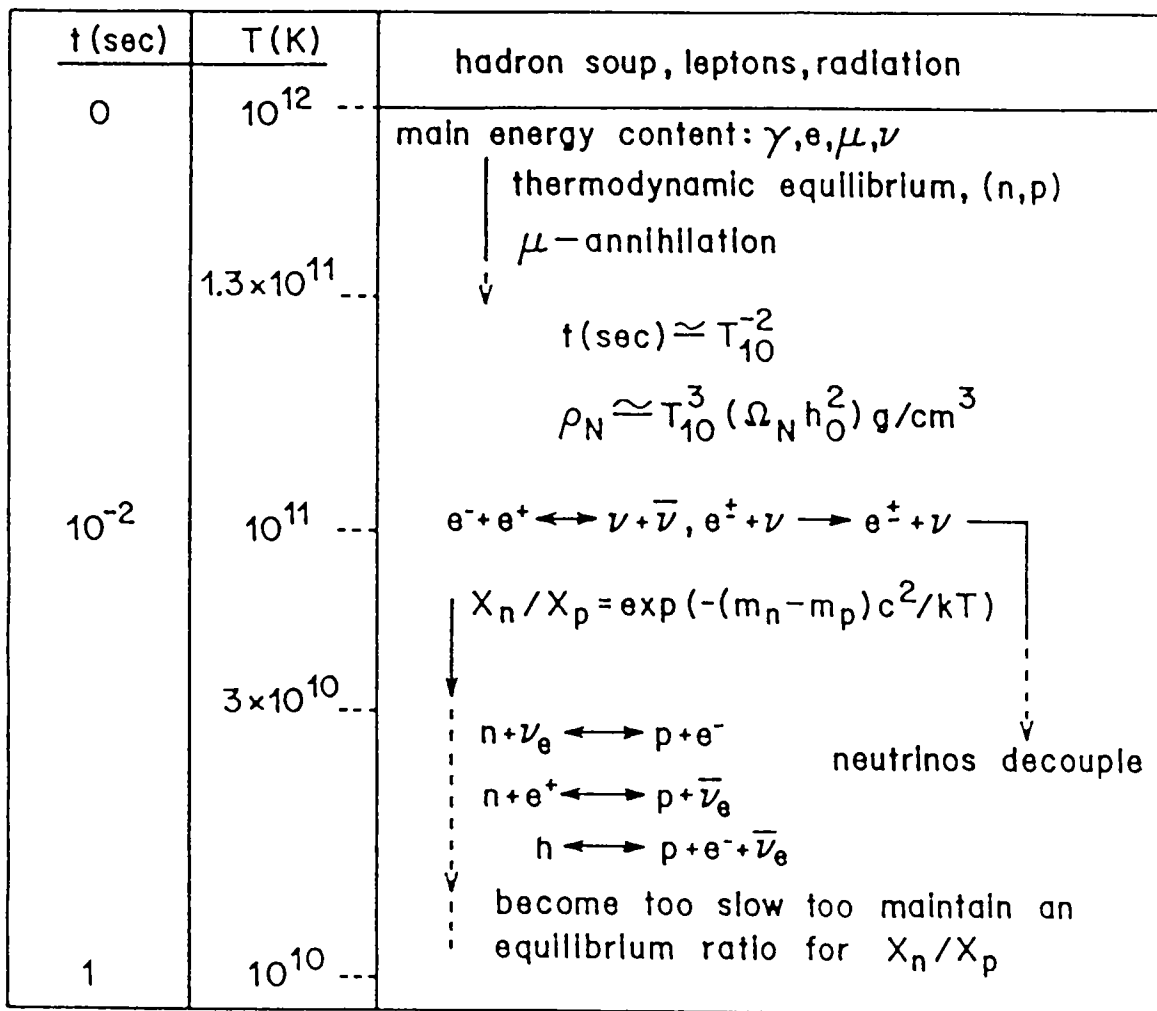


Fig. 4.1. Thermische Geschichte des Universums unterhalb  $T = 100 \text{ keV}$ . Notation:  $T_{10} = T / 10^{10} \text{ K}$   
 $\rho_N = \text{Nukleondichte}$ ,  $\Omega_N$  ist der gegenwärtige Nukleon-Dichteparameter.

Temperaturen von etwa  $3 \text{ keV}$  sind aber die Neutronreaktionen noch schnell genug, um für das Häufigkeitsverhältnis von Protonen und Neutronen thermodynamisches Gleichgewicht aufrechtzuerhalten. Nach der Entkopplung ändert sich dieses Verhältnis hauptsächlich dadurch, dass ein Teil der Neutronen zerfällt. Das Neutronengas kühlt sich in der Folge bis zum heutigen Zeitpunkt adiabatisch ab.

Unterhalb von etwa  $5 \times 10^9 \text{ K}$  beginnen sich die Elektronen und Positronen zu annihilieren, wodurch die Wärmestrahlung aufgehört wird. Deshalb ist anschließend die Strahlungstemperatur etwas höher als die Neutronentemperatur (vgl. Abschnitt 3). Beide fallen in der Folge proportional zum inversen Skalenfaktor  $a^{-4}(t)$ .

Nach etwas weniger als drei Minuten ist die Temperatur unter  $10^9 \text{ K}$  gesunken. Dann werden die relativ schwach gebundenen Deuteronen durch die Reaktion  $n + p \leftrightarrow d + \gamma$  in thermodynamischer Häufigkeit in interessanten Mengen produziert. Damit setzen aber sofort verschiedene Kernreaktionen ein (Fig. 2). Dabei wird vor allem  ${}^4\text{He}$  gebildet, da dieser Kern eine hohe Bindungsenergie hat und weil keine stabilen Kerne mit Massenzahl 5 und 8 existieren. Heliumkernreaktionen sind nicht möglich, da das Nucleonengas zu stark verdünnt ist. Aus demselben Grund muss die Nucleosynthese über die Bildung von Deuteronen laufen. Als Folge ist die Massenhäufigkeit,  $Y$ , von  ${}^4\text{He}$  nach der Big-Bang-Nucleosynthese etwa doppelt so gross wie die Neutronenhäufig-

keit zu Beginn dieser Synthese. (Quantitative Ergebnisse werden in Abschnitt 4 diskutiert.)

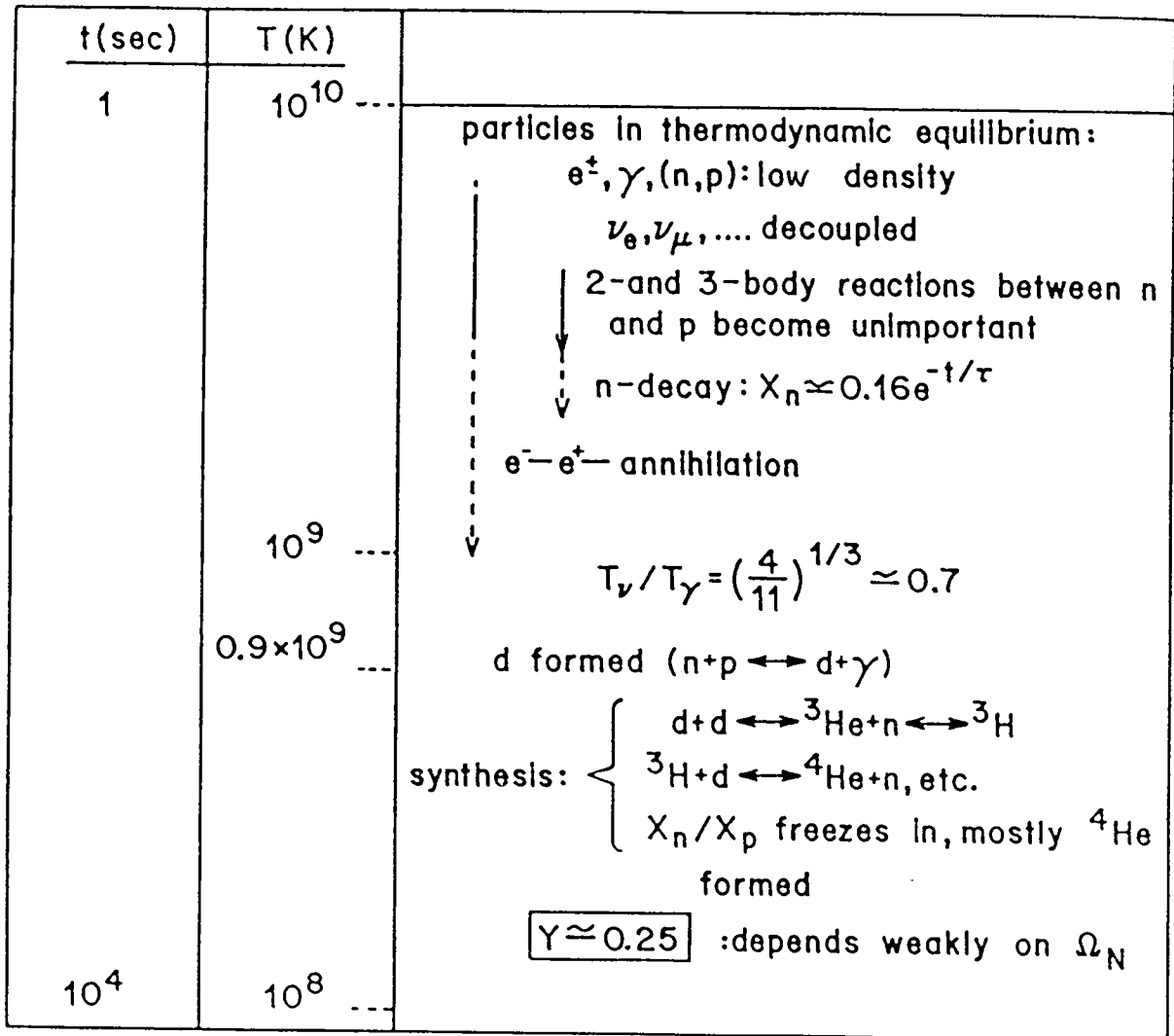


Fig. 4.2. Fortsetzung von Fig. 1.  $T_\nu$  und  $T_\gamma$  bezeichnen die Neutrino-, bzw. die Photontemperatur.

Da die Neutrinos einen wesentlichen Teil zum Energieinhalt des frühen Universums beisteuern, hängt die Expansionsrate relativ stark von der Zahl der verschiedenen Neutrinosorten ab. Deshalb hängt auch das Neutron/Proton-Verhältnis zu Beginn der Nukleosynthese von dieser Zahl ab. Es ist deshalb verständlich, dass auch die resultierende Heliumhäufigkeit auf die Zahl der Neutrinosorten empfindlich ist (vgl. S. 4 E).

### 3. Einzelheiten zur thermischen Geschichte

#### A. Chemische Potentiale der Leptonen

Die Gleichgewichtsreaktionen zwischen den Teildien unterhalb von  $10^{12} \text{K}$  ( $\gamma$ , Leptonen, Nucleonen) erhalten die folgenden additiven Quantenzahlen<sup>\*</sup>:

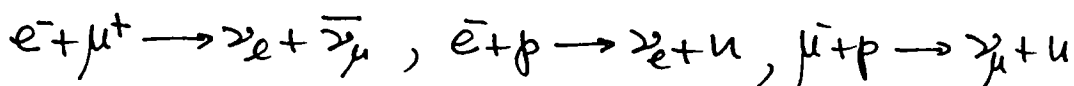
$Q$ : elektrische Ladung,

$B$ : Baryonzahl,

$L_e$ : Elektron-Leptonzahl,

$L_\mu$ : Myon-Leptonzahl,  $L_\pi$ , etc.?

Entsprechend gibt es ~~sie~~<sup>hier</sup> unabhängige chemische Potentiale. Da sich Teildien und Antiteildien in Photonen vernichten können, sind die chemischen Potentiale von Teildien und Antiteildien entgegengesetzt gleich:  $\mu_{e^-} = -\mu_{e^+}$ , etc. Aus den folgenden Reaktionen



entnehmen wir ferner die Gleichgewichtsbedingungen

$$\mu_{e^-} - \mu_{\nu_e} = \mu_{\mu^-} - \mu_{\bar{\nu}_\mu} = \mu_n - \mu_p. \quad (3.1)$$

Als unabhängige chemische Potentiale können wir also

$$\boxed{\mu_p, \mu_{e^-}, \mu_{\nu_e}, \mu_{\bar{\nu}_\mu}, \mu_{\nu_\mu}} \quad (3.2)$$

wählen.

Wir benutzen die Bezeichnungen  $n_Q, n_B, n_{L_e}, n_{L_\mu}, \dots$  für die Dichten der verschiedenen Quantenzahlen. Es ist

$$n_Q \approx 0 \quad (\text{lokale Ladungsneutralität}), \quad (3.3)$$

$$n_B \ll \text{Entropiedichte} (\sim n_\gamma), \quad (3.4)$$

$$n_{L_e} = n_{e^-} + n_{\nu_e} - n_{e^+} - n_{\bar{\nu}_e}, \quad (3.5)$$

$$n_{L_\mu} = n_{\mu^-} + n_{\nu_\mu} - n_{\mu^+} - n_{\bar{\nu}_\mu}, \text{ etc.} \quad (3.6)$$

Das Verhältnis  $n_B / \text{Entropiedichte}$  ist bei adiabatischer Expansion konstant.

Da im gegenwärtigen Universum die Anzahl der Elektronen gleich der Anzahl der Protonen ist, was nach dem Verschwinden der Neutrinos  $n_{e^-} \approx n_{e^+}$  [beachte (3.4)!], d.h.  $\mu_e (= -\mu_{e^+}) \approx 0$ . Möglicherweise waren aber die chemischen Potentiale der Neutrinos und Antineutrinos wesentlich von Null verschieden. In Analogie zu (3.4) machen wir die Annahme, dass auch die Leptonzahldichten viel kleiner als die Entropiedichte sind. (Gibt es dafür überzeugende Gründe vom sehr frühen Universum?) Dann sind auch die chemischen Potentiale der Neutrinos praktisch gleich Null ( $|\mu_{\nu}|/kT \ll 1$ ). Aus (3.3), (3.4) und der obigen Annahme folgt, dass die <sup>vier</sup> unabhängigen chemischen Potentiale (3.2) gleich Null gesetzt werden dürfen, denn die Dichten

\*) Auch wenn  $B, L_e$  und  $L_\mu$  nicht strikte erhalten sein sollten, wird dies für Zeiten  $\sim H_0^{-1}$  doch praktisch der Fall sein.



$n_Q, n_B, n_{L_e}$  und  $n_{L_\mu}$  sind ungerade in den unabhängigen Potentials (3.2). (Die Baryonen kommen bei der Diskussion der Nukleosynthese wieder ins Spiel.)

### B. Konstanz der Entropie

Mit  $p_{eq}, p_{eq}$  bezeichnen wir im folgenden die totale Energiedichte und den Gesamtdruck aller Teilchen im thermodynamischen Gleichgewicht. Da die chemischen Potentiale der Leptonen verschwinden, sind  $p_{eq}$  und  $p_{eq}$  nur Funktionen von  $T$ . Nach dem 2. Hauptsatz ist das Differential der Entropie

$$dS(V, T) = \frac{1}{T} [d(p_{eq}(T)V) + p_{eq}(T)dV]. \quad (3.7)$$

Daraus folgt

$$\begin{aligned} d(dS) = 0 &= d\left(\frac{1}{T}\right) \wedge d(p_{eq}(T)V) + d\left(\frac{p_{eq}(T)}{T}\right) \wedge dV \\ &= -\frac{p_{eq}}{T^2} dT \wedge dV + \frac{d}{dT} \left(\frac{p_{eq}(T)}{T}\right) dT \wedge dV, \end{aligned}$$

d.h.

$$\frac{d}{dT} \left(\frac{p_{eq}(T)}{T}\right) = p_{eq}(T)/T^2,$$

oder

$$\boxed{\frac{dp_{eq}(T)}{dT} = \frac{1}{T} (p_{eq}(T) + p_{eq}(T))}. \quad (3.8)$$

Benutzen wir diese Beziehung in (3.7), so folgt

$$dS = \frac{1}{T} d[(p_{eq} + p_{eq})V] - \frac{V}{T^2} (p_{eq} + p_{eq}) dT,$$

also

$$S = \frac{V}{T} (p_{eq} + p_{eq}) + \text{const.} \quad (3.9)$$

Die Entropiedichte  $s$  der Teilchen im Gleichgewicht ist also

$$\boxed{s = \frac{1}{T} (p_{eq} + p_{eq})}. \quad (3.10)$$

Bei adiabatischer Expansion bleibt die Entropie für ein mitbewegtes Volumen, also

$$\mathcal{S} = a^3 s, \quad (3.11)$$

erhalten. Die Konstanz von  $\mathcal{S}$  ist äquivalent zu Gl. (I.4.16) für die Gleichgewichtszustände. Tabäglich ist

$$p_{eq} = - \frac{d(p_{eq} a^3)}{d a^3}, \quad (3.12)$$

oder

$$a^3 \frac{d p_{eq}}{d t} = \frac{d}{d t} [a^3 (p_{eq} + p_{eq})], \quad (3.12')$$

nach (3.8) äquivalent zu  $d\mathcal{S}/dt = 0$ .

Speziell für masselose Teilchen ( $p = \frac{1}{3} \rho$ ) folgt aus (3.8) wieder  $\rho \propto T^4$  und damit aus  $\mathcal{S} = \text{const}$ , nach (3.10),  $T \propto a^{-1}$ .

### C. Reaktionsraten versus Expansionsrate

Wir müssen nun nachsehen, welche Teilchen im Laufe der Zeit im thermodynamischen Gleichgewicht sind. Da die chemischen Potentiale nach Abschnitt A verschwinden, können bei der Temperatur  $T$  nur Teilchen in interessanten Mengen beteiligt sein für die  $m < T$  ist. Unterhalb  $10^{12}$  K ( $\approx 100$  keV) sind dies nur  $\mu^\pm$ ,  $e^\pm$ ,  $\nu_\mu, \bar{\nu}_\mu, \nu_e, \bar{\nu}_e$ ,  $\gamma$  und weitere Neutrinosorten (wie das  $\tau$ -Neutrino). Die Nukleonen

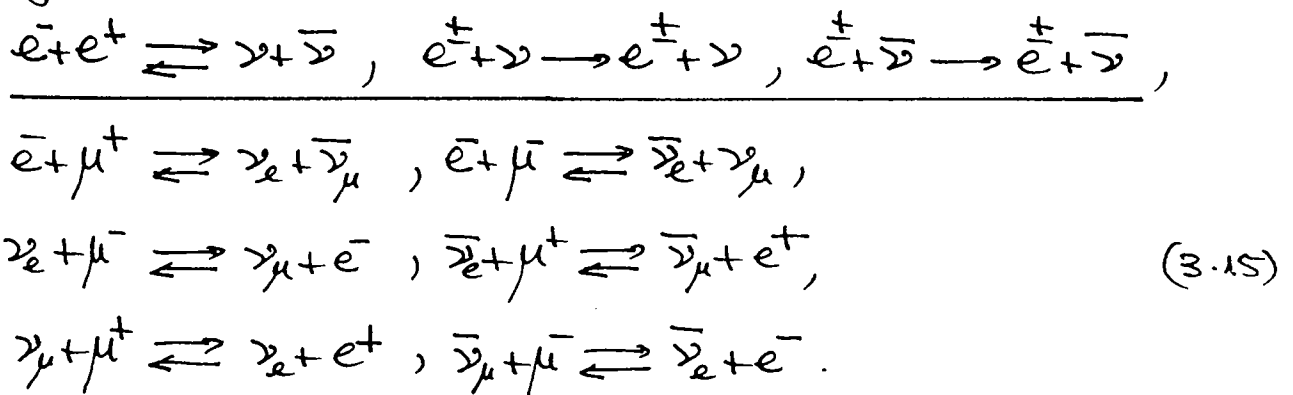
bilden lediglich eine "unvollständige" Vermutung.

Die elektromagnetischen Reaktionsraten zwischen Photonen und geladenen Teilchen sind sehr schnell, sodass für diese Ordnungszustellungen

$$\chi_e(q) dq = \frac{1}{\pi^2} \frac{1}{e^{\sqrt{q^2 + m_e^2}/T} + 1} q^2 dq \quad (l = e^{\pm}, \mu^{\pm}), \quad (3.13)$$

$$\chi_\mu(q) dq = \frac{1}{\pi^2} \frac{1}{e^{q/T} - 1} q^2 dq \quad (3.14)$$

etabliert werden. Die Neutrinos und Antineutrinos sind in folgenden Reaktionen beteiligt ( $\nu = \nu_e, \nu_\mu, \nu_\tau$ ):



Wir wissen, dass das elektroschwache Standardmodell von Glashow, Salam, Weinberg u.a. diese Reaktionen richtig beschreibt. Da die Neutrinos früh verschwinden, wird die Kopplung der Neutrinos an die Materie vor allem durch die Reaktionen der ersten Zeile von (3.15) aufrechterhalten. Die Wirkungsquerschnitte sind aus Dimensionsgründen alle von der Grösse ( $\hbar = c = k = 1$ ):

$$\sigma \simeq G_F^2 T^2, \quad (3.16)$$

wobei  $G_F$  die Fermi-Konstante ist. Numerisch ist

$$G_F \mu_p^2 \approx 10^{-5} \quad \left( \frac{1}{\sqrt{G_F}} \approx 236 \text{ GeV} \right). \quad (3.17)$$

Andererseits ist

$$n_e \approx T^3. \quad (3.18)$$

[Für  $T \gg m_e$  ist  $n_e = \frac{3}{4} \frac{25(3)}{\pi^2} T^3 = 0.18 T^3$ .] Deshalb sind die Reaktionsraten für die  $\nu$ -Streuung und die  $\nu$ -Produktion pro  $e^\pm$  in der ersten Zeile von (3.15) alle von der Größe

$$v. \sigma. n_e \approx G_F^2 T^5. \quad (3.19)$$

Dies vergleichen wir nun mit der Expansionsrate

$$H = \frac{\dot{a}}{a} \approx (G\rho)^{1/2}.$$

Da

$$\rho \approx T^4$$

ist diese

$$H \approx G^{1/2} T^2 \quad (3.20)$$

und damit

$$\frac{\text{Reaktionsrate}}{\text{Expansionsrate}} \approx \frac{G^{-1/2} G_F^2 T^5}{G^{1/2} T^2} \approx T_{10}^3. \quad (3.21)$$

Dieses Verhältnis ist also größer als 1 für  $T \gtrsim 10^{10} \text{ K}$ .

Das thermodynamische Gleichgewicht wird demnach mit den Neutrinos bis fast zu  $T = 10^{10} \text{ K}$  ( $\approx 1 \text{ MeV}$ ) aufrechterhalten.

Die Neutrinos bleiben aber auch nach der Entkopplung Fermi-verteilt (falls  $m_\nu = 0$  ist):

$$n_\nu(q) dq = \frac{1}{2\pi^2} \frac{1}{e^{q/\mu_\nu} + 1} q^2 dq, \quad (3.22)$$

da die Anzahl jeder Sorte pro Volumeneinheit mit  $a^{-3}$  abnimmt und die Impulse mit  $a^{-1}$  nach rot verschoben werden. Gleichzeitig ergibt sich aus diesen Bemerkungen, dass die Neutrino-Temperatur nach der Entkopplung mit  $a^{-1}$  fällt.

### D. Neutrino-Temperatur

Nachdem die Nucleonen zerfallen sind, besteht das Universum hauptsächlich aus hochrelativistischen Teilchen ( $e^\pm, \gamma, \nu, \bar{\nu}$ ). Einfacher war es vorher wie und wird es auch nachher nie mehr sein! Zunächst waren diese Teilchen alle im thermodynamischen Gleichgewicht und deshalb nahm die Temperatur mit  $a^{-1}$  ab (siehe S. 204). Nach Abschnitt C blieb dies für die Neutrino-Temperatur auch nach der Entkopplung so. Für die Photonen-Temperatur ist dies jedoch nicht immer so einfach. Unterhalb  $T = m_e$  ( $\approx 5 \times 10^9 \text{ K}$ ) beginnen sich die Elektronen und Positronen zu annihilieren, weshalb  $T(a)$  einen komplizierteren Verlauf hat. Diesen werden wir in Abschnitt E untersuchen. An dieser Stelle wollen wir das Verhältnis  $T/T_\nu$  nach der  $e^\pm$ -Annihilation bestimmen. Dazu benutzen wir die Konstanz der Entropie für die Teilchen im Gleichgewicht (siehe Abschnitt B).

Nach (3.10) ist für relativistische Teilchen

$$S = \frac{4}{3} \frac{p_{\text{tot}}}{T} a^3. \quad (3.23)$$

Nun ist

$$p_\gamma = \frac{\pi^2}{15} T^4 \quad (3.24)$$

und für jede Neutrinosorte \*)

$$p_\nu = p_{\bar{\nu}} = \frac{7}{16} p_\gamma. \quad (3.25)$$

Für  $T \gg m_e$  ist

$$p_{e^-} = p_{e^+} = 2p_\gamma = \frac{7}{8} p_\gamma. \quad (3.26)$$

Damit erhalten wir durch Vergleich der Entropien <sup>des e- $\gamma$ -Subsystems</sup> für  $T \gg m_e$  und  $T \ll m_e$ :

$$(T_\gamma a)^3_{\text{vorher}} \left[ 1 + 2 \times \frac{7}{8} \right] = (T_\gamma a)^3_{\text{nachher}} \cdot 1$$

↑ Photonen     ↑  $e^-, e^+$      ↑ Photonen

(Die Neutrinientropie bleibt konstant!). Es gilt also

$$\frac{(T_\gamma a)_{\text{nachher}}}{(T_\gamma a)_{\text{vorher}}} = \left(\frac{11}{4}\right)^{1/3}. \quad (3.27)$$

Nun ist aber

$$(T_\nu a)_{\text{nachher}} = (T_\nu a)_{\text{vorher}} = (T_\nu a)_{\text{vorher}}$$

und folglich gilt

$$\left(\frac{T_\nu}{T_\gamma}\right)_{\text{nachher}} = \left(\frac{11}{4}\right)^{1/3} = 1.401. \quad (3.28)$$

\*) Dazu notieren wir

$$\int_0^\infty \frac{x^u}{e^x - 1} dx - \int_0^\infty \frac{x^u}{e^x + 1} dx = 2 \int_0^\infty \frac{x^u}{e^{2x} - 1} dx = \frac{1}{2^u} \int_0^\infty \frac{x^u}{e^x - 1} dx,$$

wehalb

$$\int_0^\infty \frac{x^u}{e^x + 1} dx \Bigg/ \int_0^\infty \frac{x^u}{e^x - 1} dx = 1 - 2^{-u}.$$

Für  $u=2$  ( $2h_\nu/h_\gamma$ ) ist dieses Verhältnis gleich  $\frac{3}{4}$  und für  $u=3$  ( $2g_\nu/g_\gamma$ ) gleich  $\frac{7}{8}$ .

Wir erwarten also im gegenwärtigen Universum eine hier-  
wird Neutrinoabstrahlung mit der Temperatur

$$T_{20} = \left(\frac{4}{11}\right)^{1/3} T_{\gamma 0} \approx 1.9 \text{ K} \Rightarrow \frac{n_{\nu} + n_{\bar{\nu}}}{n_{\gamma}} = \frac{3}{4} \cdot \frac{4}{11} \stackrel{\text{für jede Sorte}}{=} \frac{3}{11} \quad (3.29)$$

Leider zeichnet sich keine Möglichkeit ab, diese nachzuweisen.

### E. Expansion und Temperatur als Funktion der Zeit

Nun bestimmen wir  $a(t)$  und  $T(t)$ . Die Friedmann-Gleichung lautet für das frühe Universum (siehe S. 165)

$$\left(\frac{\dot{a}}{a}\right)^2 = \frac{8\pi G \rho}{3} \quad , \quad (3.30)$$

da der Krümmungsterm vernachlässigbar ist. Für  $T \gg m_e$ , aber nach der  $\mu^\pm$ -Annihilation, ist die Energiedichte nach (3.24-26) für 3 Neutrinosorten

$$\begin{aligned} \rho &= \rho_{\gamma} + \rho_{e^-} + \rho_{e^+} + 3 \times 2 \rho_{\nu} = \frac{\pi^2}{30} T^4 \cdot g_{\text{eff}} \\ &= (g_{\text{eff}}/2) \rho_{\gamma} \quad , \end{aligned} \quad (3.31)$$

mit

$$g_{\text{eff}} = \underset{\uparrow}{2} + \underset{\uparrow}{2 \times 2 \times \frac{7}{8}} + \underset{\uparrow}{3 \times 2 \times \frac{7}{8}} = \frac{43}{4} \quad , \quad (3.32)$$

$\gamma$                        $e^-, e^+$                        $3(\nu + \bar{\nu})$

Bemerken wir  $\rho \propto a^{-4}$  in (3.30), so folgt

$$\dot{\rho}/\rho = -4 \left(\frac{8\pi G \rho}{3}\right)^{1/2}$$

mit der Lösung (siehe (III.5.7)) :

$$t = \left( \frac{3}{32\pi G \rho} \right)^{1/2} \quad (3.33)$$

( $t=0$  für  $\rho=\infty$ ). Setzen wir hier (3.31) ein, so ergibt sich

$$t = g_{\text{eff}}^{-1/2} \left( \frac{45}{16\pi^3 G} \right)^{1/2} \frac{1}{T^2} \quad (3.34)$$

$$= 2.4 g_{\text{eff}}^{-1/2} T_{\text{MeV}}^{-2} \quad (3.35)$$

Sollte es mehr als drei Neutrinosorten geben, so ist

$$g_{\text{eff}} = \frac{43}{4} \left[ 1 + \frac{7}{43} (N_\nu - 3) \right] \quad (3.36)$$

( $N_\nu$  = Zahl der  $\nu$ -Sorten) und das Universum expandiert entsprechend schneller. Die Zeitabhängigkeit von  $a$  ergibt sich aus  $a \cdot T = \text{const.}$

Nach der  $e^\pm$ -Annihilation ( $T < m_e$ ) haben wir nach (3.28) für drei  $\nu$ -Sorten

$$\rho = \rho_\gamma(T_\gamma) + 3 \times 2 \rho_\nu(T_\nu) = \tilde{g}_{\text{eff}} \frac{\pi^2}{30} T_\gamma^4, \quad (3.37)$$

mit  $\tilde{g}_{\text{eff}} = 2 \left[ 1 + 3 \times \frac{7}{8} \left( \frac{4}{11} \right)^{4/3} \right] = 3.4.$  (3.38)

Wie in (3.35) erhalten wir

$$t = 2.4 g_{\text{eff}}^{-1/2} (T_\gamma)_{\text{MeV}}^{-2} \text{ s} \\ = 1.3 (T_\gamma)_{\text{MeV}}^{-2} \text{ s.} \quad (3.39)$$

Für die Periode der  $e^\pm$ -Annihilation ist die Bedingung



etwas komplizierter. Die Entropie im unbewegten Volumen ist nach (3.10) (ohne die Neutrinos)

$$S = \frac{a^3}{T} (\rho_{e^-} + \rho_{e^+} + \rho_\gamma + \rho_{e^-} + \rho_{e^+} + \rho_\gamma) \\ = \frac{4\pi^2}{45} (aT)^3 \mathcal{J}\left(\frac{\mu_e}{kT}\right), \quad (3.40)$$

wobei

$$\mathcal{J}(x) = 1 + \frac{45}{2\pi^4} \int_0^\infty dy \frac{y^2}{e^{\sqrt{x^2+y^2}} + 1} \left[ \sqrt{x^2+y^2} + \frac{1}{3} \frac{y^2}{\sqrt{x^2+y^2}} \right]. \quad (3.41)$$

Aufgrund der Konstanz der Entropie ist  $S$  auch gleich  $(4\pi^2/45) (aT_\gamma)^3$ , oder nach (3.28) gleich  $(4\pi^2/45) (11/4) (aT_\nu)^3$ .  
Deshalb gilt

$$T_\nu = \left(\frac{4}{11}\right)^{1/3} T \left[ \mathcal{J}\left(\frac{\mu_e}{kT}\right) \right]^{1/3}. \quad (3.42)$$

Die Energiedichte ist

$$\rho = \rho_\gamma + 3 \times 2 \rho_\nu(T_\nu) + \rho_{e^-} + \rho_{e^+} \\ = \rho_\gamma(T) \left[ 1 + 3 \times 2 \times \frac{7}{16} \left(\frac{T_\nu}{T}\right)^4 \right] + 2 \cdot \frac{1}{\pi^2} \int_0^\infty \frac{\sqrt{q^2 + \mu_e^2} q^2 dq}{e^{\sqrt{q^2 + \mu_e^2}/T} + 1}$$

oder mit (3.42)

$$\rho = \frac{\pi^2}{15} T^4 \mathcal{E}\left(\frac{\mu_e}{kT}\right), \quad (3.43)$$

wobei

$$\mathcal{E}(x) = 1 + 3 \times 2 \times \frac{7}{16} \times \left(\frac{4}{11}\right)^{4/3} \mathcal{J}(x) + \\ + \frac{30}{\pi^4} \int_0^\infty \frac{\sqrt{x^2+y^2} y^2 dy}{e^{\sqrt{x^2+y^2}} + 1}. \quad (3.44)$$

Da die Entropie (3.40) auch gleich  $(4\pi^2/45)(a_0 T_{y0})^3$  ist, gilt

$$a/a_0 = (T/T_{y0})^{-1} f^{-1/3} \left( \frac{u_e}{kT} \right). \quad (3.45)$$

Die dynamische Gleichung (3.30) gibt

$$dt = \left( \frac{8\pi G \rho}{3} \right)^{-1/2} \frac{da}{a}.$$

Darin benutzen wir (3.43) und (3.45). Letztere Gleichung gibt

$$\frac{da}{a} = - \left( \frac{dT}{T} + \frac{df}{3f} \right),$$

weshalb

$$\boxed{dt = - \left[ \frac{8\pi^3 G}{45} T^4 \epsilon \left( \frac{u_e}{kT} \right) \right]^{-1/2} \left( \frac{dT}{T} + \frac{df}{3f} \right)}. \quad (3.46)$$

Diese Gleichung bestimmt  $T(t)$ . Die Neutronentemperatur  $T_n(t)$  und damit  $a(t)$  (wegen  $T_n \cdot a = \text{const}$ ) ist dann durch (3.42) festgelegt. Resultate sind in der nächsten Figur gezeigt.

#### 4. Nukleosynthese der leichtsten Elemente

Die beobachtete Heliumhäufigkeit  $Y \approx 0.25$  kann nicht allein durch Fusion in den Sternen erklärt werden. Dazu eine einfache Abschätzung: Das Verhältnis von Leuchtkraft und Masse unserer Galaxie ist ungefähr  $0.1 L_\odot / M_\odot \approx 0.2 \text{ erg g}^{-1} \text{ sec}^{-1}$ . Falls die Luminosität während der letzten  $10^{10}$  Jahren in etwa konstant war, so wurden in dieser Zeit  $\approx 0.06 \text{ MeV/Nukleon}$  produziert. Auf der

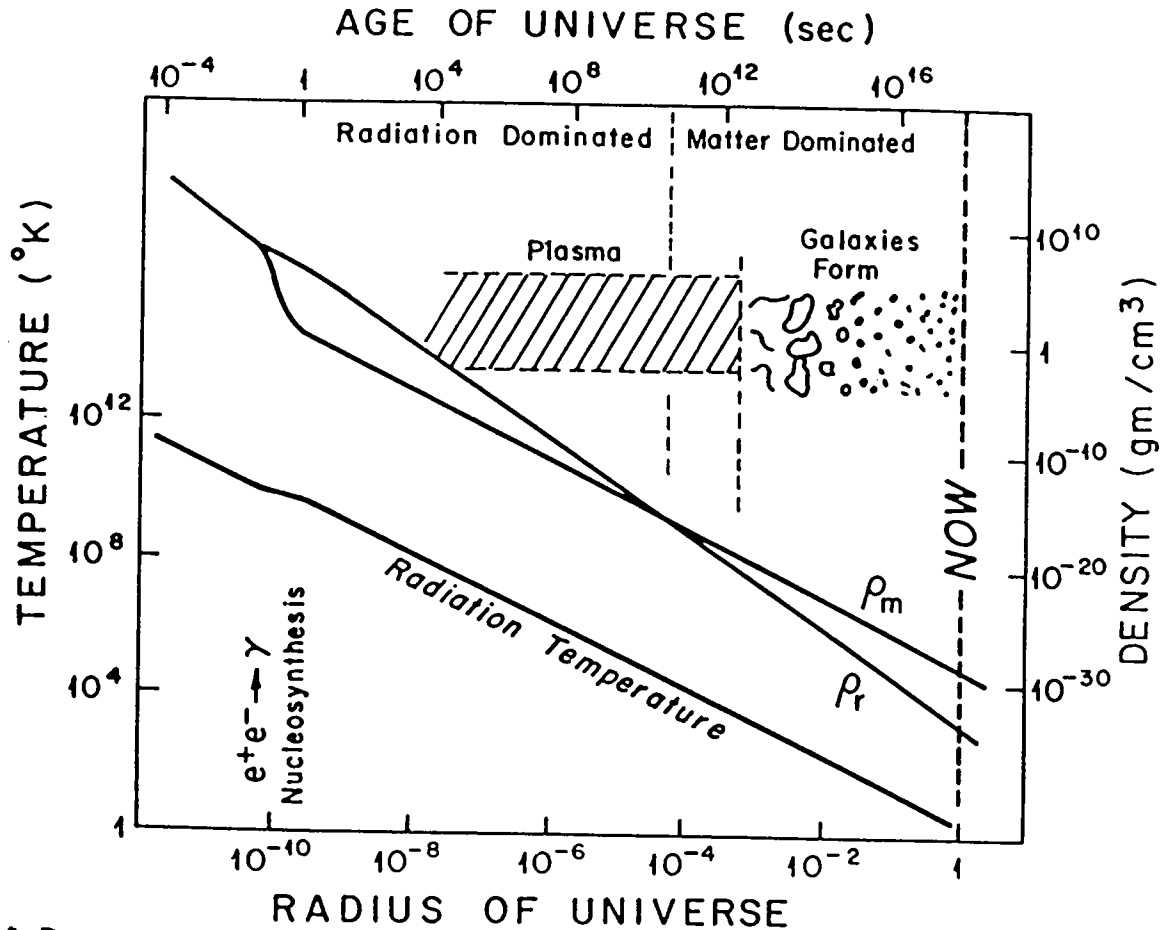


Fig. 4.3

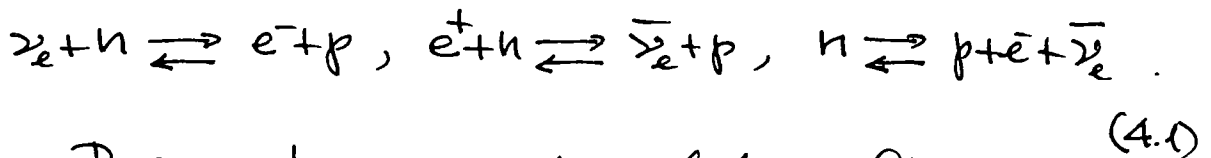
werden bei der Fusion von H zu He etwa 6 keV pro Nukleon freigesetzt. Deshalb konnten nicht mehr als etwa 1% aller Nukleonen in unserer Galaxis in Helium (oder schwerere Elemente) fusioniert werden. Die beobachtete universelle Heliumhäufigkeit ist aber etwa eine Größenordnung höher. Während also die Häufigkeiten der "schweren" Elemente ( $A \geq 12$ ) mit unseren Vorstellungen über die Elementensynthese in Sternen verträglich sind, ist dies für He (und andere leichte Elemente) nicht der Fall.

Es ist allerdings denkbar, dass das Helium in einer frühen helleren Phase unserer Galaxis gebildet wurde, etwa beim Kollaps von sehr massiven Sternen. (Diese Hypothese von Population III-Sternen wird in der Literatur auch wie vor diskutiert.) Nur ist dann nicht so leicht einzusehen, warum die

schwereren Elemente wird ebenfalls mit grösseren Häufigkeiten aufbeten sollten. Für einen kosmologischen Ursprung von  ${}^4\text{He}$  spricht ausserdem die bemerkenswerte Universalität der beobachteten Häufigkeiten (siehe unten). Wir werden im folgenden sehen, dass das Standardmodell weitgehend unabhängig von  $\Omega_B$  den hohen Wert  $Y \simeq 0.25$  voraussetzt.

### A. Das Neutron-Proton-Verhältnis

Wir berechnen nun das n-p-Verhältnis als Funktion der Zeit, wobei wir die folgenden Neutrinoreaktionen in Rechnung stellen:



In diesen Prozessen lagern nur die geladenen Ströme bei. Die effektive 4-Fermi-Wechselwirkung ist ( $G_V = G_F \cos \theta_c \simeq G_F$ )

$$\mathcal{L}_{\text{eff}} = \frac{G_V}{\sqrt{2}} \bar{N} \gamma^\alpha (1 - \lambda \gamma_5) \tau_+ N l_\alpha + \text{h.c.},$$

$$l_\alpha = \bar{e} \gamma_\alpha (1 - \gamma_5) \nu_e, \quad \lambda = \frac{G_A}{G_V} \simeq 1.2. \quad (4.2)$$

Wir dürfen die Nukleonen nichtrelativistisch behandeln. Beseidnet jetzt  $N$  das nichtrelativistische Nukleonfeld,

$$N = \begin{pmatrix} \psi_p \\ \psi_n \end{pmatrix},$$

so ist der effektive Nukleonstrom in (4.2) gleich

$$(N^* \tau_+ N, \lambda N^* \underline{\sigma} \tau_+ N). \quad (4.3)$$

Den Leptonenstrom können wir durch linkschändige Weyl-spinoren ( $\chi$ ) ausdrücken:

$$L_\alpha = 2 \chi_{(e)}^* \sigma_\alpha \chi_{(e)} \quad (4.4)$$

Dabei ist  $\sigma_\alpha = (1, \underline{\sigma})$ . Die effektive Wechselwirkung lautet also

$$L_{\text{eff}} = \sqrt{2} G_V \left[ \chi_{(e)}^* \chi_{(e)} N^\dagger \tau_+ N - \lambda \chi_{(e)}^* \underline{\sigma} \chi_{(e)} N^\dagger \underline{\sigma} \tau_+ N \right] + \text{h.c.} \quad (4.5)$$

Nun betrachten wir als Beispiel den Prozess:



Das T-Matrixelement lautet nach (4.5)

$$T = \sqrt{2} G_V \left[ v^*(p) v(k) \langle 1 \rangle - \lambda \langle \underline{\sigma} \rangle v^*(p) \underline{\sigma} v(k) \right]$$

Dabei sind  $v(k), v(p)$  die links-handedigen Weylspinoren im Impulsraum für  $\nu$  und  $e^-$  (mit den in der Fig. angegebenen Impulsen).

Der differentielle Wirkungsquerschnitt ist ( $p := |p|, k := |k|, Q := \omega_n - \omega_p$ ):

$$d\sigma = \frac{1}{(2\pi)^2} (\sqrt{2} G_V)^2 d\Omega_e \int_0^\infty \frac{dp p^2}{2E_e(p) 2E_\nu(k)} \delta(E_\nu(k) - Q - E_e(p))$$

$$\left| \langle 1 \rangle v^*(p) v(k) - \lambda \langle \underline{\sigma} \rangle v^*(p) \underline{\sigma} v(k) \right|^2$$

$$= \frac{2 G_V^2}{(2\pi)^2} p E_e(p) X d\Omega_e, \quad (4.6)$$

wobei

$$X = \frac{1}{2E_e(p) 2E_\nu(k)} \left| \langle 1 \rangle v^*(p) v(k) - \lambda \langle \underline{\sigma} \rangle v^*(p) \underline{\sigma} v(k) \right|^2$$

Nun ist

$$v_{\alpha}(k) v_{\beta}^*(k) = k_{\alpha\beta},$$

$$\sum_{\text{spins}} v_{\alpha}(p) v_{\beta}^*(p) = P_{\alpha\beta}.$$

Wir benutzen die Bezeichnungen

$$P = p^{\mu} \sigma_{\mu}, \quad \hat{A} = \epsilon \bar{A} \epsilon^{-1}, \quad \epsilon = \begin{pmatrix} 0 & 1 \\ -1 & 0 \end{pmatrix},$$

wenn  $A$  eine  $2 \times 2$  Matrix ist. Dann wird aus  $X$ , nach Summation über die  $e$ -Spins (Nukleonen unpolarisiert)

$$X = \frac{1}{2 E_e(p) 2 E_p(k)} \left\{ \underbrace{\text{Sp}(\hat{P} \hat{k})}_{2(E_e(p) E_p(k) + p \cdot k)} + \lambda^2 \underbrace{\text{Sp}(\sigma_i \hat{k} \sigma_i \hat{k})}_{2(3 E_e(p) E_p(k) - p \cdot k)} \right\}$$

oder, wenn  $\vartheta$  den Winkel zwischen  $p$  und  $k$  bezeichnet,

$$X = \frac{1}{2} \left\{ (1 + v_e \cos \vartheta) + \lambda^2 (3 - v_e \cos \vartheta) \right\}. \quad (4.7)$$

Damit lautet der differentielle Wirkungsquerschnitt

$$\frac{d\sigma}{d\Omega} = \frac{G_V^2}{(2\pi)^2} v_e E_e^2(p) \left[ (1 + v_e \cos \vartheta) + \lambda^2 (3 - v_e \cos \vartheta) \right]. \quad (4.8)$$

Nach der Winkelintegration erhalten wir daraus

$$\sigma(\nu_e + n \rightarrow \bar{e} + p) = \frac{G_V^2 + 3 G_A^2}{\pi} v_e E_e^2. \quad (4.9)$$

Damit ist die Reaktionsrate pro Nukleon, unter Berücksichtigung des Pauliprinzips,

$$\lambda(\nu_e + n \rightarrow \bar{e} + p) = \int \left( 1 - \frac{1 - f_e}{e^{E_e(p)/T} + 1} \right) v_e \sigma(\nu_e + n \rightarrow \bar{e} + p) \frac{4\pi}{(2\pi)^3} \frac{k^2 dk}{e^{E_p/T} + 1},$$

d.h.

$$\lambda(\bar{\nu}_e + n \rightarrow \bar{e} + p) = \frac{G_V^2 + 3G_A^2}{2\pi^3} \int v_e E_e^2 p_p^2 dp_p (1 + e^{E_p/T_p})^{-1} (1 + e^{-E_e/T_e})^{-1}.$$

Dabei ist

$$E_e - E_p = Q = m_n - m_p = 1.293 \text{ keV}. \quad (4.10)$$

Entsprechend erhält man die anderen Reaktionsraten. Die totalen  $n \rightarrow p$  und  $p \rightarrow n$  Raten lassen sich wie folgt schreiben (Übung; siehe auch [SW, p. 547-548]):

$$\lambda(n \rightarrow p) = \frac{G_V^2 + 3G_A^2}{2\pi^3} \int \left(1 - \frac{m_e^2}{(Q+q)^2}\right)^{1/2} (Q+q)^2 q^2 (1 + e^{q/T_p})^{-1} (1 + e^{-(Q+q)/T})^{-1} dq, \quad (4.12a)$$

$$\lambda(p \rightarrow n) = \frac{G_V^2 + 3G_A^2}{2\pi^3} \int \left(1 - \frac{m_e^2}{(Q+q)^2}\right)^{1/2} (Q+q)^2 q^2 (1 + e^{-q/T_p})^{-1} (1 + e^{(Q+q)/T})^{-1} dq. \quad (4.12b)$$

Die Integrale erstrecken sich über  $\mathbb{R} \setminus (-Q - m_e, -Q + m_e)$ .

Für das Verhältnis  $X_n$  der Neutronen zu allen Nukleonen haben wir die Differenzgleichung

$$-\dot{X}_n = \lambda(n \rightarrow p) X_n - \lambda(p \rightarrow n) (1 - X_n). \quad (4.13)$$

Diese Rategleichung muss man (numerisch) lösen. (Dabei muss man in den Ausdrücken (4.12) die Zeitabhängigkeit von  $T(t)$  und  $T_p(t)$  gemäss Abschnitt 3D einsetzen.) Bevor wir die (numerischen) Resultate diskutieren, machen wir einige qualitative Beobachtungen.

Für  $T \gg Q$  können wir  $T_p = T$  setzen und  $Q$  sowie  $m_e$  in (4.12) vernachlässigen. Dann lauten diese Raten

$$\lambda(n \rightarrow p) \simeq \lambda(p \rightarrow n) \simeq \frac{G_V^2 + 3G_A^2}{2\pi^3} \int_{-\infty}^{+\infty} q^4 (1 + e^{-q/T})^{-1} (1 + e^{q/T})^{-1} dq,$$

d.h. (Übung)

$$\lambda(n \rightarrow p) \simeq \lambda(p \rightarrow n) \simeq \frac{7}{15} \pi^4 \frac{G_V^2 + 3G_A^2}{2\pi^3} T^5 = 0.36 \text{ sec}^{-1} T_{10}^5. \quad (4.14)$$

Wir vergleichen nun (4.14) mit der Expansionsrate  $H$ ,

$$H^2 = \frac{8\pi G}{3} \rho, \quad \rho = g_{\text{eff}} \frac{\pi^2}{30} T^4, \quad g_{\text{eff}} = \frac{43}{4}; \quad (4.15)$$

$$\begin{aligned} H &= \left( \frac{4\pi^3 G}{45} g_{\text{eff}} \right)^{1/2} T^2 \\ &= \left( \frac{4\pi^3 g_{\text{eff}}}{45} \right)^{1/2} \frac{m_e}{m_{\text{Pl}}} \left( \frac{T}{m_e} \right)^2 m_e \\ &= 0.5 T_{10}^2 \text{ sec}^{-1}; \quad \lambda/H = 0.7 T_{10}^3. \end{aligned} \quad (4.16)$$

Also ist  $\lambda/H > 10$  für  $T > 3 \times 10^{10} \text{ K}$  und deshalb liegt dann thermodynamisches Gleichgewicht vor.

Solange  $T_2 = T$  ist (d.h. für  $T > 10^{10} \text{ K}$ ) ist das Verhältnis der beiden Raten (12)

$$\frac{\lambda(p \rightarrow n)}{\lambda(n \rightarrow p)} = e^{-Q/T} \quad (\text{"detailed balance"}), \quad (4.17)$$

Dies muss so sein, denn (4.13) muss die Gleichgewichtslösung

$$X_n = \frac{1}{1 + e^{Q/T}} \quad \left( \frac{X_n}{X_p} = e^{-Q/T} \right) \quad (4.18)$$

haben, welche für  $T \gtrsim 3 \times 10^{10} \text{ K}$  gültig ist. Wenn  $T$  weiter fällt, kann das Gleichgewicht nicht mehr aufrechterhalten werden. Schliesslich ist für  $T \lesssim 10^9 \text{ K}$  von den Reaktionen (4.1) nur noch der  $n$ -Zerfall wichtig;  $X_n$  ändert



sich dann proportional zu  $\exp(-t/\tau_n)$ . Eine grobe Näherung für  $X_n$  für diesen Bereich ist

$$X_n(t) \approx X_{n*} e^{-t/\tau_n}, \quad (4.19)$$

wobei  $X_{n*}$  gleich dem Ausdruck (4.18) für die Temperatur  $T_*$  ist, bei welcher die Rate (4.14) gleich der Expansionsrate (4.16) ist. Unterhalb von  $T_*$  werden nämlich die Reaktionen (4.1) — ausser dem  $n$ -Zerfall — unwirksam. Nun ist  $T_* \approx 1.1 \times 10^{10} \text{ K} \approx 1 \text{ MeV}$ , also  $e^{-Q/T_*} \approx e^{-1.3} = 0.27$  und folglich (für 3 Neutrinovsorten):

$$X_{n*} \approx 0.21.$$

$$X_n(t) = 0.150 e^{-t/\tau_n} \quad (4.20)$$

(Im Anhang zu Kap. IV geht es eine verbesserte Rechnung.)

Die Entkopplungstemperatur  $T_*$  hängt nach (4.14) und (4.16) wie folgt von  $g_{\text{eff}}$  und  $\tau_n$  ab:

$$T_* \propto (g_{\text{eff}}^{1/2} \tau_n)^{1/3}. \quad (4.21)$$

Übungsaufgabe. Berechne die folgenden Größen:

$$n_\gamma = 10^{-7.5} T_{\text{MeV}}^3 (f^{-3}) \quad (1f = 1 \text{ fermi} = 10^{-13} \text{ cm}),$$

$$d_H \approx ct \approx 10^{23.5} T_{\text{MeV}}^{-2} (f),$$

mittlerer Abstand der Photonen / Kausalitätslänge

$$= 10^{-21} T_{\text{MeV}},$$

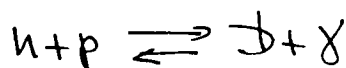
$$\text{mittlere freie Weglänge / Horizontlänge} \leq 10^{-16} T_{\text{MeV}}^{-1},$$

$$\text{Masse der Nucleonen im Horizontvolumen} \approx 10^3 T_{\text{MeV}}^{-3} M_\odot.$$

### B. Kernreaktionen

Während die elektromagnetischen und schwachen Wechselwirkungen ablaufen, gibt es gelegentlich auch Kernreaktionen wie  $n+p \leftrightarrow D+\gamma$ . Das Deuteron ist aber nur schwach gebunden und hat einen grossen Querschnitt für Photo-dissoziation. Da die Nukleonen nur Spurenelemente im heissen Strahlungsfenerball sind, bleibt die Häufigkeit der Deuteronen zunächst sehr klein. Gleichzeitig muss die Nukleosynthese über die Bildung von Deuteronen laufen, da Helokörperreaktionen zu unwahrscheinlich sind.

Die Deuteronen kommen die ganze Zeit in thermodynamischer Gleichgewichtshäufigkeit vor, solange  $T \gtrsim 10^9$  K ist. Die Gleichgewichtsbedingung für



lautet

$$\mu_n + \mu_p = \mu_D \quad (\mu_i: \text{chemische Potentiale}). \quad (4.22)$$

Wir dürfen  $n, p$  und  $D$  als ideale Boltzmann Gase behandeln. Die Anzahldichten sind dann

$$\begin{aligned} n_i &= \frac{g_i \cdot 4\pi}{(2\pi)^3} e^{(\mu_i - \mu_i)/T} \int_0^\infty dq q^2 e^{-q^2/2\mu_i T} \\ &= g_i \left( \frac{\mu_i T}{2\pi} \right)^{3/2} e^{+(\mu_i - \mu_i)/T}. \end{aligned} \quad (4.23)$$

Dabei ist  $g_i$  das statistische Gewicht des Grundzustandes ( $g_p = g_n = 2$ ,  $g_D = 3$ ). Bilden wir deshalb  $n_D/n_p n_n$ , so folgt aus (4.22) und (4.23)

$$\frac{n_D}{n_p n_n} = \frac{3}{\sqrt{2}} \left( \frac{\mu_{NT}}{2\pi} \right)^{-3/2} e^{B_D/T} \quad (\text{Saha-Gl.}), \quad (4.24)$$

wobei  $B_D$  die Bindungsenergie des Deuterons ist:

$$B_D = m_p + m_n - m_D, \quad B_D/T = 25.8 / T_9. \quad (4.25)$$

Setzen wir ( $n_N = \text{Nucleonzahl dichte}$ )

$$X_p = n_p / n_N, \quad X_n = n_n / n_N, \quad X_D = 2n_D / n_N,$$

so erhalten wir aus (4.24)

$$X_D = 3\sqrt{2} n_N \left( \frac{\mu_{NT}}{2\pi} \right)^{-3/2} e^{B_D/T} X_n X_p. \quad (4.26)$$

Das schreiben wir noch etwas anders. Es sei wie früher

$$\eta := n_N / n_\gamma = 2.68 \times 10^8 (\Omega_B h_0^2).$$

$$\uparrow \left( n_\gamma = 2 \frac{\zeta(3)}{\pi^2} T_\gamma^3 \right)$$

Damit kommt

$$X_D = \underbrace{\frac{24 \zeta(3)}{\pi^{1/2}}}_{16.3} \cdot \eta \left( \frac{T_\gamma}{\mu_p} \right)^{3/2} e^{B_D/T} X_n X_p \quad (4.27)$$

Für einen typischen Wert  $\eta = 5 \times 10^{-10}$  (s.u.) wird danach  $X_D / X_n X_p = O(1)$ , wenn  $T \approx B_D / 34$  (1), d.h. nach (4.25) für  $T_9 \approx 0.8$ . Nach (3.55) ist dies zur Zeit  $t_{15} \approx 180 \text{ s}$  der Fall. Die Nucleosynthese beginnt somit 3 Minuten nach dem Urknall.

Zu diesem Zeitpunkt ist, wie im Anhang gezeigt wird,

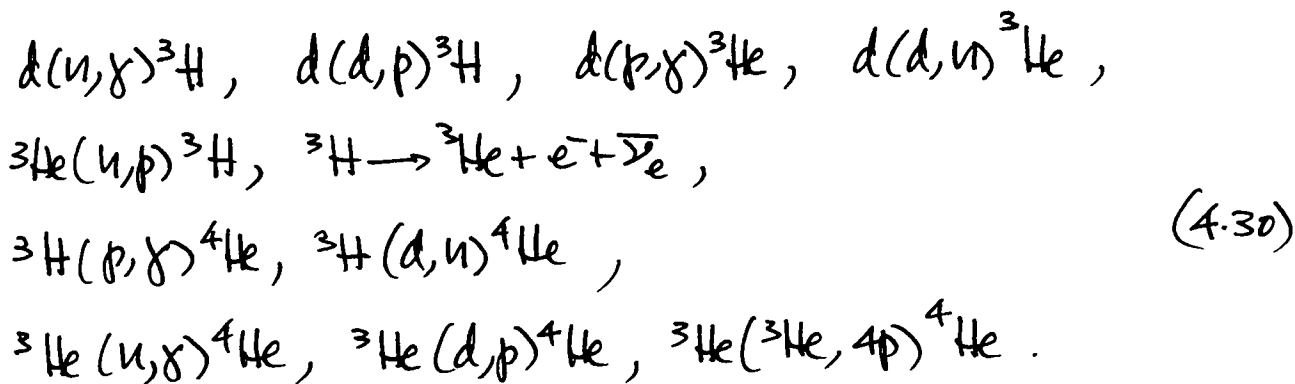
$$X_n(t_{NS}) \approx 0.150 e^{-t_{NS}/\tau_n} \approx 0.122. \quad (4.28)$$

In den danach einsetzenden Kernreaktionen (s.u.) wird vor allem  ${}^4\text{He}$  gebildet, da dieser Kern eine hohe Bindungsenergie hat und weil keine stabilen Kerne mit  $A=5,8$  existieren. Als recht gute Näherung erhalten wir (da jedes  $\alpha$ -Teilchen zwei Neutronen enthält

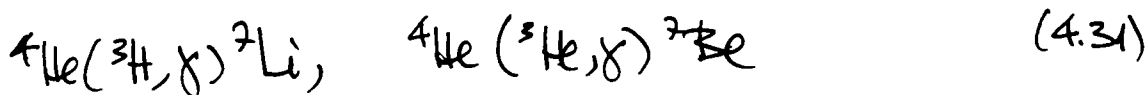
$$\underline{\underline{Y_{\text{prim}}({}^4\text{He}) \approx 2X_n(t_{NS}) \approx 0.245.}} \quad (4.29)$$

### C. Die primordialen Häufigkeiten der leichten Elemente

Einige der wichtigsten Kernreaktionen, welche für  $T < T_{NS} \approx 10^9 \text{ K}$  einsetzen, sind:



Bestimmte Spurenelemente von  ${}^7\text{Li}$  und  ${}^9\text{Be}$  werden durch die Reaktionen



gebildet.

Die Häufigkeiten der leichten Elemente  $\text{D}$ ,  ${}^3\text{He}$  und  ${}^7\text{Li}$  lassen sich natürlich numerisch berechnen, ähnlich wie für  ${}^4\text{He}$  können sie aber auch "von Hand" recht genau

bestimmt werden. Siehe dazu:

R. Esmailzadeh, G.D. Sakman & S. Dimopoulos,  
Ap. J. 378, 504 (1991).

Der Vergleich von numerischen und approximativen Rechnungen ist in Fig. 4 gezeigt. Die resultierenden primordialen Häufigkeiten sind in Fig. 5 als Funktion von  $\eta = n_b/n_\gamma$  dargestellt. Die numerischen Resultate beruhen auf einem komplizierten Netzwerk von Kernreaktionen (s. Fig. 6).

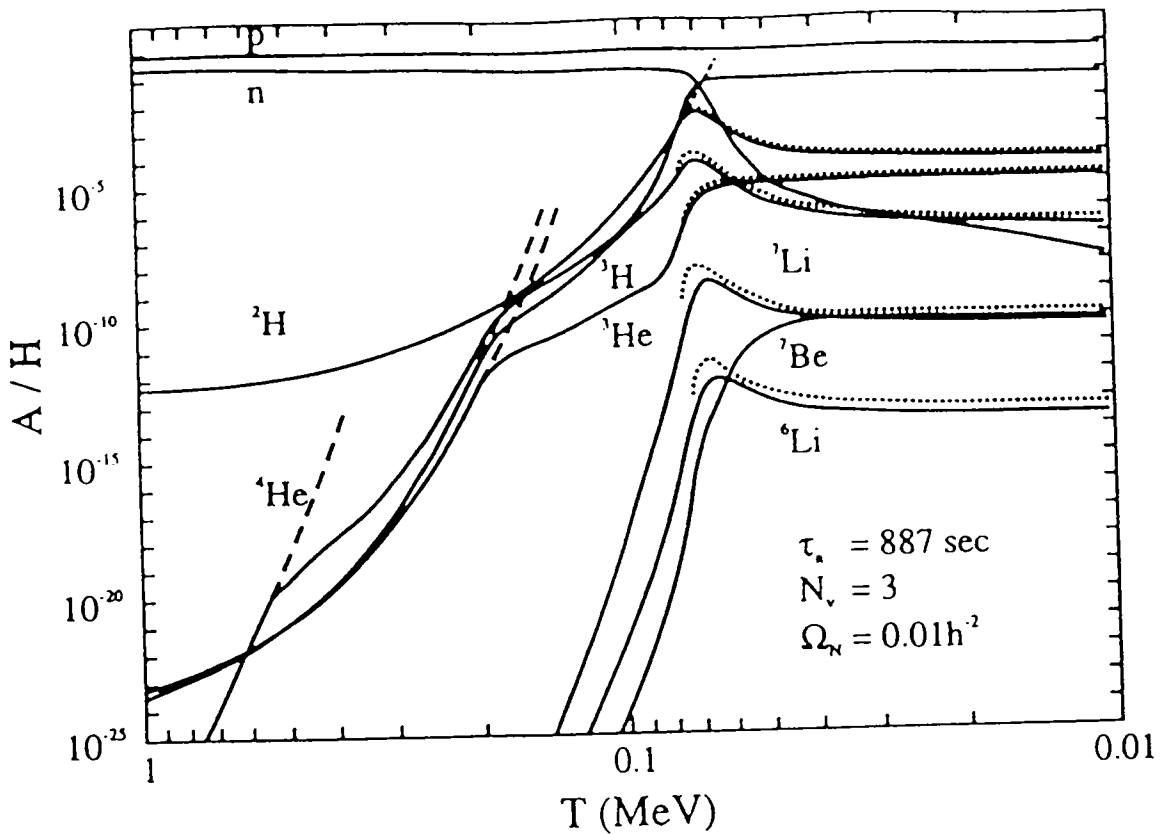


Fig. 4 Evolution der Häufigkeiten der primordial erzeugten leichten Elemente. Die ausgezogenen Kurven zeigen numerische Resultate (L. Kawano, 1992 (öffentlich zugänglicher Code)) und die punktierten analytische Näherungen (Esmailzadeh et al, 1991).

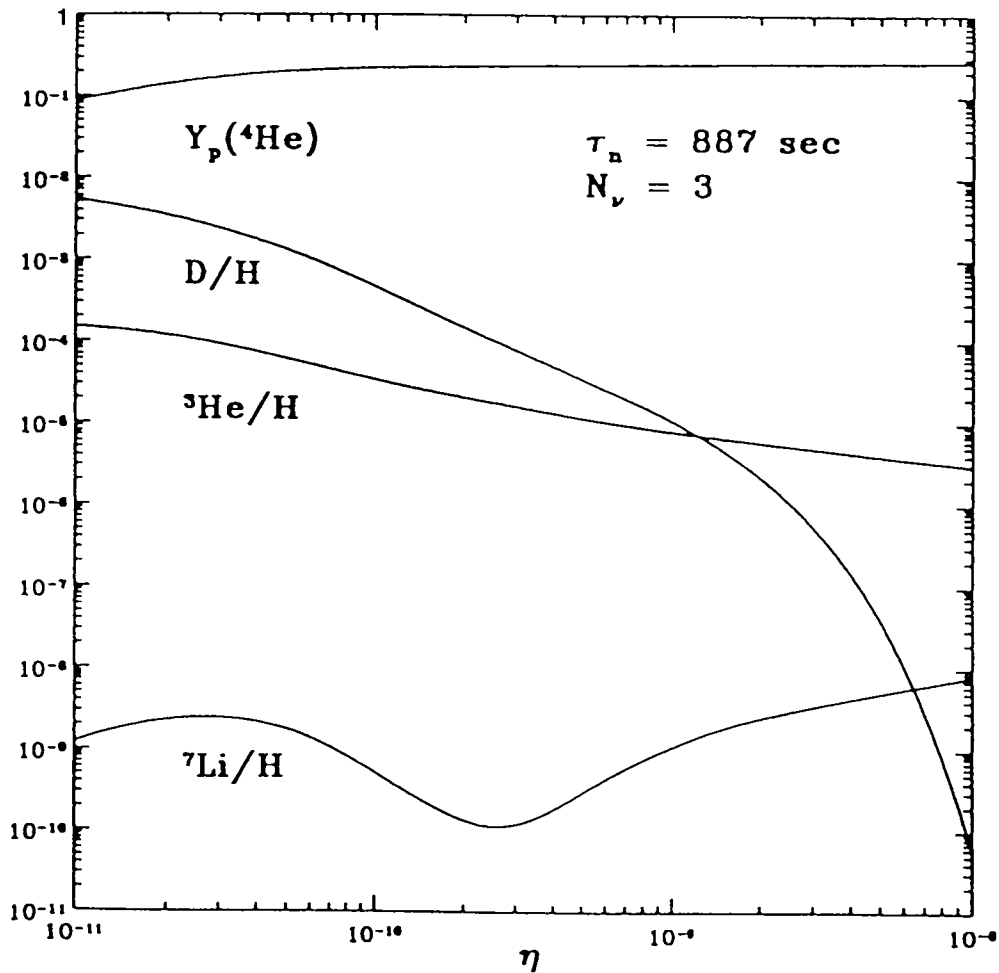


Fig. 5. Abhängigkeit der primordial synthetisierten Häufigkeiten der leichten Elemente als Funktion des Nucleon/Photon - Verhältnisses  $\eta = n_b/n_\gamma$  (für 3 Neutrinosorten).

Die Ergebnisse in Fig. 5 sind in Fig. 7 für  $^4\text{He}$ ,  $\text{D}$  und  $^7\text{Li}$  nochmals gezeigt. Dabei wird für  $^4\text{He}$  eine lineare Skala verwendet.

Wir bemerken noch die umkehrte Formel

$$\Omega_B h_0^2 = \eta_{10} / 273 \quad (\eta_{10} := 10^{10} \eta). \quad (4.32)$$

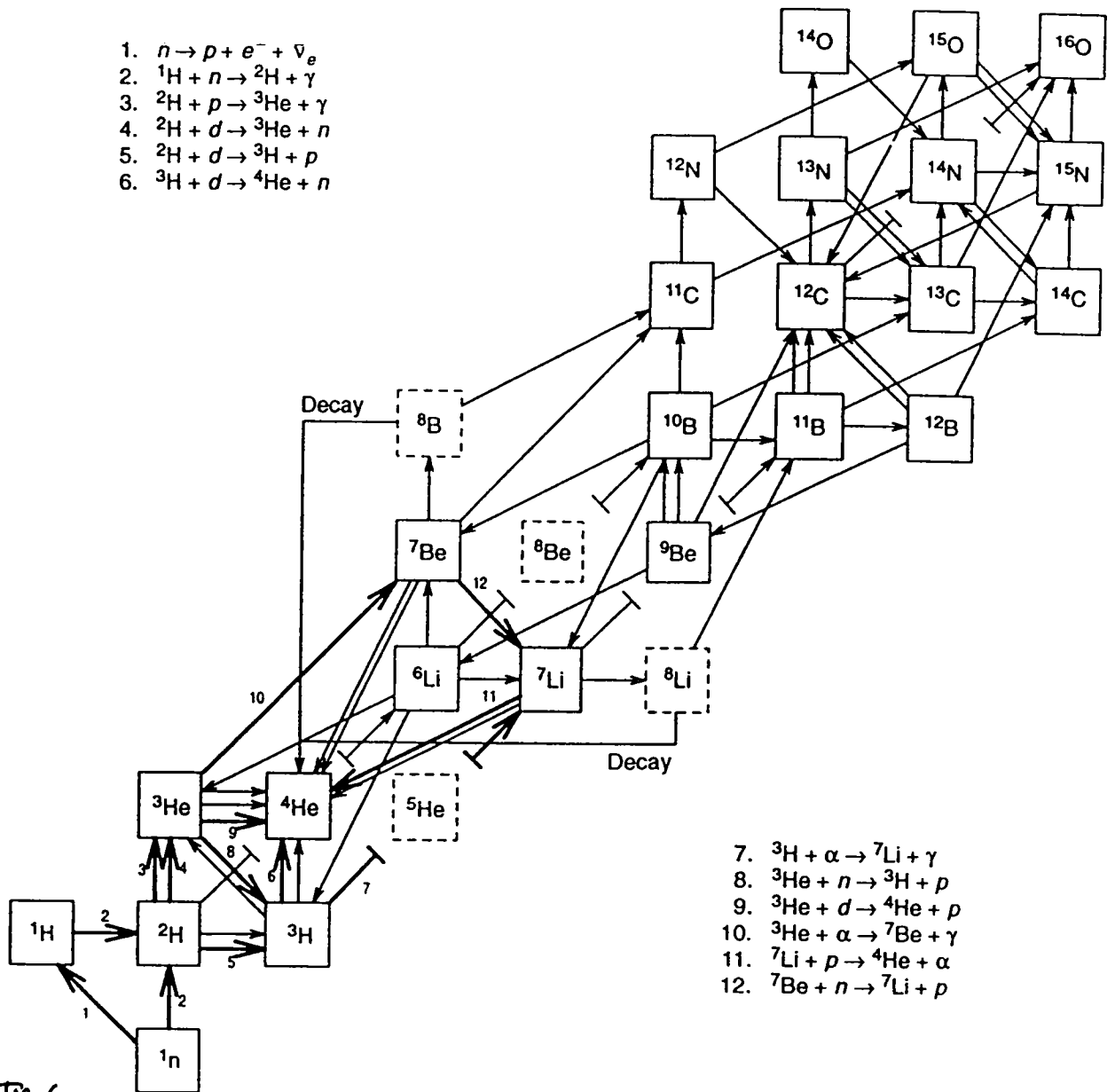


Fig. 6.

The nuclear reaction network used for big-bang nucleosynthesis; the most important reactions are numbered and have bold arrows. The broken boxes for mass 5 and 8 indicate that all nuclides of this mass are very unstable.

Die schraffierten Gebiete in Fig. 7 zeigen den Stand der Beobachtungen um 1995 und signalisieren eine mögliche Krise der Standard-Big-Bang-Nukleosynthese (SBBN). Inzwischen hat sich einiges erledigt. Auf die derzeitige, etwas verwirrende Situation werden wir im nächsten Abschnitt eingehen. Hier noch ein paar Bemerkungen zu den theoretischen Ergebnissen.

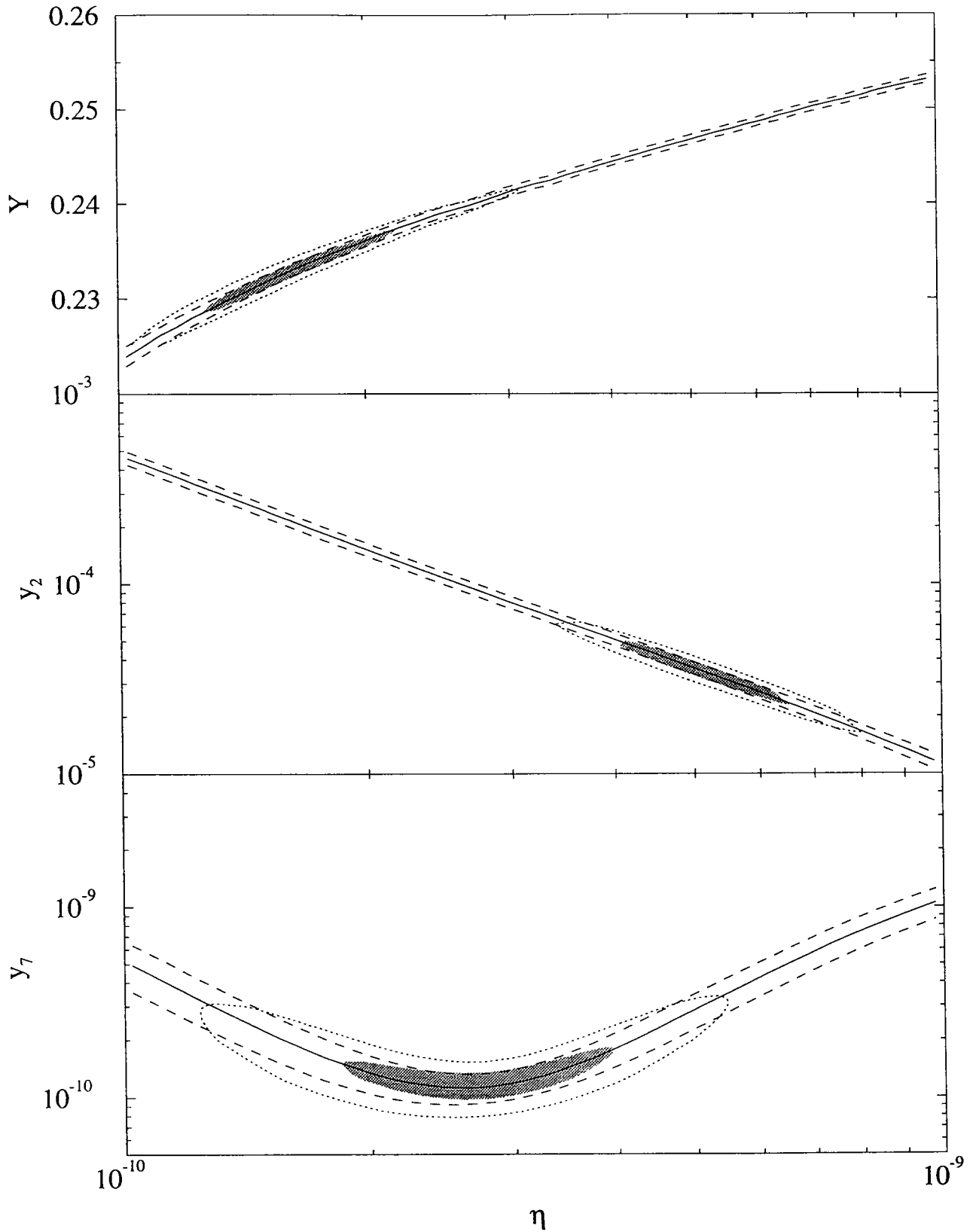


Figure 7. SBBN predictions (solid lines) for  ${}^4\text{He}$  ( $Y$ ),  $\text{D}$  ( $y_2$ ), and  ${}^7\text{Li}$  ( $y_7$ ) with the theoretical uncertainties ( $1\sigma$ ) estimated by the Monte Carlo method (dashed lines). Also shown are the regions constrained by the observations at 68% and 95% C.L. (shaded regions and dotted lines, respectively). This figure is from Hata *et al* (1995).



## Diskussion

Wir diskutieren nun die Abhängigkeiten der verschiedenen Häufigkeiten von  $\eta$ ,  $N_2$  (Zahl der Neutrinosorten) und  $\tau_n$  (Stärke der schwachen Wechselwirkungen).

### a) D und ${}^3\text{He}$

Diese Elemente werden nach (4.30) in  ${}^4\text{He}$  verbraucht. Mit wachsendem  $\eta = n_p/n_n$  wird diese Umwandlung zunehmend vollständig sein, also:

$$D, {}^3\text{He} \searrow \quad \text{mit } \eta \nearrow.$$

Da  ${}^3\text{He}$  stärker als das Deuteron gebunden ist, und vor allem weil das Deuteron eine kleinere Coulombbarriere entgegenstellt, fällt  $D/H$  mit wachsendem  $\eta$  schneller als  ${}^3\text{He}/H$ . Eine Zunahme der Expansionsrate (mit wachsendem  $N_2$ ) ist im wesentlichen gleichbedeutend mit einer Abnahme von  $\eta$ , weil es auf die Konkurrenz zwischen Zweikörper-Reaktionsraten ( $\propto \eta$ ) und der Expansionsrate ankommt.

### b) ${}^7\text{Li}$

Die nichttriviale Abhängigkeit der  ${}^7\text{Li}$ -Häufigkeit von  $\eta$  beruht darauf, dass für verschiedene Bereiche von  $\eta$  zwei verschiedene Wege zur Synthese von  ${}^7\text{Li}$  führen, nämlich:

(i) für  $\eta \lesssim 3 \times 10^{-10}$ : Produktion  ${}^4\text{He}(\beta\text{H}, \gamma){}^7\text{Li}$ ,

Zerstörung  ${}^7\text{Li}(p, \alpha){}^4\text{He}$ ;  
 (ii) für  $\eta \gtrsim 3 \times 10^{-10}$ :  ${}^7\text{Be}(\bar{\nu}_e, \gamma){}^7\text{Li}$ , wobei  ${}^7\text{Be}$  von  ${}^4\text{He}(\beta\text{He}, \gamma){}^7\text{Be}$  stammt.

Damit resultiert für  ${}^7\text{Li}$  im interessanten Bereich  
 $1/2 \lesssim \eta_{10} \lesssim 10$  eine verhältnismäßig kleine Variation:  
 ${}^7\text{Li}/\text{H} = (0.8 - 10) \times 10^{-10}$ .

c)  ${}^4\text{He}$

Die analytische Diskussion im Anfang wird zeigen, dass der primordiale Massenbruchteil von  ${}^4\text{He}$  wie folgt von der Zahl der Neutrinosorten und der Lebensdauer des Neutrinos abhängt:

$$Y_p({}^4\text{He}) = 0.245 + 0.014 (N_\nu - 3) + 0.0002 \Delta\tau_\nu \quad (4.33)$$

$$+ 0.009 \ln\left(\frac{\eta}{5 \times 10^{-10}}\right) \quad (\Delta\tau_\nu := \tau_\nu - 887 \text{ s}).$$

Dies stimmt sehr gut mit dem folgenden numerischen Fit überein:

$$Y_p({}^4\text{He}) = 0.2459 + 0.013 (N_\nu - 3) + 0.0002 \Delta\tau_\nu \quad (4.34)$$

$$+ 0.01 \ln(\eta / 5 \times 10^{-10}).$$

Ein noch besserer Fit (innerhalb  $\pm 0.1\%$ ) gibt die Formel

$$Y_p({}^4\text{He}) = 0.2462 + 0.01 \ln(\eta / 5 \times 10^{-10}) (\eta / 5 \times 10^{-10})^{-0.2} \pm 0.0012 \quad (4.35)$$

für  $N_\nu = 3$ .

d) Genauigkeiten der vorausgesagten Häufigkeiten

Die theoretischen 1 $\sigma$ -Unsicherheiten (verursacht durch Reaktionsquerschnitte, etc) sind durch die gestrichelten Linien in Fig. 7 gezeigt.

## J. Vergleich mit den Beobachtungen

Im Verlaufe der galaktischen und stellaren Evolution wurde die chemische Zusammensetzung teilweise stark verändert und es ist deshalb schwierig, aus den beobachteten Häufigkeiten auf die primordiale Zusammensetzung der Materie zu schliessen.

Zur Zeit (1998) sind die Daten in großer Übereinstimmung mit den theoretischen Voraussagen des Standardmodells ( $N_b = 3$ ) für  $\eta_{10} \approx 5$ . Zwischen den bestehenden Deuterium- und Helium-Daten zeigt sich aber eine gewisse Spannung und es ist noch nicht klar, wie die Sache ausgehen wird.

Zunächst ist zu sagen, dass die Vergangenheit von  ${}^3\text{He}$  zu kompliziert ist, um kosmologische Schlüsse zu ermöglichen. Damit sind auch früher gemachte Einschränkungen an  $D + {}^3\text{He}$  nicht mehr aufrecht zu erhalten. Am wichtigsten sind Deuterium und  ${}^4\text{He}$ . Für beide gibt es aber zur Zeit widersprüchliche Resultate von Beobachtungen. Je nach dem welchen man mehr baut, ergeben sich relativ tiefe Werte für  $\eta_{10}$  ( $\approx 1 \div 2$ ) oder hohe ( $4 \div 9$ ). Leider können die Beobachtungen von  ${}^7\text{Li}$  nicht helfen, um zwischen den beiden Möglichkeiten zu entscheiden. Es sieht so aus, dass die systematischen Unsicherheiten doch grösser sind, als in der Vergangenheit manche Leute meinten.

### a) Bestimmungen der Deuterium-Häufigkeit

Die wichtigste Methode wurde bereits bei den Ultraviolet-

Beobachtungen vom Satelliten COPERNICUS benutzt. Diese beruht darauf, dass aufgrund der unterschiedlichen reduzierten Massen von  $H$  und  $^2H$  Atomen die Frequenzen von entprechenden Linien im Verhältnis  $1.00027 (\approx 1 + m_e/2m_H)$  zueinander stehen. Diese Isotopenverschiebung wurde damals benutzt, um aus den Beobachtungen von Lyman-Absorptionslinien  $\beta, \gamma, \delta, \epsilon$  in Richtung heller Sterne (z.B.  $\beta$ -Centauri) die Häufigkeit von Deuterium im Verhältnis zu Wasserstoff im interstellaren Raum zu bestimmen.

Verschiedene Schwierigkeiten limitieren aber die Genauigkeit dieser Methode. So hat sich z.B. gezeigt, dass stellare Beiträge — durch HI-Wolke — die Absorptionsprofile verfälschen, wie aus zeitlichen Schwankungen klar hervorgeht. Ferner können multiple interstellare Wolken in der Beobachtungsrichtung die Analyse erschweren. Die gewonnenen Resultate schwanken in einem grossen Bereich:  $D/H \approx (0.8-2) \times 10^{-5}$ . Eine sorgfältige Analyse der COPERNICUS- und IUE-Daten ergab (McCullough, 1992)

$$(D/H)_{ISM} = (1.5 \pm 0.2) \times 10^{-5}. \quad (4.36)$$

Später wurden solche Messungen mit dem Hubble-Space-Teleskop wiederholt, mit dem Resultat:

$$(D/H)_{ISM} = 1.60 \pm 0.03 \text{ (stat)} \pm 0.05 \text{ (syst.)} \times 10^{-5}. \quad (4.37)$$

Es wurde bereits 1976 von Adams vorgeschlagen, nach Lyman-Absorptionslinien von Deuterium in den Spektren von entfernten Quasaren zu suchen, welche durch intergalaktische Vordergrundwolken von unprozessiertem primordialen Material verursacht werden. Dank dem Keck-Teleskop ist dies nun möglich geworden. Ähnlich wie früher ist dies aber mit Schwierigkeiten verbunden, da z.B. unterschiedliche Geschwindigkeiten in den Wolken zu Konfusionen mit Wasserstofflinien führen können ("interloping hydrogen"). Darauf beruhen wohl auch die sich widersprechenden Ergebnisse verschiedener Gruppen. Für eine kürzliche Diskussion verweise ich auf:

S. Burles & D. Tytler, astro-ph/9803071.

Aus dieser Arbeit ist auch Fig. 8 entnommen, die das Prinzip der Methode sehr schön zeigt. Diese Autoren kommen zum Schluss, dass ihre Messungen alle verträglich sind mit dem folgenden primordialen Verhältnis

$$(D/H)_{\text{prim}} = (3.4 \pm 0.3) \times 10^{-5}, \quad (4.38)$$

was  $\eta_{10} = 5.1 \pm 0.3$  oder  $\Omega_B h_0^2 = 0.019 \pm 0.001$  entspricht. In Fig. 9 sind diese Werte als "Low D<sub>50</sub>" bezeichnet.

Andere Gruppen haben wesentlich höhere Werte für  $D/H$  publiziert ("High D<sub>50</sub>" in Fig. 9), welche jedoch teilweise zurückgezogen wurden. Man muss wohl abwarten bis sich die direkt Beteiligten geeinigt haben.

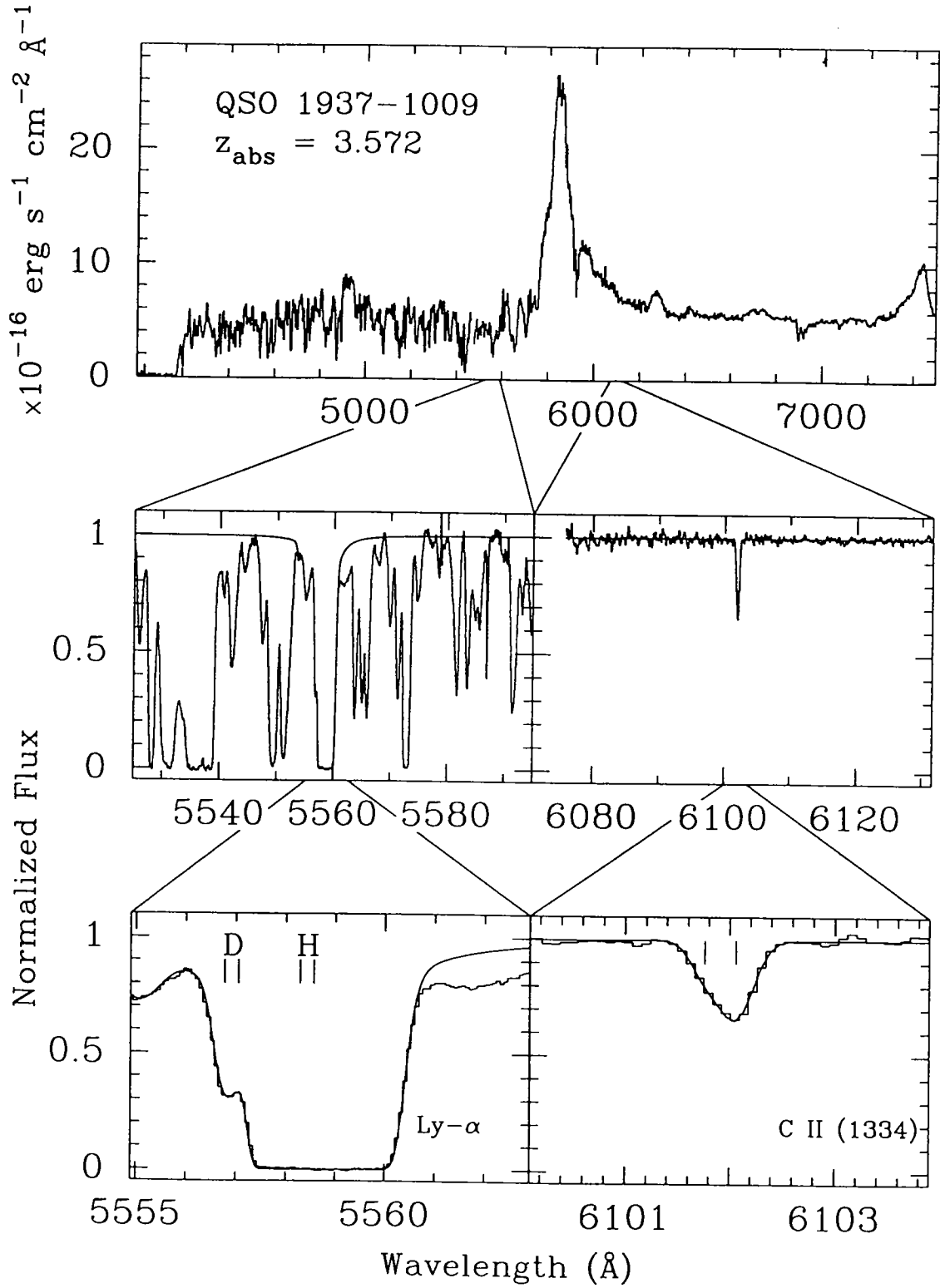


Figure 8. QSO 1937-1009: See text for more details

Top: Lick spectrum (FWHM = 4  $\text{\AA}$ )

Middle and Bottom: Keck+HIRES spectrum of the Ly $\alpha$  region (left) and C II region (right) at  $z = 3.5722$

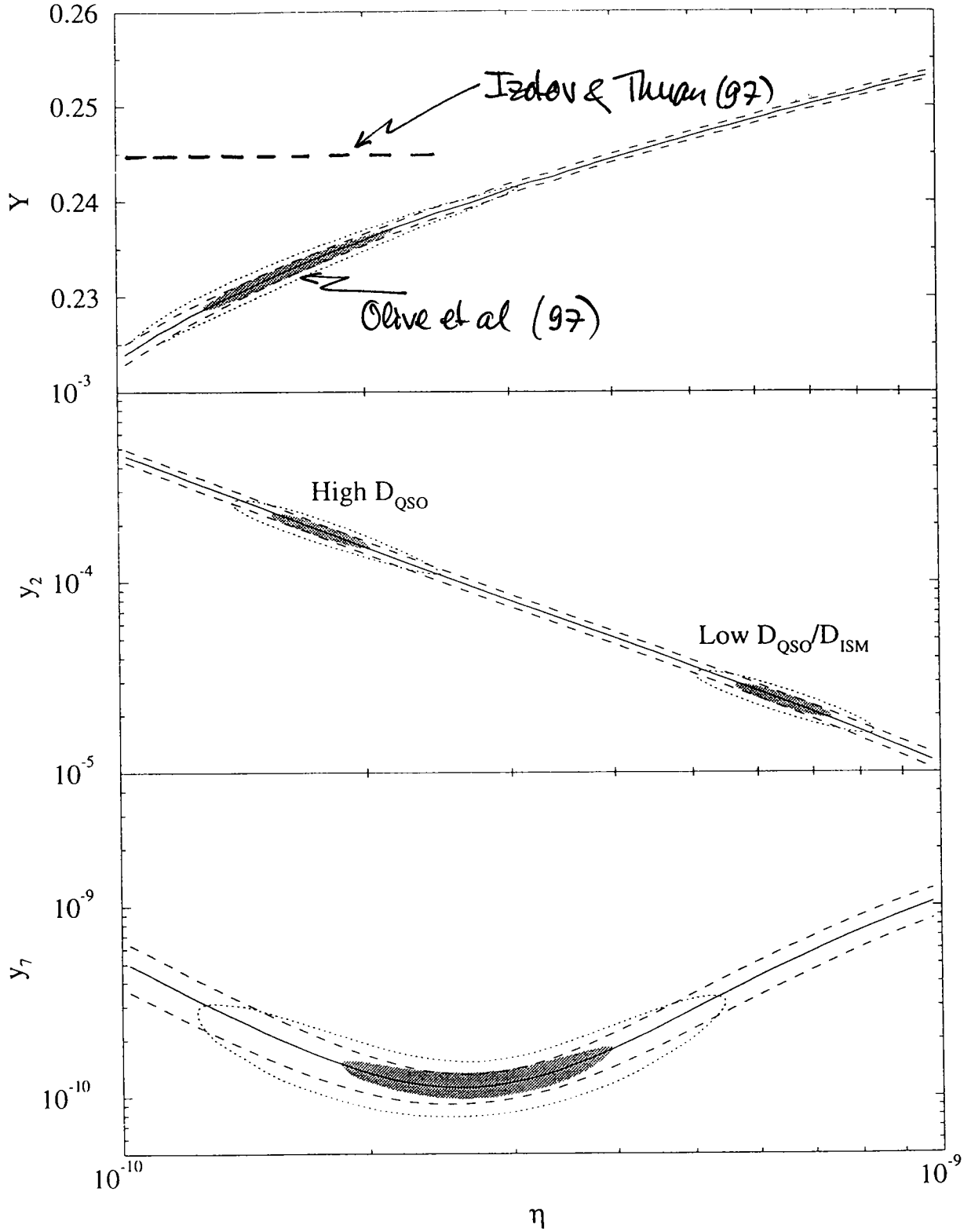


Fig. 9. As in Figure 7 with the high deuterium-abundance QSO measurements from Rugers & Hogan (1996) and the low deuterium-abundance QSO data from Tytler, Fan, & Burles (1996). This figure is from Hata *et al* (1997).

## b) Gegenwärtiger Stand für ${}^4\text{He}$

${}^4\text{He}$  ist das zweithäufigste Element im Universum und spielt eine Schlüsselrolle in der BBN.

Um den stellaren Anteil von  ${}^4\text{He}$  tief zu halten, ist es günstig extragalaktische HII-Regionen (heisse Gebiete aus ionisiertem Wasserstoff) zu untersuchen. Zum Nachweis von  ${}^4\text{He}$  dienen dabei Rekombinationslinien.

Unter Bezeichnung der Daten von 62 HII-Regionen kamen Olive, Skillman & Deigman (Ap.J. 483, 788 (1997)) zum Schluss, dass diese sowie frühere Daten mit dem folgenden primordialen Wert für die Massenfrequenz ( $Y_p$ ) verträglich sind

$$Y_p = 0.234 \pm 0.002 \quad (\text{Olive et al.}) \quad (4.39)$$

Im Unterschied dazu stützen Izotov & Thuan (Ap.J. (1997)) aufgrund ihrer Daten deutlich höhere ab:

$$Y_p = 0.244 \pm 0.002 \quad (\text{Izotov \& Thuan}). \quad (4.40)$$

(Dies ist 4-5  $\sigma$  höher.)

Wie aus Fig. 9 ersichtlich ist, ist der tiefere Wert von  $Y_p$  mit dem hohen Wert für D/H verträglich, während der höhere Wert für  $Y_p$  mit dem tieferen Wert von D/H zusammenpasst.

Es ist mir nicht möglich, zu dieser verwirrenden Situation Stellung zu nehmen.



## E. Neutrinozählung

In Abschnitt C.c) haben wir die theoretische Abhängigkeit der primordialen Heliumhäufigkeit von der Zahl der Neutrinos angegeben (Herleitung im Anhang):

$$\Delta Y_p = 0.013 (N_\nu - 3).$$

Für  $N_\nu = 3$  hatten wir die theoretische Vorhersage (als Funktion von  $\eta$ )

$$Y_p = 0.2459 + 0.01 \ln(\eta / 5 \times 10^{-10}).$$

Vergleicht man dies mit dem aus den Beobachtungen erhaltenen Wert (4.39) von Olive et al., so müsste  $N_\nu < 3$  sein (!), was uns möglich ist, wenn das  $\pi$ -Neutrino massiver ist als einige Neutrinos. Dann würde es nämlich während der ~~relevanten~~ relevanten Epoche  $T \lesssim 1 \text{ MeV}$  bereits unrelativistisch sein. Wir kommen auf diese Möglichkeit zurück.

Hingegen ist die theoretische Voraussage für  $N_\nu = 3$  vollständig mit dem Resultat (4.40) von Izotov & Tsvan (und auch mit den kleineren Werten von  $D/H$ ) vereinbar.

Nach den LEP-Resultaten ist die Zahl der Neutrinosorten (mit Standardkopplung an das  $Z$ -Boson) sehr nahe bei 3:

$$N_\nu = 2.987 \pm 0.016. \quad (4.41)$$

Hoffentlich werden wir eines Tages diese Zahl 3 verstehen.

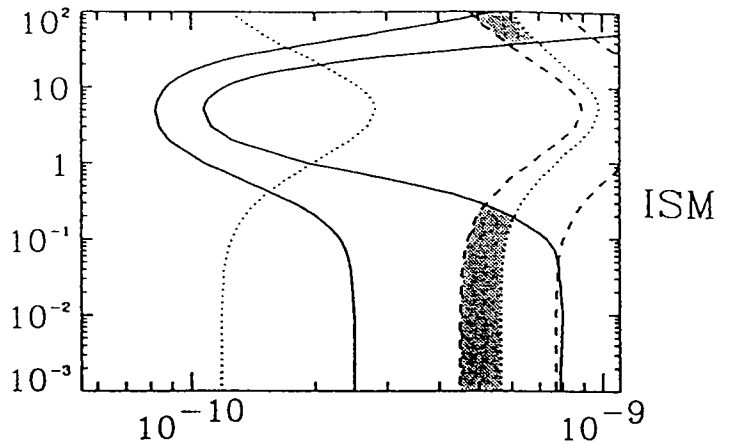
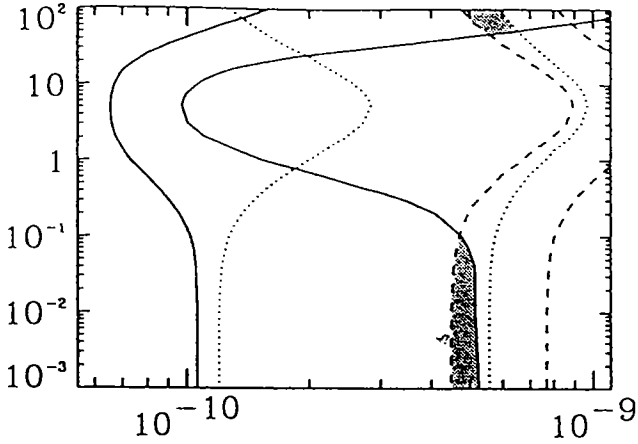
Hier muss betont werden, dass die Neutrinozahlungen über die BBN und via die Breite des  $Z$ -Bosons einander in wichtiger Weise ergänzen. Im ersten Fall ist  $N_\nu$  ein Mass von allem was zur Energie-Massendichte (und damit zur Expansionsrate) beiträgt. Mögliche Beispiele sind: leichte Skalarteilchen, sterile Neutrinos, exotische Neutrinos, etc. Am LEP wurden hingegen nur Teilchen gezählt, welche mit der üblichen Stärke an das  $Z$ -Boson koppeln (und deren Masse kleiner als  $m_Z/2$  sind).

Der Unterschied der Informationen kann am Beispiel eines möglicherweise massiven  $\pi$ -Neutrinos illustriert werden. Die theoretischen Häufigkeiten, als Funktion von  $\eta$  und  $m_\nu$ , sind in Fig. 10 dargestellt. (Für die Bedeutung der Symbole siehe die untenstehende Tabelle.) Die verschiedenen Bänder entsprechen Häufigkeiten, die zur Zeit mit den Beobachtungen verträglich sind (siehe die Tabelle).

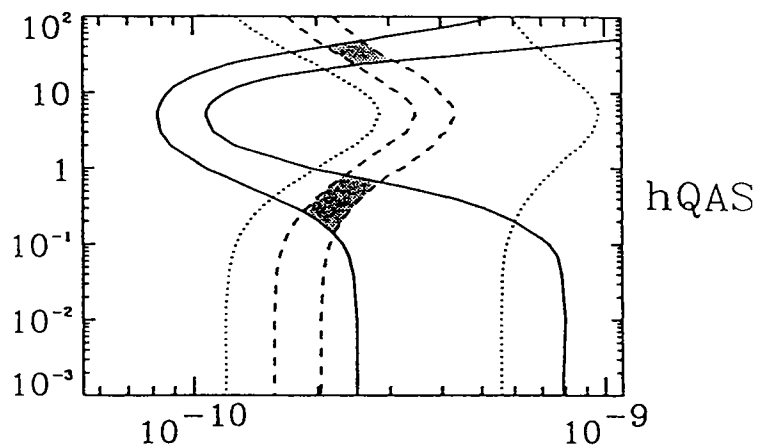
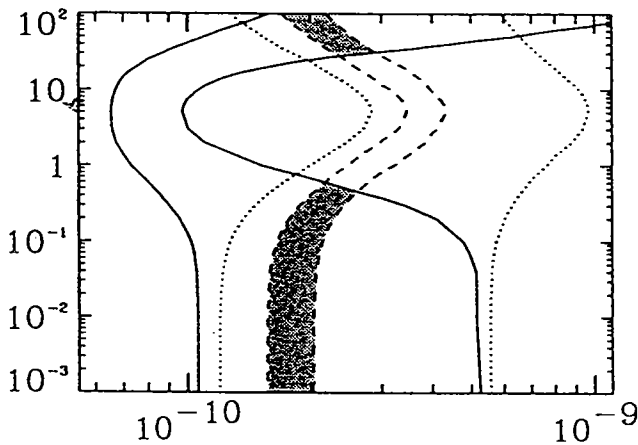
Der Vergleich mit den Beobachtungen zeigt u.a., dass ein  $\nu_\tau$ -Masse zwischen 1 MeV und der experimentellen Schwanke von 18 MeV (ALEPH-Kollaboration am LEP) ausgeschlossen ist. Die unterste Zeile von Fig. 10 illustriert, dass eine zukünftige "BBN-Krise" nicht ausgeschlossen ist. (Ich bin hier aber auf der Seite der Konservativen; warten wir ab.)

$l^4\text{He}$

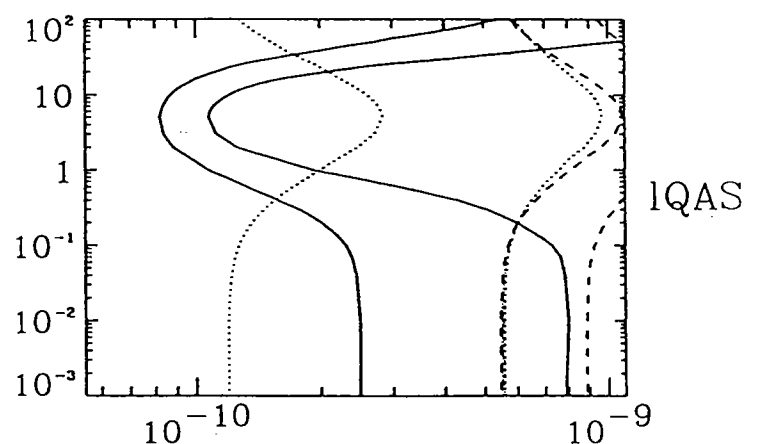
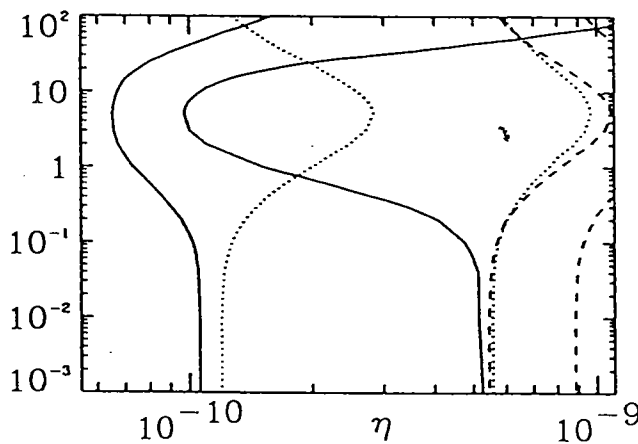
$h^4\text{He}$



ISM



hQAS



IQAS

—  $^4\text{He}$     - - - D    ·····  $^7\text{Li}$

Fig. 10. Isokänfigkeitskurven der leichtsten Elemente  $^4\text{He}$ , D und  $^7\text{Li}$  (für Majorana Neutrinos). In jeder Teilfigur entsprechen die gezeigten Kurven den Werten in der Tabelle der folgenden Seite. (Vgl. J.B. Behm, G.G. Raffelt und A. Weiss, *A&A* **327**, 443 (1997).)

Abundance	Measurement	Adopted Range	Label	Reference
$Y_p$	$0.234 \pm 0.003^{\text{stat}} \pm 0.005$	$0.223-0.245$	${}^4\text{He}$	Olive & Scully (1996)
	$0.243 \pm 0.003^{\text{stat}}$	$0.237-0.249$	$h^4\text{He}$	Izotov et al. (1997)
$D/H \times 10^5$	$1.6 \pm 0.2$	$1.8-4.4$	ISM	Linsky et al. (1993), Dearborn et al.
	$19 \pm 4$	$15-23$	hQAS	Rugers & Hogan (1996)
	$2.3 \pm 0.3^{\text{stat}} \pm 0.3$	$1.4-3.2$	IQAS	Tytler et al. (1996)
${}^7\text{Li}/H \times 10^{10}$	$1.6 \pm 0.07^{\text{stat} +0.4+1.6}_{-0.3-0.3}$	$0.9-3.7$	${}^7\text{Li}$	Fields et al. (1996)

Tabella. Höchste Werte der primären Häufigkeiten von  ${}^4\text{He}$ ,  $D$  und  ${}^7\text{Li}$ , welche auf den berechneten Beobachtungen vertieft sind.

Anhang zu Kap. IV: Neutron-Proton-Verhältnis  
 im expandierenden Universum (s. Rev. Mod. Phys. 61, 25 (89))

---

Für  $X \equiv X_n$  gilt nach (4.13) die Rategleichung

$$\dot{X}(t) = \lambda_{pn}(t) [1 - X(t)] - \lambda_{np}(t) X(t), \quad (\text{A.1})$$

wobei die Raten  $\lambda_{pn} \equiv \lambda(p \rightarrow n)$ ,  $\lambda_{np} \equiv \lambda(n \rightarrow p)$  durch (4.12) gegeben sind.

Für unsere analytischen Rechnungen machen wir nun die folgenden Vereinfachungen, die im Endergebnis einen Fehler  $\leq 15\%$  produzieren werden:

- (i) Wir vernachlässigen den Unterschied zwischen  $T_n$  und  $T_p$ :  $T_n = T_p \equiv T$ . Dann haben wir nach (4.17) immer

$$\frac{\lambda_{pn}}{\lambda_{np}} = e^{-Q/T} \quad (\text{A.2})$$

- (ii) Während der Periode in der das  $n/p$ -Verhältnis ausfrisiert unterscheiden sich die beiden Temperaturen um weniger als  $10\%$ . Wir ersetzen in (4.12) die Fermi-Dirac-Verteilungen durch Boltzmann-Verteilungen, z.B.

$$(1 + e^{q/T})^{-1} \rightarrow e^{-q/T}, \quad (\text{A.3})$$

Dies ist deshalb eine gute Näherung weil die typischen Energien, die in den Übergangsraten

integralen beitragen im Vergleich zur Ausgefrieretemperatur gross sind. Dann ist nach (A.10)

$$\lambda(\nu+n \rightarrow e^-+p) = A \int_0^\infty dp_\nu p_\nu^2 p_e E_e e^{-E_e/T},$$

$$A \equiv \frac{G_V^2 + 3G_A^2}{2\pi^3}; \quad (\text{A.4})$$

ebenso

$$\lambda(e^+n \rightarrow p+\bar{\nu}) = A \int_0^\infty dp_e p_e^2 p_\nu E_\nu e^{-E_e/T} \quad (\text{A.5})$$

und

$$\lambda(n \rightarrow p+\bar{\nu}+e^-) = A \int_0^{p_0} dp_e p_e^2 p_\nu E_\nu. \quad (\text{A.6})$$

(iii) Schliesslich vernachlässigen wir in (A.4) und (A.5) die Elektronenmasse. Die Hauptbeiträge zu den Integralen stammen von Energien  $E_\nu, E_e$  die wesentlich grösser als  $m_e$  sind.

Setzen wir in (A.4,5)  $p_e = E_e = E_\nu \pm Q$  (und  $p_\nu = E_\nu$ ), so lassen sich alle Integrale elementar ausführen und wir erhalten

$$\lambda(\nu+n \rightarrow p+e^+) = \lambda(e^+n \rightarrow p+\bar{\nu})$$

$$= AT^3 [4! T^2 + 2 \times 3! T Q + 2! Q^2]. \quad (\text{A.7})$$

Diese Näherung ist zwar nicht mehr gut für  $T \lesssim m_e$ , aber dies spielt keine grosse Rolle, da

dann die Terme (A.4) und (A.5) sehr klein werden und nur noch der Neutronenzerfall (A.6) wichtig ist. Für letzteren dürfen wir  $m_e$  nicht vernachlässigen. Setzen wir in (A.6)  $E_n = Q - E_e$  und  $p_0 = (Q^2 - m_e^2)^{1/2}$ , so kommt nach elementarer Integration

$$\frac{1}{\pi} = \lambda(u \rightarrow p + e^- + \bar{\nu}) = \frac{A}{5} (Q^2 - m_e^2)^{1/2} \left( \frac{1}{6} Q^4 - \frac{3}{4} Q^2 m_e^2 - \frac{2}{3} m_e^4 \right) + \frac{A}{4} m_e^4 Q \cosh^{-1} \left( \frac{Q}{m_e} \right). \quad (\text{A.8})$$

$$= 0.0157 A Q^5 \quad (\text{A.9})$$

[  $Q = 1.29 \text{ MeV}$ ,  $m_e = 0.511 \text{ MeV}$  ]. Dies benutzen wir, um  $A$  durch die mittlere Lebensdauer des Neutrons auszu-  
drücken

$$4A = \frac{a}{\pi} Q^{-5}, \quad a = 255. \quad (\text{A.10})$$

Unten werden wir in einem ersten Schritt zunächst in  $\lambda_{np}(t)$  den Neutronenzerfall weglassen. Dann ist  $\lambda_{np}(t)$  gerade das Doppelte von (A.7), oder mit

$$y := Q/T, \quad (\text{A.11})$$

$$\lambda_{np}(t) = \frac{a}{\pi y^5} (12 + 6y + y^2). \quad (\text{A.12})$$

Solange  $y < 5$  wird dieser Ausdruck durch den  $n$ -Zerfall nur geringfügig modifiziert. (Für  $y < 1$ , d.h.  $T > 1 \text{ MeV}$ , ist die Rate (A.12) drei Grössenordnungen

größer als die  $n$ -Zerfallsrate. Die beiden werden erst für  $y \approx 10$  vergleichbar.)

Nun lösen wir die Rategleichung (A.1). Die Lösung ist mit den Abkürzungen

$$\Lambda(t) = \lambda_{pu}(t) + \lambda_{up}(t) \quad (\text{A.13})$$

$$I(t, t') = \exp\left(-\int_{t'}^t dt'' \Lambda(t'')\right) \quad (\text{A.14})$$

gegeben durch (Variation der Konstanten!)

$$X(t) = I(t, t_0) X(t_0) + \int_{t_0}^t dt' \lambda_{pu}(t') I(t, t'). \quad (\text{A.15})$$

Für  $t_0$  wählen wir eine sehr frühe Zeit als die Temperatur nicht wesentlich unter 100 MeV lag. Zu diesem Zeitpunkt waren die Raten  $\lambda_{pu}$  und  $\lambda_{up}$  sehr gross und damit fällt  $I(t, t_0)$  mit  $t$  rasch ab (in  $t \approx 1/\Lambda(t_0)$ ). Deshalb dürfen wir in (A.15) den ersten Term weglassen und erhalten, wenn wir  $t_0$  durch 0 ersetzen, in genügender Näherung

$$X(t) = \int_0^t dt' \lambda_{pu}(t') I(t, t'). \quad (\text{A.16})$$

Dies formen wir noch etwas um: Mit

$$I(t, t') = \frac{1}{\Lambda(t')} \frac{d}{dt'} I(t, t') \quad (\text{A.17})$$

ergibt sich nach einer partiellen Integration



- A5 -

$$X(t) = \frac{\lambda_{pu}(t)}{\Lambda(t)} - \int_0^t dt' I(t, t') \frac{d}{dt'} \left( \frac{\lambda_{pu}(t')}{\Lambda(t')} \right). \quad (A.18)$$

Dies transformieren wir noch auf die Variable  $y$ :

$$X(y) = \frac{\lambda_{pu}(y)}{\Lambda(y)} - \int_0^y dy' I(y, y') \frac{d}{dy'} \left( \frac{\lambda_{pu}(y')}{\Lambda(y')} \right). \quad (A.19)$$

Nach (A.2) haben wir

$$\lambda_{pu}(y) = e^{-y} \lambda_{up}(y) \quad (A.20)$$

und somit

$$\Lambda(y) = (1 + e^{-y}) \lambda_{up}(y), \quad (A.21)$$

während  $I(y, y')$  zunächst durch folgenden Ausdruck gegeben ist

$$I(y, y') = \exp \left[ - \int_{y'}^y dy'' \frac{dt''}{dy''} \Lambda(y'') \right].$$

Für  $dt/dy$  verwenden wir (3.34)

$$\frac{dT}{dt} = - \left( \frac{4\pi^3 G}{45 g_{eff}} \right)^{1/2} T^3, \quad g_{eff} \stackrel{(3.36)}{=} \frac{43}{4}. \quad (A.22)$$

Benutzen wir dies und die Gl. (A.12), (A.21), so kommt

$$I(y, y') = \exp [K(y) - K(y')], \quad (A.23)$$

mit

$$K(y) = -6 \int dy' \left[ \frac{12}{y'^4} + \frac{6}{y'^3} + \frac{1}{y'^2} \right] (1 + e^{-y'}), \quad (A.24)$$

so  $b$  die folgende reelle Zahl ist

$$b = a \left( \frac{45}{4\pi^3 g_{\text{eff}}} \right)^{1/2} \frac{M_{\text{pl}}}{\pi Q^2}. \quad (\text{A.25})$$

Das Integral für  $K$  lässt sich bemerkenswerterweise ausführen, mit dem Resultat

$$K(y) = b \left\{ \left( \frac{4}{y^3} + \frac{3}{y^2} + \frac{1}{y} \right) + \left( \frac{4}{y^3} + \frac{1}{y^2} \right) e^{-y} \right\}, \quad (\text{A.26})$$

wie man durch Differentiation leicht verifiziert.

Setzen wir noch

$$X_{\text{eq}}(y) = \frac{\lambda_{\text{pl}}(y)}{\Lambda(y)} = \frac{1}{1 + e^y} \quad (\text{A.27})$$

(Gleichgewichtshäufigkeit), so wird aus (A.19)

$$X(y) = X_{\text{eq}}(y) + \int_0^y e^{y'} X_{\text{eq}}(y')^2 \exp[K(y) - K(y')] dy'. \quad (\text{A.28})$$

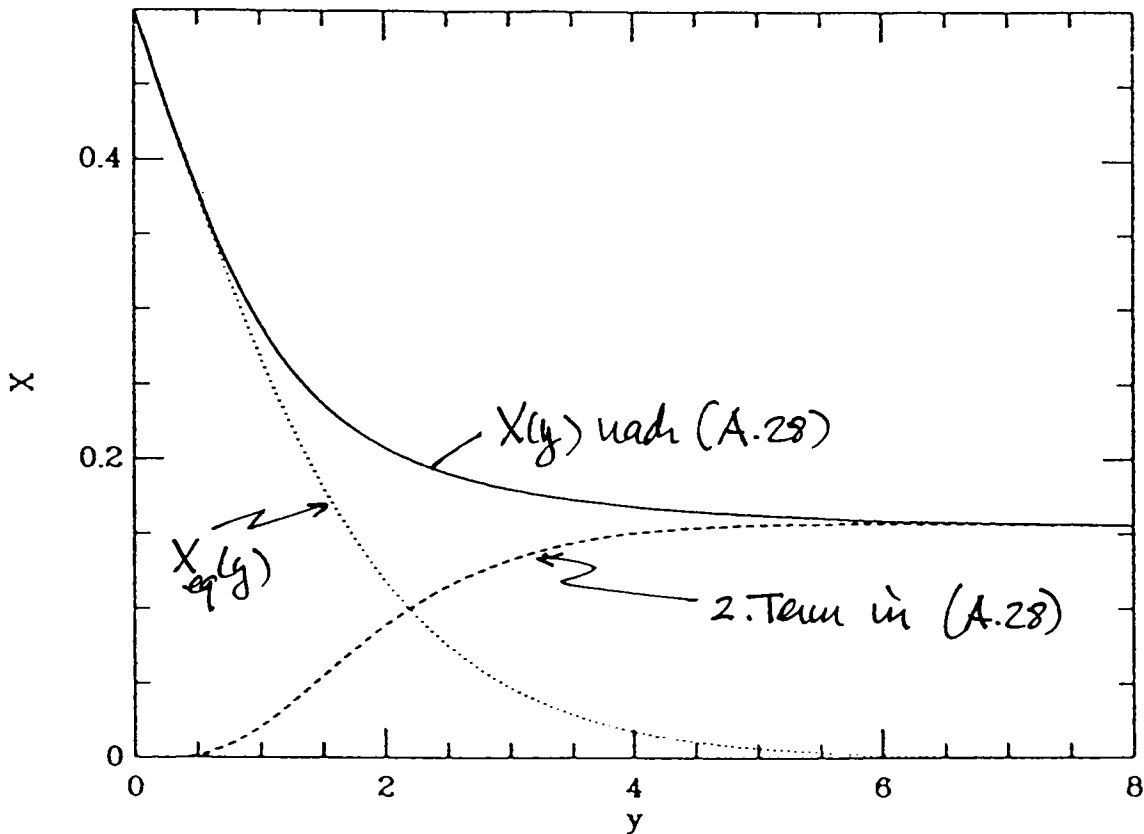
Hier ist nun alles bestimmt; nach (A.26) und (A.25) ist

$$b = \frac{0.823}{\sqrt{g_{\text{eff}}}} = 0.251. \quad (\text{A.29})$$

$\pi = 896 \text{ sec} \rightarrow 887 \pm 2$   
 $\rightarrow 0.252$

Es verbleibt eine einzige numerische Integration, deren Resultat in der nächsten Figur gezeigt ist. Der asymptotische Wert für  $X$  ist (und dieser wird praktisch schon früh erreicht)

$$\underline{X(y = \infty) = 0.151}. \quad (\text{A.30})$$



An dieser Stelle wollen wir im Hinblick auf die Abhängigkeit der Helium-Häufigkeit auf die Zahl der Neutronenarten nach die entsprechende Abhängigkeit von  $X(y \rightarrow \infty)$  bestimmen. Nach (A.25) ist

$$\frac{\delta b}{b} = -\frac{1}{2} \frac{\delta g_{eff}}{g_{eff}} = -\frac{1}{2} \frac{7}{43} \delta N_n \quad \begin{matrix} \uparrow 31 \\ (A.25) \end{matrix} \quad (3.36)$$

Eine Änderung von  $b$  zieht eine Änderung der Größe von  $K(y)$  in (A.26) nach sich und dies führt gemäss (A.28) zur Variation

$$\frac{\delta X(y=\infty)}{X(y=\infty)} = -C \frac{\delta b}{b} \quad \begin{matrix} \uparrow 32 \\ (A.26) \end{matrix} \quad (etc)$$

wobei

$$C = X(y=\infty)^{-1} \int_0^{\infty} dy' e^{y'} X_{eq}(y')^2 K(y') e^{-K(y')}. \quad (A.27)$$

Das Integral lässt sich leicht numerisch auswerten, mit dem Ergebnis

$$C = 0.52. \quad (A.28)$$

Setzen wir dies und (A.25) in (A.26) ein, so ergibt sich

$$\boxed{\frac{\delta X(y=\infty)}{X(y=\infty)} = 0.042 \delta N_{\gamma}}. \quad (A.29)$$

### Konclusionen durch Neutronzerfall

Wir berechnen von nun an das bisher berechnete  $X(y)$  mit  $\bar{X}(y)$ . Berücksichtigen wir jetzt den  $n$ -Zerfall in der Batengleichung (A.1), so ergibt sich für das latente  $X(t)$ :

$$X(t) = e^{-t/\tau} \bar{X}(y(t)), \quad (A.30)$$

da  $\bar{X}(y)$  sich während der Periode des Neutronzerfalls nicht wesentlich ändert (s. Fig. auf S. 7).

Nun müssen wir die Zeit  $t_c$  bestimmen, bei der die Neutronen praktisch alle in  $^4\text{He}$  verspadt werden. Da nach (4.27) die Zerfallshäufigkeit  $\approx 1$  bei  $T_{\gamma} \approx 0.07 \text{ MeV}$  wird, erwarten wir nach (3.39) für  $t_c$  eine Zeit in der Gegend von drei Minuten. Für eine genauere

- A9 -

Bestimmung müssen wir die Reaktionsgleichungen diskutieren.  
Die wichtigsten Reaktionen sind



Infolgenden bezeichne  $X_D, X_T, \dots$  die Anzahlhäufigkeiten bezogen auf die gesamte Baryonenzahldichte  $n_B$ ,

$$X_D = n_D / n_B, \dots \quad .$$

Beachte  $X_p + X_n + 2X_D + 3X_T + 4X_{{}^4\text{He}} + \dots = 1$ .

Wir erinnern nochmals an die Saha-Formel für die Gleichgewichtshäufigkeit von  $X_D$

$$\frac{X_n X_p}{X_D} = G_{np} \quad , \quad (A.31)$$

$$G_{np} = \frac{\pi^{1/2}}{125(3)} \frac{1}{\eta} \left( \frac{\mu_p}{T} \right)^{3/2} e^{-B_D/T} \quad , \quad (A.32)$$

$$\eta = n_B / n_\gamma \quad . \quad (A.33)$$

An Stelle der Zeit bemerken wir in den Reaktionsgleichungen die Grösse

$$z = \frac{B_D}{T_\gamma} = \frac{25.8}{T_9} \quad (A.34)$$

und für die verschiedenen Raten die Rateparameter

$$R \equiv \frac{dt}{dz} \langle \sigma v \rangle_T n_B, \quad (A.35)$$

wo  $\langle \sigma v \rangle_T$  die thermisch gemittelten Raten sind. Nach (3.34,3) ist mit (A.33) und  $n_B = 2S(B)T_B^3/\pi^2$ :

$$R = \frac{1}{z^2} \left( \frac{45}{\pi^2 \tilde{g}_{eff}} \right)^{1/2} S(B) \frac{1}{z} n_B \langle \sigma v \rangle_T. \quad (A.36)$$

Zunächst betrachten wir die Änderungen der Neutron- und Proton Populationen:

$$\frac{dX_n}{dz} = -R_{up} (X_p X_n - G_{up} X_D) + \dots, \quad (A.37a)$$

$$\frac{dX_p}{dz} = -R_{up} (X_p X_n - G_{up} X_D) + \dots. \quad (A.37b)$$

Den Beitrag von der umgekehrten Reaktion zu (A.30a) proportional zum Saha-Faktor  $G_{up}$  erhält man am schnellsten aus der Forderung, dass im stationären Fall ( $dX_n/dz=0$ ) die Saha-Gl. (A.31) herauskommen muss.\* Die Punkte in (A.37) bedeuten Beiträge von Prozessen [wie z.B. (A.30c)], welche die (p,n)-Populationen ändern, aber für unsere Diskussion nicht wichtig sind.

\* Diese Bedingung des "detaillierten Gleichgewichts" könnte man natürlich auch aus der T-Invarianz ableiten.

Da der Neutron-Proton-Einfangprozess (A.30a) exotherm ist, wird  $\sigma_{np} \cdot v$  bei tiefen Energien konstant. Experimentell ist <sup>\*</sup>

$$\sigma_{np} v = 4.55 \times 10^{-20} \text{ cm}^2/\text{sec}.$$

In (A.36) eingesetzt gibt dies

$$R_{np} \simeq 5 \left( \frac{29}{z} \right)^2 \frac{\eta}{\eta_0}, \quad \eta_0 \equiv 5 \times 10^{-10}. \quad (\text{A.38})$$

Es wird sich zeigen, dass vor dem Neutroneneinfang  $z < 29$  ist und folglich ist dann  $R_{np} \geq 5$ . Diese Werte sind genügend gross, um gemäss (A.37) kinemodynamisches Gleichgewicht für  $n, p$  und  $d$  zu etablieren [  $X_p + X_n + 2X_d = 1$ ,  $X_d = G_{np}^{-1} X_n X_p$  ]. Da  $G_{np}^{-1}$  sehr klein ist (siehe (A.32)), gibt es fast keine Deutonen und wir haben in 1. Näherung

$$X_d^{(1)} = G_{np}^{-1} X_p^{(0)} X_n^{(0)}, \quad (\text{A.39})$$

wobei  $X_{p,n}^{(0)}$  die ungestörten Populationen und  $X_p^{(0)} + X_n^{(0)} = 1$  bezeichnen. In dieser ersten Ordnung haben wir

$$X_p + X_n \simeq 1 - 2 G_{np}^{-1} X_p^{(0)} X_n^{(0)}. \quad (\text{A.40})$$

---

\* Für eine theoretische Berechnung dieses Querschnitts siehe z.B. Blatt & Weisskopf, Theoretical Nuclear Physics, Neutronen in Springer 1979, § XII.4.

Im relevanten  $z$ -Bereich, entsprechend  $T_g \simeq 1$ , ist  $z \simeq 30$  und dort ist nach (A.32)  $G_{np}^{-1}$  hauptsächlich durch den Faktor  $e^z$  bestimmt. Somit finden wir in erster Ordnung aus (A.40)

$$\frac{d}{dz} (X_p + X_n) \simeq -z G_{np}^{-1} X_p^{(0)} X_n^{(0)}. \quad (\text{A.41})$$

Nun addieren wir die beiden Balancegleichungen (A.37) und bemerken (A.39,41), um das Resultat

$$R_{np} (X_p X_n - G_{np} X_D) \simeq X_D^{(1)}. \quad (\text{A.42})$$

Soweit haben wir die Situation beschrieben solange die  $D$ -Population nicht durch andere Reaktionen, wie (A.30b), abnimmt. Für die erste in der Kette ( $D+D \rightarrow T+p$ ) haben wir die Balancegleichung

$$\begin{aligned} \frac{dX_D}{dz} = & +R_{np} (X_p X_n - G_{np} X_D) \\ & - R_{DD} [z X_D^2 - G_{DD} X_T X_p] + \dots \end{aligned} \quad (\text{A.43})$$

Dabei ist  $R_{DD}$  die skalare Rate für die Reaktion (A.30b) und  $G_{DD}$  ist der Саха-Faktor für den Gleichgewichtswert von  $X_D^2 / X_T X_p$ . Dafür findet man leicht

$$G_{DD} = \frac{g}{4} \left( \frac{\mu_D^2}{\mu_T \mu_p} \right)^{3/2} e^{-B/T_g}, \quad (\text{A.44})$$

$$B := 2\mu_D - \mu_p - \mu_T \simeq 4.02 \text{ keV}.$$

Im Unterschied zu  $G_{np}$  ist  $G_{DD}$  immer eine kleine Zahl.



Nun müssen wir den Kernnuklearen Querschnitt  $\sigma_{DD}$  geeignet parametrisieren und an das Experiment anpassen. Der Prozess  $D+D \rightarrow T+P$  ist durch die Coulombbarriere unterdrückt. Der Coulomb-Durchdringungsfaktor ist  $^{(*)}$   $(2\pi\alpha/v) \exp[-2\pi\alpha/v]$ , wo  $v$  die Relativgeschwindigkeit ist. Die Skala für den Querschnitt ist groß gleich dem Deuterontadius  $^{(†)}$   $\sim (\mu_p B_D)^{-1/2}$ . Die Reaktion ist überaus exotherm, sodass der Querschnitt einen zusätzlichen Faktor  $1/v$  enthält, welchen wir als dimensionslosen Faktor  $(B_D/\mu_p v^2)^{1/2}$  in die folgende Parametrisierung einschleusen

$$\sigma_{DD} = \frac{0.87}{\mu_p B_D} \left( \frac{B_D}{\mu_p v^2} \right)^{1/2} \frac{2\pi\alpha}{v} \exp\left(-\frac{2\pi\alpha}{v}\right). \quad (A.45)$$

Der numerische Vorfaktor kommt durch einen Fit an die Daten zustande.

Nun benötigen wir den Kernischen Mittelwert von  $\sigma_{DD} \cdot v$ . Dies ist ein wichtiges Problem der Astrophysik und deshalb führen wir die Einzelheiten in der folgenden Fussnote durch. Als Resultat werden wir erhalten:

$$\langle \sigma_{DD} v \rangle_T = 0.87 \frac{4\pi\alpha v_S}{(3 B_D \mu_p T^2)^{1/2}} e^{-3\pi\alpha/v_S}, \quad (A.46)$$

$^*)$  Siehe z.B. [NS 2, Kap. IV], oder Blatt & Weisskopf, loc. cit.

$^{(†)}$  Setze die  $D$ -Wellenfunktion ausserhalb des Kernpotentials  $\propto e^{-\delta r}$  und bestimme dort die freie Schwundgerade.

wobei

$$v_s = \left( \frac{2\pi\alpha T}{\mu_p} \right)^{1/3}. \quad (\text{A.47})$$

Fussnote: Thermische Mittelung  $\langle \sigma v \rangle_T$ .

Bei der Bildung des Mittelwertes von  $\langle \sigma(v)v \rangle_T$  für die Reaktion von zwei Teilchen transformieren wir zunächst auf Relativ- und Schwerpunktgeschwindigkeiten:

$\underline{v} = \underline{v}_1 - \underline{v}_2$ ,  $\underline{V} = \frac{1}{2}(\underline{v}_1 + \underline{v}_2)$  und finden allgemein sofort

$$\langle \sigma v \rangle_T = \left( \frac{\mu}{2\pi T} \right)^{3/2} \int_0^\infty 4\pi v^2 dv \sigma \cdot v e^{-\frac{1}{2}\mu v^2/T},$$

wo  $\mu$  die reduzierte Masse ist. In unserem Fall ist  $\mu \approx \mu_p$  und somit

$$\langle \sigma_{DD} v \rangle_T = \left( \frac{\mu_p}{2\pi T} \right)^{3/2} 4\pi \int_0^\infty v^2 dv \sigma \cdot v e^{-\mu_p v^2/2T}. \quad (\text{A.48})$$

Hier setzen wir den Ausdruck (A.45) ein und zerlegen das Integral in (A.48) in Sattelpunktnäherung aus. Dabei ist zu beachten, dass die beiden aufbetenden Exponentialfaktoren  $\exp(-\mu_p v^2/2T)$  und  $\exp(-2\pi\alpha/v)$  zu einem scharfen Maximum des Integranden — dem sog. Gamow-Peak — führen. Die Stelle des Sattelpunktes liegt beim Wert  $v_s$  in (A.47). Nach einer kurzen Rechnung findet man das Ergebnis (A.46).

Dieses Resultat setzen wir in (A.36) ein und erhalten nach Auswertung der Zahlen

$$R_{DD} = 2.4 \times 10^7 \left( \frac{\eta}{\eta_0} \right) z^{-4/3} e^{-1.44 z^{1/3}} \quad (\text{A.49})$$

Sobald man  $X_D$  abzunehmen beginnt, wird die Neutronenzahl nicht mehr durch Photoabsorption des Deuterons aufrechterhalten und die Kette von Reaktionen setzt unmittelbar ein, welche die Neutronen fast vollständig in  ${}^4\text{He}$  überführt. Die gesuchte Einfangtemperatur  $T_{D,c}$  ist also durch

$$\left. \frac{dX_D}{dz} \right|_{z=z_c} \approx 0, \quad z_c = z_{DD}/T_{D,c} \quad (\text{A.50})$$

bestimmt. Da, wie wir gleich sehen werden,  $z_c \approx 30$  ist, ist bei  $z_c$  der Faktor  $\sigma_{DD} \sim 10^{-60}$  und ist also völlig vernachlässigbar. (A.50) verlangt nach (A.43)

$$R_{up} (X_p X_n - \sigma_{up} X_D) - R_{DD} z X_D^2 \approx 0$$

$\underbrace{\hspace{10em}}_{\substack{(\text{A.42}) \\ \approx X_D^{(1)}}}$

oder für  $X_D \approx X_D^{(1)}$ :

$$z X_D^{(1)} R_{DD} \approx 1 \quad (\text{A.51})$$

Für  $X_n^{(0)}$  hatten wir in (A.30) den Wert 0.15 und somit ist  $X_n^{(0)} X_p^{(0)} \approx 0.13$ . Dies benutzen wir in (A.39)

für  $X_D^{(1)}$ , zusammen mit (A.32) für  $G_{up}$ . Zusammen mit dem Ausdruck (A.49) für  $R_{DD}$  liefert dann (A.51) numerisch die Bedingung

$$2.9 \times 10^{-6} \left( \frac{\eta}{\eta_0} \right)^2 z_c^{-17/6} e^{-1.44 z_c^{1/3}} e^{z_c} \simeq 1. \quad (A.52)$$

Für  $\eta = \eta_0$  finden wir  $z_c = 26$  und folglich

$$\boxed{T_{\gamma,c} = E_D / 26 = 0.086 \text{ MeV}. \quad (A.53)}$$

Aufgrund des  $e$ -Faktors  $e^{z_c}$  in (A.52) hängt dieses Ergebnis nur schwach von den gemachten Näherungen ab!

Schlusslich übersehen wir  $T_{\gamma,c}$  gemäss (3.39) noch in die Zeit  $t_c$ , mit dem gesuchten Ergebnis

$$\underline{\underline{t_c \simeq 180 \text{ sec}. \quad (A.54)}}$$

Damit haben wir unser Hauptziel erreicht: Nach (A.30) ist

$$\begin{aligned} X(180 \text{ sec}) &= \exp\left(-\frac{180}{896}\right) \bar{X}(y=\infty) \\ &= 0.818 \times 0.151 = 0.123. \end{aligned} \quad (A.55)$$

Die Massenhäufigkeit von  ${}^4\text{He}$  ist demnach

$$\boxed{Y_4 = 2X(180 \text{ sec}) = 0.247. \quad (A.56)}$$

Dies stimmt bis auf wenige Prozent mit Computerrechnungen überein.

Abhängigkeit von  $N_{2,-3}$  und  $\eta$

Wir leiten unten das folgende Ergebnis her<sup>\*</sup>

$$\Delta Y_4 = 0.014 \Delta N_{2,-3} + 0.009 \ln \left( \frac{\eta}{\eta_0} \right) + 0.18 \frac{\Delta \tau}{\tau} \quad (A.57)$$

$\eta_0 = 5 \times 10^{-10}$

Zunächst betrachten wir die Abhängigkeit von  $\Delta N_{2,-3} \equiv N_{2,-3}$ . Diese hat zwei Quellen: (1) die Änderung von  $\bar{\delta X}(y=\infty)$  die wir in (A.29) bestimmt haben:

$$\frac{\bar{\delta X}(y=\infty)}{\bar{X}(y=\infty)} = 0.042 \Delta N_{2,-3} ; \quad (A.58)$$

(2) eine Änderung der Einfangszeit  $t_c$  (bei gleichem  $T_{\delta,c}$ !) gemäss (3.39):

$$\frac{\Delta t_c}{t_c} = - \frac{1}{2} \frac{\Delta \tilde{J}_{eff}}{\tilde{J}_{eff}} \quad (A.59)$$

Ein Blick auf (3.38) zeigt, dass  $p_{50}$   $v$ -Sorte sich  $\tilde{J}_{eff}$  um  $2 \times \frac{7}{8} \times \left( \frac{4}{11} \right)^{4/3} = 0.454$  ändert. Folglich ist

<sup>\*</sup> In Beniseu et al wird auch die Abhängigkeit von einem allfälligen chemischen Potential der Kurbias bestimmt.

mit dem Nominalwert  $\bar{Y}_{eff} = 3.4$  (für  $N_2 = 3$ ) die Änderung (A.59)

$$\frac{\Delta t_c}{t_c} \approx -0.067 \Delta N_2 \quad (A.60)$$

Dies gibt die folgende Änderung von  $\exp(-t_c/\tau)$  von dessen Wert bei  $t_c/\tau = 180/896 \approx 0.20$  in (A.55):  
 $\Delta(\exp(-t_c/\tau)) / \exp(-t_c/\tau) \approx -\Delta t_c / \tau = -\frac{\Delta t_c}{t_c} \frac{t_c}{\tau}$   
 $\approx 0.014 \Delta N_2$ .

Insgesamt haben wir also

$$\Delta Y_4 = Y_4 (0.042 + 0.014) \Delta N_2$$

(A.61)

$$\stackrel{\uparrow}{=} 0.014 \Delta N_2$$

$$Y_4 = 0.25$$

Hier ist noch zu betonen, dass die Änderung von  $T_{g,c}$  tabächlich vernachlässigbar ist, da diese Temperatur hauptsächlich durch den grossen und schnell variierenden Faktor  $e^{z_c}$  geregelt wird.

Das Resultat (A.61) ist in Übereinstimmung mit den Ergebnissen von detaillierten Computerechnungen.

Diverse Anlagen





## Anhang A. Homogene kosmologische Modelle

Die homogenen kosmologischen Modelle sind Verallgemeinerungen der Friedmann-Fraumigfaltigkeiten. In diesen Modellen gibt es immer noch eine ausgezeichnete Schichtung gleicher Zeit, aber die Unterräume zu fester Zeit sind nur noch als homogen vorausgesetzt. Neben ihrer möglichen astrophysikalischen Relevanz, bilden sie ein nützliches theoretisches Labor, z.B. für die Untersuchung der Natur von Singularitäten und gewisser globaler Fragen. Wir geben hier lediglich eine kurze Einführung.

### 1. Mathematische Vorbereitungen

Wir benötigen im folgenden einige allgemeine Kenntnisse aus der Theorie der Lieschen Gruppen. Alles nötige findet man z.B. in [MS, Vol. I, Kap. 10].

Es sei  $M$  eine Mannigf. auf welcher eine Liesche Gruppe  $G$  operiere. Zu jedem  $g \in G$  gehört also ein Diffeomorphismus  $\tau_g$  von  $M$  und es gilt die Gruppeneigenschaft (Linksoperation):

$$\tau_{g_1} \circ \tau_{g_2} = \tau_{g_1 g_2}. \quad (A.1)$$

$\mathfrak{g}$  bezeichne die Liesche Algebra von  $G$  und  $L(M)$  die Menge der  $G$ -invarianten Vektorfelder auf  $M$ .  $L(M)$  ist eine Liesche Algebra, denn [NS, Part I, Thm. 3.6]:

$$(\tau_g)_*([X, Y]) = [(\tau_g)_* X, (\tau_g)_* Y], \quad X, Y \in \mathfrak{X}(M). \quad (A.2)$$

Neben den invarianten Vektorfeldern behalten wir noch

die fundamentalen Vektorfelder, welche folgendermaßen definiert sind. Zu jedem  $A \in \mathfrak{O}_f$  gibt es eine zugehörige 1-parametrische Untergruppe  $\alpha_A(t) = \exp tA$  und  $\phi_t^A = \pi_{\alpha_A(t)}$  ist der Fluss eines Vektorfeldes auf  $M$ , welches  $\pi_{\alpha_A(t)}$  mit  $A^*$  bezeichnen (fundamentales VF zu  $A$ ). Man kann zeigen, dass die Zuordnung  $A \mapsto A^*$  ein Antikomomorphismus ist (siehe z.B. [KS, Vol. II, p. 351]).

Die fundamentalen VF verhalten sich mit den invarianten VF, denn für  $X \in L(M)$  folgt aus  $(\pi_{\alpha_A(t)})_* X = X$

$$L_{A^*} X = 0 = [A^*, X]. \quad (A.3)$$

Nun sei  $\gamma$  eine (pseudo-) Riemann'sche Metrik von  $M$  und  $G$  operiere transitiv,

$$\pi_g^* \gamma = \gamma \quad \text{für } g \in G. \quad (A.4)$$

Dann ist  $A^*$  ein Killingfeld,

$$L_{A^*} \gamma = 0. \quad (A.5)$$

Außerdem ist für  $X, Y \in L(M)$  die Funktion  $\gamma(X, Y)$  auf den Orbits von  $M$  konstant, denn allgemein ist

$$(\pi_g^* \gamma)(X, Y) = \pi_g^* (\gamma(\pi_{g*} X, \pi_{g*} Y)),$$

und folglich

$$\gamma(X, Y) = \pi_g^* (\gamma(X, Y)).$$

Nun nehmen wir speziell an, dass  $G$  auf  $M$  transitiv und fixpunktfrei operiert. Letzteres bedeutet: Falls für ein  $x \in M$ ,  $\pi_g(x) = x$ , dann ist  $g = e$ . In dieser Situation

verschwindet  $A^*$  für jedes  $A \neq 0$  ungenügend (Übung).

Wählen wir einen festen Punkt  $x_0 \in M$  aus, so gehört dazu ein Diffeomorphismus  $\varphi: G \rightarrow M$ , definiert durch

$$\varphi(g) = \tau_g(x_0). \quad (A.6)$$

Wenn  $l_g$  die links Multiplikation von  $G$  mit  $g$  bezeichnet, so gilt

$$\tau_g \circ \varphi = \varphi \circ l_g, \quad (A.7)$$

$$\begin{array}{ccc} G & \xrightarrow{\varphi} & M \\ l_g \downarrow & & \downarrow \tau_g \\ G & \xrightarrow{\varphi} & M \end{array}$$

Dem

$$\begin{aligned} (\tau_g \circ \varphi)(h) &= \tau_g(\tau_h(x_0)) = \tau_{gh}(x_0) = \varphi(gh) = \varphi(l_g(h)) \\ &= (\varphi \circ l_g)(h). \end{aligned}$$

$\varphi$  ist also mit der  $G$ -Operation verträglich, d.h.  $G$  und  $M$  sind als  $G$ -Mannigfaltigkeiten isomorph. (Jedes  $x_0$  definiert aber einen anderen Isomorphismus!) Beim Isomorphismus  $\varphi$  gehen die fundamentalen VF von  $G$ , d.h. die rechtsinvarianten VF, in die fundamentalen VF, während die linksinvarianten Felder in  $L(M)$  übergehen.

## 2. Die Metrik eines räumlich homogenen Modells

Nun definieren wir präzise, was wir unter einem homogenen kosmologischen Modell verstehen.

Definition: Eine Raumzeit  $(M, g)$  ist ein homogenes kos-

metrisches Modell, falls eine 3-dimensionale Liesche Gruppe  $G$  metrisch und fixpunktfrei auf  $(M, g)$  so operiert, dass die Orbits (in einem Teilbereich) räumlich flach sind.

Als nächstes zeigen wir, dass  $(M, g)$  lokal folgende Struktur hat

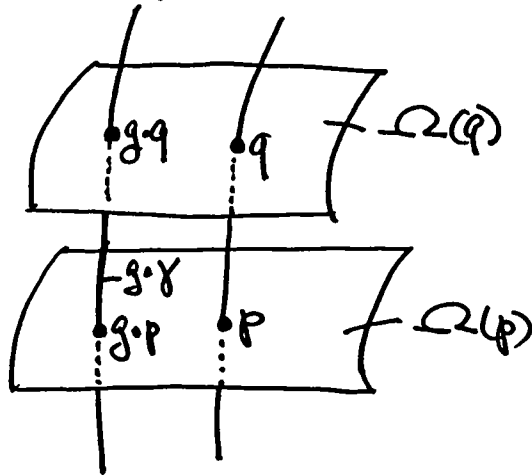
$M = \mathbb{R} \times G$ , als  $G$ -Mannigfaltigkeiten

$$g = dt \otimes dt + g_{ik}(t) \pi^*(\theta^i) \otimes \pi^*(\theta^k). \quad (A.8)$$

Dabei ist  $t = pr_1$ ,  $\pi = pr_2$ , und  $\{\theta^i\}$  ist eine Basis von linksinvarianten Formen auf  $G$ . Kürzer schreiben wir auch

$$g = dt^2 + g_{ik}(t) \theta^i \otimes \theta^k. \quad (A.8')$$

Beweis: Wir wählen ein  $p \in M$  und konstruieren die Geodäte  $\gamma(t)$  durch  $p$  senkrecht auf dem Orbit  $\Omega(p)$  durch  $p$  (s. Fig.).



Da  $G$  metrisch operiert, ist das Bild  $g \cdot \gamma$  unter  $g \in G$  wieder eine Geodäte, welche ebenfalls senkrecht auf  $\Omega(p)$  steht. Ferner ist der geodätische Abstand von  $p$  nach  $q$  gleich demjenigen von  $g \cdot p$  nach  $g \cdot q$ , d.h.  $\Omega(q)$  ist geodätisch parallel zu  $\Omega(p)$ . Dann folgt aus einer bekannten Variationsformel\*) dass  $\gamma$

\*) Siehe z.B.: [US, Vol. I, p. 443].

auf allen Orbits senkrecht steht.

Dem Punkt  $g \cdot q$  ordnen wir den Punkt  $(t, g) \in \mathbb{R} \times G$  zu, wenn  $t$  der geodätische Abstand des Orbits  $\Sigma(q)$  von  $\Sigma(p)$  ist. Dieser lokale Diffeomorphismus ist offensichtlich mit der  $G$ -Operation verträglich. In der übertragenen Metrik ist  $\mathbb{R}$  senkrecht auf  $G$  und da  $t$  der geodätische Abstand ist, gilt

$$g = dt^2 + \pi^*(h(t)),$$

wobei  $h(t)$ , für festes  $t$ , eine linksinvariante Metrik von  $G$  ist. Sie hat also die Form  $h = g_{ik}(t) \theta^i \otimes \theta^k$ .  $\square$

### 3. Berechnung der Krümmung

Es sei  $\theta^0 = dt$ , also

$$g = g_{\mu\nu} \theta^\mu \otimes \theta^\nu, \quad g_{00} = 1, \quad g_{0i} = 0, \quad g_{ik} = g_{ik}(t). \quad (\text{A.9})$$

Für die Zusammenhangsformen  $\omega^\mu{}_\nu$  gilt

$$\omega_{\mu\nu} + \omega_{\nu\mu} = dg_{\mu\nu},$$

also

$$\omega_{00} = 0, \quad \omega_{0k} + \omega_{k0} = 0, \quad \omega_{ik} + \omega_{ki} = \dot{g}_{ik} \theta^0. \quad (\text{A.10})$$

Die Zeitkomponente der 1. Strukturgleichung

$$d\theta^0 + \omega^0{}_\mu \wedge \theta^\mu = 0 \quad (\text{A.11})$$

lautet

$$\omega^0{}_k \wedge \theta^k = 0. \quad (\text{A.12})$$

Für die räumlichen Komponenten benutzen wir die Maurer-Cartan Gleichungen (siehe [MS, Vol. I, S. 538]):

$$d\theta^i = -\frac{1}{2} C^i_{jk} \theta^j \wedge \theta^k, \quad C^i_{jk}: \text{Strukturkonstanten von } \mathfrak{G}, \quad (\text{A.13})$$

und erhalten die Bedingungen

$$-\frac{1}{2} C^i_{jk} \theta^j \wedge \theta^k + \omega^i_j \wedge \theta^j + \omega^i_0 \wedge \theta^0 = 0. \quad (\text{A.14})$$

Als Lösung für die  $\omega^k$ , findet man nach einiger Rechnung (Übung):

$$\omega^0_0 = 0, \quad \omega^0_i = -\frac{1}{2} \dot{g}_{ij} \theta^j, \quad \omega^i_0 = \frac{1}{2} g^{ik} \dot{g}_{kj} \theta^j \quad (\text{A.15})$$

$$\omega_{ij} = \frac{1}{2} \dot{g}_{ij} \theta^0 + \lambda_{ijk} \theta^k, \quad (\text{A.16})$$

mit

$$\lambda_{ijk} = -\frac{1}{2} (C_{ijk} + C_{jki} - C_{kij}). \quad (\text{A.17})$$

Für die Krümmung erhält man z.B.

$$\Omega^0_0 = d\omega^0_0 + \omega^0_\nu \wedge \omega^\nu_0 = \omega^0_k \wedge \omega^k_0 = -\frac{1}{4} \dot{g}_{ke} g^{ks} \dot{g}_{sj} \theta^l \wedge \theta^j.$$

Analog findet man die anderen Komponenten. Für die Ricci-Krümmung ergeben sich folgende Ausdrücke:

$$R_{00} = -\frac{1}{2} (\dot{g}^{ik} \dot{g}_{ik}) - \frac{1}{4} g^{it} \dot{g}_{is} g^{js} \dot{g}_{jr} \quad (\text{A.18})$$

$$R_{0s} = -\frac{1}{2} \dot{g}_{ik} (C^{ik}_s - \delta^k_s C^l_l{}^i) \quad (\text{A.19})$$

$$R_{ik} = -\frac{1}{2} \ddot{g}_{ik} + \frac{1}{2} g^{sl} \dot{g}_{ek} \dot{g}_{is} - \frac{1}{4} g^{il} \dot{g}_{ej} \dot{g}_{ik} + \bar{R}_{ik} \quad (\text{A.20})$$

In der letzten Gleichung ist dabei  $\bar{R}_{ik}$  die Ricci-Krümmung des 3-dim. Riemann'schen Raumes  $(G, h)$ , mit der Metrik  $h = -g_{jk}(t) \theta^j \otimes \theta^k$ . Explizit findet man leicht

$$\bar{R}_{jt} = -\lambda^s_{jk} \lambda^k_{ts} + C^s_{sk} \lambda^k_{jr}. \quad (\text{A.21})$$

Bemerkungen:

1) Die Gleichung (A.18) ergibt sich auch aus der verallgemeinerten Poisson-Gleichung, welche wir in Anhang C herleiten werden (Gl. (C6)). In unserem Falle lautet diese

$$R_{00} = -\text{Sp } K^2 + (\text{Sp } K)^2 \quad (\text{A.22})$$

mit  $K = (K^i_j)$ . Nun ist  $\omega^0_i = K^0_j \theta^j$ , also nach (A.15)

$$K^0_j = -\frac{1}{2} \dot{g}_{0j} \text{ und folglich}$$

$$K^i_j = -\frac{1}{2} \dot{g}_{ik} g^{jk}. \quad (\text{A.23})$$

Setzt man dies in (A.22) ein, so folgt in der Tat (A.18).

2) Daneben hat man auch die allgemeine Gleichung ([NS1, p.163], oder Anhang G, (G.22))

$$G_{00} = \frac{1}{2} \bar{R} - \frac{1}{2} [\text{Sp}(K^2) - (\text{Sp } K)^2] \quad (\text{A.24})$$

und dies gibt hier mit (A.23)

$$G_{00} = \frac{1}{2} \bar{R} - \frac{1}{8} [g^{ir} \dot{g}_{is} \dot{g}_{jr} - (g^{ik} \dot{g}_{ik})^2]. \quad (\text{A.25})$$

Aus den Einsteinschen Feldgleichungen werden damit gewöhnliche Differentialgleichungen für die  $g_{ik}(t)$ .

Wir wollen <sup>mitbewegte</sup> noch die Bedingung  $\nabla \cdot T = 0$  für eine ideale Flüssigkeit,  $T = (p+\rho)u \otimes u - p g$ , explizit ausschreiben. Allgemein folgt daraus - neben der relativistischen Eulergleichung - der Energiesatz (siehe [NS1, p.92])

$$\nabla_u p = -(\rho+p) \nabla \cdot u. \quad (\text{A.26})$$

nach Voraussetzung

Da  $u = \partial/\partial t$  ist, bedeutet dies hier ( $e_\alpha$ : duale Basis zu  $\theta^\alpha$ ):

$$-\frac{\dot{\rho}}{\rho+p} = \nabla \cdot u = \omega^{\sigma_0}(e_\sigma) \underbrace{u^\sigma}_1 = \omega^i_0(e_i)$$

$$\stackrel{(A.15)}{=} \frac{1}{2} g^{ik} \dot{g}_{ik}.$$

Das wollen wir festhalten

$$\boxed{\dot{\rho} = -(\rho+p) \frac{1}{2} g^{ik} \dot{g}_{ik} = (\rho+p) \rho K.} \quad (A.27)$$

#### 4. Klassifizierung der 3-dim. $\mathbb{R}$ -Liealgebren

Wir bestimmen nun alle möglichen 3-dim. Liealgebren über  $\mathbb{R}$ , und damit die Strukturkonstanten  $C^i_{jk}$ .  
Diese erfüllen

$$C^i_{jk} = -C^i_{kj} \quad (A.28)$$

$$C^s_{ij} C^l_{sk} + C^s_{jk} C^l_{si} + C^s_{ki} C^l_{sj} = 0. \quad (A.29)$$

Weiter verhalten sich die  $C^i_{jk}$  wie die Komponenten eines Tensors unter affinen Basis Transformationen der Liealgebra.

In drei Dimensionen lassen sich die  $C^i_{jk}$  wie folgt darstellen:

$$\boxed{C^k_{ij} = \epsilon_{ijl} n^{lk} + \delta^k_j a_i - \delta^k_i a_j,} \quad (A.30)$$

$n^{lk}$ : symm. Tensor,  $a_i$ : Vektor.

Dies sieht man folgendermaßen ein. Zunächst ersetzen wir  $(i,j)$  in  $C^k_{ij}$  durch einen oberen Vektorindex

$$T^{kl} := \epsilon^{ijl} C^k_{ij},$$

und spalten sodann  $T^{kl}$  in seine symmetrischen



- A9 -

und antikommutierender Teile auf,

$$T^{kl} = n^{kl} + \epsilon^{kls} a_s, \quad n^{kl} = n^{lk}.$$

Dann ist

$$C^k_{ij} = \# \epsilon_{ije} T^{kl} = \text{rechte Seite von (A.30)}.$$

Die Jacobi-Identität (A.29) reduziert sich auf (Übung):

$$\boxed{n^{ij} a_j = 0.} \quad (\text{A.31})$$

Die Matrix  $(n^{ij})$  sei diagonalisiert

$$(n^{ij}) = \begin{pmatrix} n^{(1)} & & \\ & n^{(2)} & 0 \\ & 0 & n^{(3)} \end{pmatrix}. \quad (\text{A.32})$$

Falls  $\underline{a} = (a_1, a_2, a_3) \neq 0$ , ist  $\underline{a}$  nach (A.31) Eigenvektor von  $(n^{ij})$  mit Eigenwert 0. Ohne Einschränkung der Allgemeinheit können wir in der Darstellung (A.32)  $\underline{a}$  von der Form  $\underline{a} = (a, 0, 0)$  wählen. Dann ist entweder  $a = 0$  oder  $a \neq 0$ ,  $n^{(1)} = 0$ . In dieser Darstellung lauten die Vertauschungsrelationen

$$[X_1, X_2] = a X_2 + n^{(3)} X_3$$

$$[X_2, X_3] = n^{(1)} X_1$$

$$[X_3, X_1] = n^{(2)} X_2 - a X_3.$$

In (A.33) können wir jedes Basiselement  $X_i$  nach und nach mit einem Faktor multiplizieren und so erreichen, dass für  $a \neq 0$  die Zahl  $a$  positiv ist (da dann  $n^{(1)} = 0$ ). Ist ferner eine der Größen  $a$ ,  $n^{(2)}$ ,  $n^{(3)}$  gleich Null, so lassen sich alle Strukturkonstanten gleich  $\pm 1$  wählen. Sind aber alle drei Größen von Null verschieden, so bleibt bei einer

Konstantänderung des Verhältnisses  $a^2 / (u^{(2)} u^{(3)})$  invariant.

Mit diesen Bemerkungen ergibt sich die folgende Klassifizierung von Brandi:

Typ	$a$	$u^{(1)}$	$u^{(2)}$	$u^{(3)}$	
I	0	0	0	0	← Translationsgruppe von $\mathbb{R}^3$
II	0	1	0	0	
VII	0	1	1	0	
VIII	0	1	-1	0	
IX	0	1	1	1	← $SO(3)$
X	0	1	1	-1	← $SO(2,1)$
<hr/>					
V	1	0	0	0	
IV	1	0	0	1	
VII	$a$	0	1	1	
III ( $a=1$ )	$a$	0	1	-1	
VI ( $a \neq 1$ )	$a$	0	1	-1	

Tabelle A.1. Die 9 Brandi Typen. Die Typen VI und VII sind jeweils 1-parametrische Familien.

Bemerkungen

- Typ I:  $R_{ij} = 0$ : (lokal) Euklidischer Raum; enthält Freudenthal-Modell mit  $k=0$
- Typ IX: Liealgebra von  $SO(3)$ ; wähle  $g_{ik} = \frac{1}{4} a^2 \delta_{ik}$  und zeige  $R_{ij} = \frac{2}{a^2} g_{ij}$ : Raum mit konstanter positiver Krümmung
- Typ V: Setze  $X'_2 = X_2 + X_3$ ,  $X'_3 = X_2 - X_3$ ,  $X'_1 = X_1$ ; dann gilt  $[X'_1, X'_2] = X'_2$ ,  $[X'_2, X'_3] = 0$ ,  $[X'_3, X'_1] = -X'_3$ . Setzt man bezüglich dieser Basis  $g_{ik} = a^2 \delta_{ik}$ ,

- Au -

dann ist  $R_{ij} = -\frac{2}{a^2} g_{ij}$ : Raum mit konstanter negativer Krümmung.

Dies zeigt, dass die Friedmann-Modelle unter die folgenden Brandi-Typen fallen:

	<u>I</u>	<u>V</u>	<u>IX</u>
$k$ :	0	-1	1

Übungsaufgabe: Spezialisieren die Ergebnisse des Abschnitts 3 auf die Friedmann-Modelle,

$$g = dt^2 - \frac{1}{4} a^2(t) \delta_{ik} \theta^i \otimes \theta^k, \quad (\text{A.34})$$

und stelle die Feldgleichungen auf.

### s. Beispiele von homogenen Modellen

#### a) "Singularäres" Verhalten der mittleren Krümmung $\text{Sp} K$

Die 00-Komponente der Feldgl.  $R_{\mu\nu} = 8\pi G (T_{\mu\nu} - \frac{1}{2} g_{\mu\nu} T)$  gibt nach (A.22)

$$-\text{Sp} K^2 + (\text{Sp} K)^2 = 8\pi G [T(u,u) - \frac{1}{2} T]. \quad (\text{A.35})$$

Für eine ideale Flüssigkeit ist die rechte Seite gleich  $4\pi G(\rho + 3p)$ , also positiv. Ist allgemeiner die sog. starke Energiebedingung (s. Anhang D) erfüllt, so ist die rechte Seite von (A.35) positiv, d.h. es gilt

$$+(\text{Sp} K)^2 - \text{Sp} K^2 \geq 0. \quad (\text{A.36})$$

Nun folgt aber aus der Schwarz'schen Ungleichung

$$(\text{Sp } K)^2 \leq 3 \text{Sp}(K^2), \quad (\text{A.37})$$

also ist

$$(\text{Sp } K) \geq \frac{1}{3} (\text{Sp } K)^2,$$

oder, falls  $\text{Sp } K \neq 0$ ,

$$\left| \frac{d}{dt} \left( \frac{1}{\text{Sp } K} \right) \leq -\frac{1}{3} \right. \quad (\text{A.38})$$

Beachte, dass nach (A.23)

$$\text{Sp } K = - \frac{d}{dt} \ln \sqrt{g}. \quad (\text{A.39})$$

Falls  $\text{Sp } K < 0$  für eine Zeit  $t_1$ , dann liegt Expansion vor (siehe <sup>auch</sup> Anhang B, speziell Gl. (19)). Dann verschwindet aber nach (A.38)  $(\text{Sp } K)^{-1}$  einige Zeit vorher, d.h. die Expansion (genauer die logarithmische Rate der Volumenerpansion) divergiert in der Vergangenheit von  $t_1$ . Analog folgt aus  $\text{Sp } K(t_1) > 0$ , dass die Expansion nach endlicher Zeit in der Zukunft divergiert.

Dies beweist allerdings auch nicht, dass "echte" Singularitäten auftreten. Es könnte auch sein, dass die Teilchen ungestört gewählt worden sind. Dafür gibt es interessante Beispiele.

### b) Die Kasner Lösung

Dies ist eine Vakuum-Lösung vom Bianchi-Typ I ( $C^i_{jk} = 0$ ). Für eine Metrik der Form

$$g = dt^2 - X^2(t) dx^2 - Y^2(t) dy^2 - Z^2(t) dz^2 \quad (\text{A.40})$$

findet man durch Spezialisierung ( $\theta^0 = dt, \theta^1 = dx, \text{etc.}$ ):

$$G_{0i} = 0$$

$$G_{00} = + \left( \frac{\dot{X}\dot{Y}}{XY} + \frac{\dot{X}\dot{Z}}{XZ} + \frac{\dot{Y}\dot{Z}}{YZ} \right)$$

$$R^1_{11} = \frac{(\ddot{X}\dot{Y}\dot{Z})}{XYZ}, \text{ etc.}$$

(A.41)

Übungsaufgabe: Leite dies auch direkt her.

Die Vakuumgl.  $R^1_1 = R^2_2 = R^3_3 = 0$  geben

$$\dot{X}\dot{Y}\dot{Z} = a, \quad X\dot{Y}\dot{Z} = b, \quad XY\dot{Z} = c. \quad (\text{A.42})$$

Addition dieser drei Gleichungen gibt für  $S^3 := XYZ$

$$(S^3)' = a + b + c,$$

also nach Wahl eines geeigneten Zeitnullpunktes

$$S^3 = (a+b+c)t.$$

(A.43)

Aus (A.42) folgt dann

$$\frac{\dot{X}}{X} = \frac{a}{S^3} = \frac{a}{(a+b+c)t}, \text{ etc.}$$

(A.44)

Nun haben wir noch die Bedingung  $G_{00} = 0$ , d.h.

$$\dot{X}\dot{Y}\dot{Z} + \dot{X}\dot{Y}\dot{Z} + X\dot{Y}\dot{Z} = 0.$$

(A.45)

Dies verlangt für die Konstanten  $a, b, c$ :

- A.14 -

$$\underline{ab + ac + bc = 0.}$$

(A.46)

Nach (A.44) ist

$$\ln X = \frac{a}{a+b+c} \ln t + \text{const.}$$

$$X = \text{const} \cdot t^{\frac{a}{a+b+c}}, \text{ etc.}$$

Sei  $p = \frac{a}{a+b+c}$ ,  $q = \frac{b}{a+b+c}$ ,  $r = \frac{c}{a+b+c}$ , dann ist

$$p + q + r = 1 \quad (\text{A.47})$$

und nach (A.46)

$$p^2 + q^2 + r^2 = 1. \quad (\text{A.48})$$

Dies sind die sog. Kasner-Bedingungen und die Kasner-Metrik hat die Form

$$\boxed{g = dt^2 - (A t^{2p} dx^2 + B t^{2q} dy^2 + C t^{2r} dz^2).} \quad (\text{A.49})$$

### c) Die Vakuum-Lösung von Taub

Nun betrachten wir den Brandt-Typ IX mit einer Metrik der Form

$$g = dt^2 - \gamma_{ik} \theta^i \otimes \theta^k,$$

$$\gamma_{ik} = \begin{pmatrix} a^2 & & \\ & b^2 & 0 \\ & 0 & c^2 \end{pmatrix}.$$

(A.50)

Die Christoffelsymbole sind jetzt  $C^i_{jk} = \epsilon_{ijk}$ . Die allgemeinen Formeln geben für diesen Fall

$$R^1_1 = \frac{(\dot{a}bc)'}{abc} + \bar{R}^1_1$$

$$R^2_2 = \frac{(\dot{a}bc)'}{abc} + \bar{R}^2_2$$

$$R^3_3 = \frac{(\dot{a}bc)'}{abc} + \bar{R}^3_3, \quad (A.51)$$

mit

$$\bar{R}^1_1 = \frac{1}{2(abc)^2} [a^4 - (b^2 - c^2)^2], \text{ etc.}, \quad (A.52)$$

sowie

$$R^0_0 = \frac{\ddot{a}}{a} + \frac{\ddot{b}}{b} + \frac{\ddot{c}}{c}. \quad (A.53)$$

Alle anderen Komponenten des Ricci-Tensors verschwinden.<sup>\*)</sup>  
 (Für  $a^2 = b^2 = c^2$  erhält man wieder das Friedmann-Modell für  $k = +1$ .)

Die Taub-Lösung erfüllt  $a^2 = b^2$ ,  $Ric = 0$ . Man findet sie folgendermaßen. Zunächst mit  $R^1_1 = R^2_2$ . Aus  $R_{22} + R_{33} = 0$  erhält man mit der Zeitvariablen

$$dt' = c dt \quad (A.55)$$

die Gleichung

$$(a^2 c^2)'' + 2 = 0 \quad (A.56)$$

(' bedeutet die Ableitung nach  $t'$ ). Diese hat die Lösung

<sup>\*)</sup> Für  $G_{00}$  findet man (vgl. mit (A.41))

$$G_{00} = + \left( \frac{\dot{a}\dot{b}}{ab} + \frac{\dot{a}\dot{c}}{ac} + \frac{\dot{b}\dot{c}}{bc} \right) + \frac{1}{2} \bar{R}, \quad \bar{R} = \bar{R}^i_i \quad (A.54)$$

↑  
(A.52)

$$(ac)^2 = (t' - t'_1)(t'_2 - t') \quad (\text{A.57})$$

mit Konstanten  $t'_1 < t'_2$ . Dies benutzen wir in  $G_{00} = 0$  und finden nach einer kurzen Rechnung

$$\left(\frac{c'}{c}\right)^2 = \frac{(t'_2 - t'_1)^2 - c^4}{4(ac)^4} \quad (\text{A.58})$$

Man zeigt leicht, dass jede Lösung von (A.57) und (A.58) auch die Gleichung  $R_{33} = 0$  erfüllt.

Durch eine Quadratur findet man aus den beiden letzten Gleichungen die Lösung

$$a^2 = \frac{1}{2C(t'_2 - t'_1)} [C^2(t' - t'_1)^2 + (t'_2 - t'_1)^2(t'_2 - t')^2], \quad (\text{A.59})$$

wobei  $C$  eine Integrationskonstante ist. Durch eine geeignete lineare Transformation  $t'' = \alpha t' + \beta$  kann man erreichen, dass die Metrik

$$g = \frac{(dt')^2}{c^2} - a^2((\theta^1)^2 + (\theta^2)^2) - c^2(\theta^3)^2 \quad (\text{A.60})$$

— bis auf einen irrelevanten Faktor — die folgende Form annimmt (Taub 1951):

$$g = \frac{(dt'')^2}{U(t'')} - (2l)^2 U (\theta^3)^2 - (t''^2 + l^2)(\theta^1)^2 + (\theta^2)^2 \quad (\text{A.61})$$

mit

$$U(t'') = -1 + \frac{2(ut'' + l^2)}{(t'')^2 + l^2} \quad (\text{A.62})$$

( $u, l$  sind Integrationskonstanten).



Eine andere Form erhält man mit Hilfe der neuen Zeitkoordinate  $\tau$ , definiert durch

$$dt = a^2 c d\tau \implies dt' = (ac)^2 d\tau. \quad (\text{A.63})$$

Aus (A.56) und (A.58) erhält man mit dem Ergebnis (A.57)

$$\left[ \frac{d}{d\tau} \ln(ac)^2 \right]^2 + 4(ac)^2 = 4\omega^2 \quad (\text{A.64})$$

$$\left[ \frac{dc^2}{d\tau} \right]^2 = c^4 (4\omega^2 - c^4), \quad (\text{A.65})$$

wobei  $4\omega^2 = (t'_2 - t'_1)^2$ . Integration dieser beiden Bedingungen gibt mit Integrationskonstanten  $\lambda, \mu$

$$(ac)^2 = \frac{\omega^2}{(\cosh \omega\tau + \lambda)^2}, \quad (\text{A.66})$$

$$c^2 = \frac{2\omega}{\cosh(2\omega\tau + 2\mu)} \quad (\text{A.67})$$

und folglich

$$a^2 = \frac{\omega}{z} \frac{\cosh(2\omega\tau + 2\mu)}{\cosh^2(\omega\tau + \lambda)}. \quad (\text{A.68})$$

Hinzu kommt

$$t = \int^{\tau} a^2 c d\tau. \quad (\text{A.69})$$

Für  $\tau \rightarrow \pm\infty$  konvergiert  $a^2$  gegen eine endliche Konstante  $\neq 0$  und  $c \sim e^{-\omega\tau}$ . Deshalb konvergiert das Integral in (A.69) für  $\tau \rightarrow \pm\infty$ . Für die zugehörigen endlichen Werte  $\tau$  ist  $c$  nach (A.67) gleich Null,

Während  $a=b \neq 0$  sind.

Auch die Form (A.61) wird singular bei  $t'' = u \pm \sqrt{u^2 + l^2}$ .

Diese Singularitäten sind aber spurious. Die Taub-NUT-Metrik lässt sich geometrisch in eine grössere Mannigfaltigkeit einbetten, welche von Newman, Tamburino und Unti 1963 gefunden wurde.<sup>\*</sup> Dies wird in [HE, §5.8] diskutiert. Das Phänomen, das hier auftritt, sollte nicht allzu überraschend sein, wie das folgende zweidimensionale Beispiel von Tugner zeigt.

Wir betrachten auf  $\mathbb{R} \times S^1$  die Metrik

$$g = d\tau^2 - \frac{\tau^2}{4} d\psi^2, \quad 0 \leq \psi < 2\pi, \quad (\text{A.70})$$

welche invariant ist unter der Gruppe  $SO(2)$ :  $\psi \rightarrow \psi + \varphi \pmod{2\pi}$ . In diesen synchronen Koordinaten ist die Metrik für  $\tau=0$  singular. Deshalb beschränken wir diese auf  $M = \mathbb{R}_+ \times S^1$ . Wenn wir aber die folgende Koordinatentransformation ausführen

$$\tau = 2\sqrt{t}, \quad \psi' = \psi - l \ln t,$$

so lautet die Metrik in den neuen Koordinaten

$$g' = -2dt d\psi' - t (d\psi')^2 \quad (\text{A.71})$$

und diese ist nicht nur für das Bild von  $M$  ( $\tau > 0$ ), d.h. für  $t > 0$  regulär, sondern auf ganz  $M' = \mathbb{R} \times S^1$  ( $\psi'$  ist zyklisch und  $t$  durchläuft alle reellen Werte).

---

\* Diese Raumzeit nennt man die T-NUT-Mannigfaltigkeit.

Um genauer zu verstehen, wie die ursprüngliche Raumzeit  $(M, g)$  isometrisch in Teil I von  $M'$  mit  $t > 0$  eingebettet ist, betrachten wir die beiden folgenden Familien von Nullgeodäten:

(i)  $d\psi' = 0$  (vertikale Linien in Fig. 1);

(ii)  $\frac{dt}{d\psi'} = -\frac{t}{2}$ .

Die zweite Familie hat die Kurve  $t=0$  als Grenzzyklus (s. Fig. 1); dasselbe gilt für die Kurven  $d\psi=0$  ("parallel" zur synchronen Zeitachse), denn dies ist gleichbedeutend mit  $dt/d\psi' = -t$ .

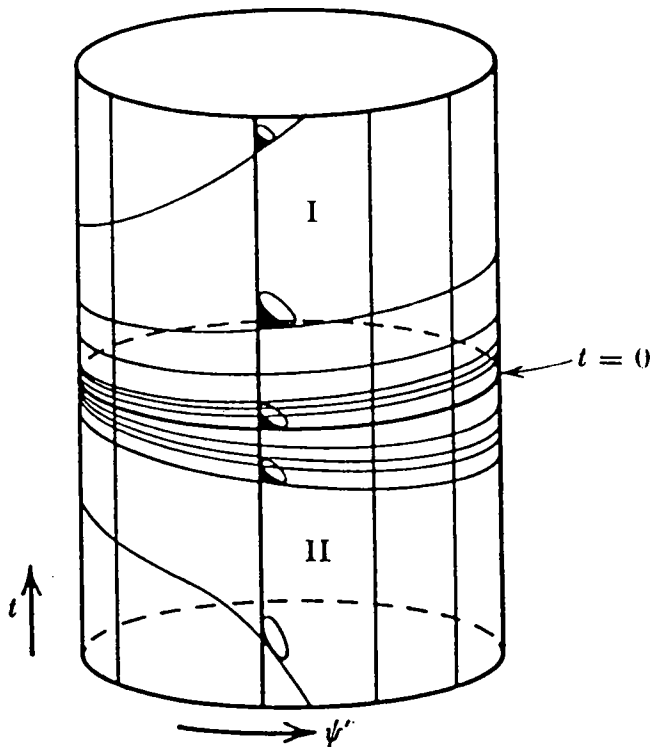


Fig. A.1. Misners 2-dim. Beispiel (siehe Text)

Man sieht auch, dass in Teil I (isometrisches Bild von  $(M, g)$ ) keine geschlossenen zeitartigen Linien existieren, während dies in Teil II ( $t < 0$ ) der Fall ist.

Es gibt auch eine zweite Erweiterung  $(h'', g'')$ , in welcher die Rolle der beiden Funktionen von Nullgestäten vertauscht ist. Dazu setze man  $\psi'' = \psi + \ln t$ . Beide inäquivalenten Ausdehnungen sind maximal, sie sind aber nach dem Gesagten geodätisch unvollständig.

\* \* \*

Falls  $a$  und  $b$  in (A.50) nicht gleich angenommen werden, sind keine analytischen Vakuumlösungen bekannt. Eine interessante qualitative Diskussion der Gleichungen in diesem allgemeinen Brandi-Typ IX Vakuumfall findet man in Landau-Lifshitz, Bd. 2, §113.

d) Ein Beispiel vom Brandi-Typ I für Staub

Wir sehen wieder die Metrik (A.40) an, lösen aber die Feldgleichungen diesmal für dustfreien mitbewegten Staub,

$$T_{\mu\nu} = \rho u_\mu u_\nu, \quad u = \frac{\partial}{\partial t}. \quad (\text{A.72})$$

Die Gleichung  $G_{00} = 8\pi T_{00}$  ( $G = -1$ ) lautet dann nach (A.41)

$$\dot{X}\dot{Y}\dot{Z} + \ddot{X}Y\dot{Z} + X\ddot{Y}\dot{Z} = 8\pi\rho S^3, \quad (\text{A.73})$$

wobei

$$S^3 = XYZ. \quad (\text{A.74})$$

Die Gleichungen  $R^1_{\phantom{1}1} = 8\pi(T^1_{\phantom{1}1} - \frac{1}{2}\rho)$ , etc, lauten nach (A.41)

$$(\dot{X}Y\dot{Z})' = 4\pi\rho S^3, \text{ etc.} \quad (\text{A.75})$$

Die Gleichung  $\nabla \cdot T = 0$  gibt nach (A.27)

$$\dot{\rho} = -\rho \left[ \frac{\dot{X}}{X} + \frac{\dot{Y}}{Y} + \frac{\dot{Z}}{Z} \right] = -\rho \frac{(S^3)'}{S^3}.$$

Also gilt

$$\underline{\rho S^3 = \text{const}} \quad (\text{Erhaltung der Materie}), \quad (\text{A.26})$$

Addition der Gleichungen (A.75) gibt

$$(S^3)'' = 12\pi\rho S^3 =: 9M, \quad (\text{A.77})$$

wobei  $M$  nach (A.76) eine Konstante ist,

$$M = \frac{4\pi}{3} S^3 \rho.$$

Aus (A.77) folgt

$$S^3 = \frac{9}{2} M t (t + \Sigma), \quad \Sigma: \text{Integr. Konstante.} \quad (\text{A.78})$$

Für (A.75) können wir schreiben:  $(\dot{X}\dot{Y}\dot{Z})' = 3M$ , etc. Also gilt

$$\dot{X}\dot{Y}\dot{Z} = 3Mt + a, \quad \text{etc}, \quad (\text{A.79})$$

und folglich

$$\frac{\dot{X}}{X} = \frac{3Mt + a}{S^3} = \frac{3Mt + a}{\frac{9}{2} M t (t + \Sigma)}, \quad \text{etc.} \quad (\text{A.80})$$

Die Gleichung 1. Ordnung (A.73) gibt <sup>eine</sup> Bedingung an die Integrationskonstanten  $a, b, c$ . Sie lautet  $\dot{X}\dot{Y}\dot{Z} + \dots = 6M$ , also ist

$$\frac{\dot{X}\dot{Y}}{X\dot{Y}} + \dots = \frac{6M}{S^3}.$$

Setzt man darin (A.80) ein, so kommt

-A22-

$$\frac{3kt+a}{s^3} \frac{3kt+b}{s^3} + \dots = \frac{6H}{s^2},$$

oder

$$(3kt+a)(3kt+b) + \dots = 6Hs^3 = 27H^2(t+\Sigma).$$

Dies gibt

$$27Ht\Sigma = 3Ht(a+b+a+c+b+c)$$

$$ab+ac+bc = 0,$$

oder

$$a+b+c = \frac{9}{2}H\Sigma$$

$$ab+ac+bc = 0.$$

Wir setzen  $a = \frac{3H}{2}\Sigma(1+a')$ , etc, und erhalten für  $a'$ ,  $b'$  und  $c'$  die Bedingungen

$$\left. \begin{array}{l} a'+b'+c'=0 \\ a'b'+a'c'+b'c'=0 \end{array} \right\} \iff \left\{ \begin{array}{l} a'+b'+c'=0 \\ a'^2+b'^2+c'^2=6. \end{array} \right.$$

Diese haben die 1-parametrische Lösungsdreier

$$a' = 2\sin\alpha, \quad b' = 2\sin\left(\alpha + \frac{2\pi}{3}\right), \quad c' = 2\sin\left(\alpha + \frac{4\pi}{3}\right).$$

Damit folgt aus (A.80)

$$\frac{\dot{X}}{X} = \frac{2}{3t} \frac{t+\Sigma(1+2\sin\alpha)/2}{t+\Sigma}$$

$$\frac{\dot{Y}}{Y} = \frac{2}{3t} \frac{t+\Sigma(1+2\sin(\alpha+\frac{2\pi}{3}))/2}{t+\Sigma}$$

$$\frac{\dot{Z}}{Z} = \frac{2}{3t} \frac{t+\Sigma(1+2\sin(\alpha+\frac{4\pi}{3}))/2}{t+\Sigma}.$$

(A.81)

Diese Gleichungen lassen sich leicht integrieren:

$$X = S (t^{2/3}/S)^{2\sin\alpha}, \text{ etc.} \quad (\text{A.82})$$

Dies, zusammen mit (A.78), gibt die Lösung der Feldgleichungen. Die freien Parameter sind  $\alpha$ ,  $\Sigma$  und  $M$ .

### Diskussion:

Für  $\Sigma=0$  erhält man das Einstein-de Sitter Universum (Friedmann-Lösung für  $k=0$ ). Deshalb setzen wir  $\Sigma>0$ . für  $\alpha$  können wir uns auf das Intervall

$$-\frac{\pi}{6} < \alpha \leq \frac{\pi}{2}$$

beschränken. Wir haben auch (s. (A.78))

$$\frac{\dot{S}}{S} = \frac{2}{3t} \frac{t + \Sigma/2}{t + \Sigma}. \quad (\text{A.83})$$

Die gefundene Lösung expandiert von einem hochgradig anisotropen singulären Zustand bei  $t=0$  und nähert sich für sehr grosse  $t$  praktisch einem Einstein-de Sitter Universum. Die mittlere Länge  $S$  nimmt monoton mit  $t$  zu:

$$S \propto \begin{cases} t^{1/3} & \text{für kleine } t \\ t^{2/3} & \text{für grosse } t. \end{cases}$$

Für  $\alpha \neq \pi/2$  ist  $1 + 2\sin(\alpha + \frac{4\pi}{3}) < 0$ . Gehen wir also zurückwärts in der Zeit, so wird der Kollaps in der  $z$ -Richtung gestoppt und für genügend frühe Zeiten durch eine Expansion (!) ersetzt. In den  $x$ - und  $y$ -Richtungen geht aber der Kollaps monoton bis zur Singularität weiter. Das Modell hat also eine "zigzagenähnliche"

Singulartat: Die Materie kollabiert zunächst in allen Richtungen, aber der Kollaps wird entlang der z-Richtung schliesslich gestoppt und es schliesst sich in dieser Richtung eine Expansion an, während sich die x- und y-Richtungen monoton verhalten. (In z-Richtung gibt es für sehr frühe Zeiten eine Blauverschiebung.)

Diskutiere auch den Ausnahmefall  $\alpha = \pi/2$  ("Pfannkuchensingulartat")

\* \* \*

Über homogene Modelle gibt es eine sehr ausgedehnte Literatur. Für einen neueren Übersichtartikel, mit umfangreichen Literaturangaben, verweisen wir auf:

M. A. H. MacCallum, in "General Relativity",  
An Einstein Centenary Survey, Ed. S. W. Hawking,  
W. Israel, p. 533.

> weitere Referenzen



## Anhang B. Zur Kinematik von Strömungen in der ART

Die Betrachtungen und Resultate dieses Anhangs haben mannigfaltige Anwendungen, insbesondere im Hinblick auf Singularitätstheoreme in der ART.

### 1. Relative Bewegungen von benachbarten Teilchen

Wir betrachten eine zeitliche Kongruenz von Weltlinien mit normiertem tangentialen Vektorfeld  $u$ ,  $(u, u) = 1$ . In der Umgebung einer willkürlich herausgegriffenen Kurve  $\gamma_0$  dieser Kongruenz führen wir folgende Koordinaten ein.

Es seien  $e_i(\tau)$ ,  $i=1,2,3$ , unabhängige Vektorfelder längs  $\gamma_0$  ( $\tau$ : Eigenzeit längs  $\gamma_0$ ), welche senkrecht zu  $u = e_0$  sind. In einer Tubenumgebung von  $\gamma_0$  definieren wir Koordinaten durch

$$(t, x^i) \mapsto \exp_{\gamma_0(t)}(x^i e_i(t)). \quad (1)$$

Längs  $\gamma_0$  fällt  $t$  mit der Eigenzeit  $\tau$  zusammen. Die Kurve  $\gamma_0$  steht senkrecht auf den (lokalen) Untermannigfaltigkeiten  $\{t = \text{const}\}$ .

Eine Weltlinie  $\gamma(\tau)$  ( $\tau$ : Eigenzeit) der Kongruenz, welche genügend nahe an  $\gamma_0$  ist, kann auch durch  $t$  parametrisiert werden. In diesem Parameter ist der Tangentialvektor  $\tilde{u} = \varphi u$ ,  $\varphi = d\tau/dt$ . Der Fluss  $\varphi_t$  zum Vektorfeld  $\tilde{u}$  ist eine Translation längs der Kongruenz mit  $t$ . Speziell längs  $\gamma_0$  transformiert

$(\psi_t)_*$  die Tangentialräume senkrecht zu  $u$  ineinander.

Unter einem relativen Positionsvektor längs  $\gamma_0$  verstehen wir ein Vektorfeld  $X(t)$  längs  $\gamma_0$ , welches senkrecht zu  $u(t)$  steht und unter dem Fluss  $\psi_t$  invariant ist.

Der zugehörige relative Geschwindigkeitsvektor  $V$  ist die Fernableitung<sup>\*)</sup> von  $X$ :

$$V = \mathbb{F}_u X = \nabla_u X + (X, \nabla_u u)u = \perp \nabla_u X \quad (2)$$

( $\perp$ : Projektion senkrecht auf  $u$ ), welcher ebenfalls senkrecht auf  $u$  ist.

Da  $X$  unter dem Fluss  $\psi_t$  zu  $\tilde{u} = \varphi u$  invariant ist, gilt  $[\tilde{u}, X] = 0$  und folglich  $\nabla_{\tilde{u}} X = \nabla_X \tilde{u}$ , oder (da  $\varphi = 1$  längs  $\gamma_0$ )

$$\nabla_u X = \nabla_X \tilde{u}. \quad (3)$$

Längs  $\gamma_0$  gilt dann, wenn  $Y(t)$  ein zweites Vektorfeld senkrecht zu  $u(t)$  bezeichnet,

$$\begin{aligned} (V, Y) &= (\mathbb{F}_u X, Y) = (\nabla_u X, Y) = (\nabla_X \tilde{u}, Y) \\ &= (\nabla_X (\varphi u), Y) = \underbrace{X(\varphi)}_0 (u, Y) + \varphi (\nabla_X u, Y) \\ &= (\nabla_X u, Y). \end{aligned}$$

\*) Für die Fernableitung, siehe [NS, § 1.10.2].

Deshalb gilt für den relativen Geschwindigkeitsvektor

$$\boxed{V = \nabla_X u.} \quad (4)$$

$V$  hängt also linear von  $X$  ab.

## 2. Vortizität, Dehnung und Expansion

Für Vektorfelder  $X, Y$  senkrecht zu  $u$  sei

$$\begin{aligned} \Theta(X, Y) &= \frac{1}{2} [(X, \nabla_Y u) + (\nabla_X u, Y)] \\ \Omega(X, Y) &= \frac{1}{2} [(X, \nabla_Y u) - (\nabla_X u, Y)]. \end{aligned} \quad (5)$$

Für beliebige Vektorfelder sehen wir  $\Theta(X, Y) = \Theta(\perp X, \perp Y)$ ,  
 $\Omega(X, Y) = \Omega(\perp X, \perp Y)$ .  $\Theta$  nennen wir den Dehnungstensor  
 und  $\Omega$  die Wirbelform (Wirbeltensor). Mit dem Projektions-  
 tensor

$$h_{\mu\nu} = g_{\mu\nu} - u_\mu u_\nu \quad (6)$$

lauten die Komponenten des Wirbeltensors

$$\omega_{\alpha\beta} = h_\alpha^\mu h_\beta^\nu u_{[\mu;\nu]} = h_\alpha^\mu h_\beta^\nu u_{[\mu;\nu]} \quad (7)$$

und diejenigen des Dehnungstensors

$$\theta_{\alpha\beta} = h_\alpha^\mu h_\beta^\nu u_{(\mu;\nu)}.$$

Die Spur von  $\Theta$  ist die Volumenexpansion  $\Theta$ ,

$$\Theta = h^{\mu\nu} \theta_{\mu\nu} = u^k_{;k}. \quad (8)$$

Der Spannungstensor  $\sigma_{\alpha\beta}$  ist der symmetrische Anteil von  $\Theta_{\alpha\beta}$ :

$$\sigma_{\alpha\beta} = \Theta_{\alpha\beta} - \frac{1}{3} h_{\alpha\beta} \Theta. \quad (9)$$

Man verifiziert leicht die Identität

$$\boxed{u_{\alpha;\beta} = \sigma_{\alpha\beta} + \omega_{\alpha\beta} + \frac{1}{3} \Theta h_{\alpha\beta} + a_\alpha u_\beta}, \quad a = \nabla_u u. \quad (10)$$

Diese Formel ist auch in der allgemeinrelativistischen Hydrodynamik wichtig; siehe [NS, Ahang B].

Wir diskutieren nun die geometrische Bedeutung der eingeführten Größen. Dazu nehmen wir jetzt speziell an, die  $e_i(t)$  seien längs  $\gamma_0$  Fermi-transportiert und orthonormiert. Für einen relativen Positionsvektor  $X(t) = X^i(t) e_i(t)$  längs  $\gamma_0$  ist das relative Geschwindigkeitsfeld

$$V(t) = F_u X(t) = \frac{dX^i}{dt} e_i(t) \equiv V^i(t) e_i(t).$$

Mit den Abkürzungen  $\underline{x}(t) = (X^1(t), X^2(t), X^3(t))$ ,  $\underline{v}(t) = (V^1(t), V^2(t), V^3(t))$  gilt also

$$\underline{v}(t) = \frac{d\underline{x}}{dt}. \quad (11)$$

Berechnet  $A(t)$  die Matrix von  $(\psi_t)_*$  relativ zur Basis  $\{e_i\}$ , so gilt, wegen  $X(t) = (\psi_t)_* X(0)$ ,

$$\underline{x}(t) = A(t) \underline{x}(0). \quad (12)$$

Für  $A(t)$  benutzen wir die Polariszerlegung

$$A(t) = R(t) \cdot P(t). \quad (13)$$

↑ Rotation      ↑ positiv definite symm. Matrix

Natürlich gilt

$$\dot{A}(0) = \dot{R}(0) + \dot{P}(0) \quad (14)$$

$\uparrow$                        $\uparrow$   
 skiefs.                      symm.

Aus (4), (11), (12) und (14) folgt

$$\begin{aligned} (\nabla_X u)_{x(0)} &= V(0) = V^i(0) e_i(0) = \frac{dX^i(0)}{dt} e_i(0) \\ &= \dot{A}(0)_{ij} X^j(0) e_i(0) = (e_i, \nabla_{e_j} u)_{x(0)} X^j(0) ; \end{aligned}$$

$$\dot{A}(0)_{ij} = (e_i, \nabla_{e_j} u)_{x(0)} = u_{ijj} ;$$

$$\left. \begin{aligned} \dot{P}_{ij}(0) &= \frac{1}{2} (u_{ijj} + u_{jji}) \stackrel{(S)}{=} \Theta_{ij} \\ \dot{R}_{ij}(0) &= \frac{1}{2} (u_{ijj} - u_{jji}) \stackrel{(S)}{=} \omega_{ij} , \end{aligned} \right\} \quad (15)$$

wobei  $\Theta_{\alpha\beta}, \omega_{\alpha\beta}$  die Komponenten von  $\Theta$  und  $\Omega$  bezüglich der Basis  $\{e_\alpha\}$  sind. (Bezüglich dieser Basis verschwinden die Komponenten  $\Theta_{\alpha 0}, \omega_{\alpha 0}$ .)

Aus den beiden letzten Gleichungen sehen wir, dass  $\Theta_{ij}$  die Dehnungsraten der <sup>relativen</sup> Positionsvektoren und  $\omega_{ij}$  deren Rotationsraten beschreiben, beide bezüglich Fermi-Koordinaten Basen. Dies rechtfertigt die Berechnungen für  $\Theta$  und  $\Omega$ .

Schließlich betrachten wir noch die Expansion der Strömung. Es sei  $\omega_{\perp} = i_u \eta$ ,  $\eta$ : Volumenform der Raumzeit. Wir bilden

$$\begin{aligned} L_{\tilde{u}} \omega_{\perp} &= L_{\tilde{u}} i_u \gamma = i_{\tilde{u}} d i_u \gamma = i_{\tilde{u}} L_u \gamma \\ &= (\operatorname{div} u) i_{\tilde{u}} \gamma = \varphi (\operatorname{div} u) \omega_{\perp}. \end{aligned}$$

Längs  $\gamma_0$  ist  $\varphi = 1$ , also

$$L_{\tilde{u}} \omega_{\perp} = (\operatorname{div} u) \omega_{\perp}, \text{ längs } \gamma_0. \quad (16)$$

Folglich misst  $\operatorname{div} u$  die logarithmische Rate der Volumenerweiterung im üblichen dreidimensionalen Sinn.

Nun ist auch

$$\operatorname{div} u = \nabla \cdot u = \underbrace{(\nabla_{e_0} u, e_0)}_0 - (\nabla_{e_i} u, e_i);$$

d.h.

$$\operatorname{div} u = - \sum_i \theta_{ii} = \sum_i \theta^i_i. \quad (17)$$

Der Dehnungskoeffizient hängt auch sehr eng mit der 2. Fundamentalförm der Flächen  $\{t = \text{const}\}$  zusammen. In der Tat folgt aus (5)

$$\begin{aligned} \theta_{ij} &= \frac{1}{2} [(e_i, \nabla_{e_j} e_0) + (e_j, \nabla_{e_i} e_0)] \\ &= - \frac{1}{2} [\omega^i_0(e_j) + \omega^j_0(e_i)], \end{aligned}$$

wo jetzt  $\omega^{\alpha}_{\beta}$  die Zusammenhangsformen bezeichnen. Die 2. Fundamentalförm  $h_{ij}$  hängt mit diesen folgendermaßen zusammen (s. Anhang G, oder [NS, (2.7.7)]):

$$\omega^i_0 = \omega^0_i = k_{ij} \theta^j + \text{Term prop. zu } \theta^0,$$

Folglich gilt

$$\boxed{\theta_{ij} = -k_{ij}} \quad (18)$$

und deshalb nach (17)

$$\theta = \theta^i_i = \operatorname{div} u = + \sum_i K_{ii}. \quad (19)$$


---

Übung: Beweise die folgende wichtige Tatsache

$$\omega_{\alpha\beta} = 0 \iff u^b \wedge du^b = 0. \quad (20)$$

Nach Frobenius folgt also aus  $\omega_{\alpha\beta} = 0$ , dass  $u$  hyperflächentangenten ist.

Lösung: Nach Definition ist

$$-\Omega = \perp du. \quad (21)$$

Nun sieht man leicht, dass

$$-u^b \wedge \Omega = u^b \wedge du^b. \quad (22)$$

Deshalb folgt aus  $\Omega = 0$  auch  $u^b \wedge du^b = 0$ . Umgekehrt verschwindet umgekehrt letztere Größe, so folgt

$$0 = i_u(u^b \wedge du^b) = du^b - u^b i_u du^b.$$

Durch orthogonale Projektion folgt  $\Omega = 0$ .

---

### 3. Propagationsgleichungen

Mit Hilfe der Identität

$$u_{\alpha;\beta\gamma} - u_{\alpha;\gamma\beta} = R^{\delta}_{\alpha\beta\gamma} u_{\delta} \quad (23)$$

erhalten wir für  $\nabla_u(\nabla u)$ :

$$u^\delta (u_{\alpha;\beta})_{;\gamma} = u^\delta u_{\alpha;\gamma\beta} + R^\sigma_{\alpha\beta\gamma} u_\sigma u^\delta \\ = (u^\delta u_{\alpha;\gamma})_{;\beta} - u^\delta_{;\beta} u_{\alpha;\gamma} + R_{\sigma\alpha\beta\gamma} u^\sigma u^\delta,$$

oder

$$u^\delta (u_{\alpha;\beta})_{;\gamma} = a_{\alpha;\beta} - u^\delta_{;\beta} u_{\alpha;\gamma} + R_{\sigma\alpha\beta\gamma} u^\sigma u^\delta. \quad (24)$$

Von dieser Gleichung bilden wir zunächst die Spur:

$$\nabla_u \theta = \operatorname{div}(\nabla_u u) - u_{\alpha;\beta} u^{\beta;\alpha} - \operatorname{Ric}(u, u). \quad (25)$$

Dann ist

$$u_{\alpha;\beta} u^{\beta;\alpha} = u_{(\alpha;\beta)} u^{(\alpha;\beta)} - u_{[\alpha;\beta]} u^{[\alpha;\beta]}.$$

Nach (10) gilt

$$u_{(\alpha;\beta)} = \theta_{\alpha\beta} + \frac{1}{2}(a_\alpha u_\beta + a_\beta u_\alpha), \quad u^\beta \theta_{\alpha\beta} = 0; \quad (26)$$

$$u_{[\alpha;\beta]} = \omega_{\alpha\beta} + \frac{1}{2}(a_\alpha u_\beta - a_\beta u_\alpha), \quad u^\beta \omega_{\alpha\beta} = 0;$$

also

$$u_{\alpha;\beta} u^{\beta;\alpha} = \theta_{\alpha\beta} \theta^{\alpha\beta} - \omega_{\alpha\beta} \omega^{\alpha\beta}. \quad (27)$$

Damit erhalten wir aus (25) die (Landsau-) Raychaudhuri-Gleichung ( $\dot{\theta} \equiv \nabla_u \theta = u(\theta)$ ):

$$\dot{\theta} = -\operatorname{Ric}(u, u) - \theta_{\alpha\beta} \theta^{\alpha\beta} + \omega_{\alpha\beta} \omega^{\alpha\beta} + \operatorname{div}(\nabla_u u), \quad (28)$$

oder

$$\dot{\theta} = -\operatorname{Ric}(u, u) - \sigma_{\alpha\beta} \sigma^{\alpha\beta} - \frac{1}{3} \theta^2 + \omega_{\alpha\beta} \omega^{\alpha\beta} + \operatorname{div}(\nabla_u u).$$

Beachte die Vorzeichen auf den rechten Seiten!

(28')



Als Nächstes bilden wir die orthogonale Projektion von (24). Die Projektion der linken Seite ist gleich  $\perp (\dot{\theta}_{\alpha\beta} + \omega_{\alpha\beta}) + a_\alpha a_\beta$  ( $\dot{\theta}_{\alpha\beta} \equiv u^\gamma \theta_{\alpha\beta;\gamma}$ , etc.). Damit erhalten wir

$$\begin{aligned} \mathbb{F}_u (\theta_{\alpha\beta} + \omega_{\alpha\beta}) = & -a_\alpha a_\beta - (\theta^\delta_\beta + \omega^\delta_\beta) (\theta_{\alpha\gamma} + \omega_{\alpha\gamma}) \\ & + R_{\sigma\alpha\beta\gamma} u^\sigma u^\gamma + \perp a_{\alpha;\beta}. \end{aligned} \quad (29)$$

Nehmen wir von dieser Gleichung den antisymmetrischen Teil, so fällt der Krümmungsbeitrag weg und wir finden

$$\mathbb{F}_u \omega_{\alpha\beta} = -2 \theta^\gamma_{[\beta} \omega_{\alpha]\gamma} + \perp a_{[\alpha;\beta]}, \quad (30)$$

oder mit (9)

$$\mathbb{F}_u \omega_{\alpha\beta} = -2 \sigma^\gamma_{[\beta} \omega_{\alpha]\gamma} - \frac{2}{3} \theta^2 \omega_{\alpha\beta} + \perp a_{[\alpha;\beta]}. \quad (31)$$

Für eine geodätische Strömung,  $\nabla_u u = 0$ , reduziert sich dies auf

$$\dot{\omega}_{\alpha\beta} = -\frac{2}{3} \theta^2 \omega_{\alpha\beta} - 2 \sigma^\gamma_{[\beta} \omega_{\alpha]\gamma}. \quad (31')$$

Der symmetrische Anteil von (29) gibt

$$\mathbb{F}_u \theta_{\alpha\beta} = -a_\alpha a_\beta + \perp a_{(\alpha;\beta)} - \theta_{\alpha\gamma} \theta^\delta_\beta - \omega_{\alpha\gamma} \omega^\delta_\beta + R_{\sigma\alpha\beta\gamma} u^\sigma u^\gamma. \quad (32)$$

Bemerken wir noch die Raychaudhuri-Gleichung (28'), so erhalten wir aus (32) für den spurfreien Anteil:

$$\begin{aligned} \mathbb{F}_u \sigma_{\alpha\beta} = & -a_\alpha a_\beta + \perp a_{(\alpha;\beta)} - \sigma_{\alpha\gamma} \sigma^\delta_\beta - \frac{2}{3} \theta \sigma_{\alpha\beta} - \omega_{\alpha\gamma} \omega^\delta_\beta \\ & + R_{\sigma\alpha\beta\gamma} u^\sigma u^\gamma - \frac{1}{3} \kappa_{\alpha\beta} (-R_{\gamma\delta} u^\gamma u^\delta - \sigma_{\gamma\delta} \sigma^{\delta\gamma} + \omega_{\gamma\delta} \omega^{\delta\gamma} + a^{\delta;\gamma}). \end{aligned} \quad (33)$$

Der Riemann-Tensor kann durch den Ricci-Tensor und den Weyl-Tensor  $C_{\alpha\beta\gamma\delta}$  wie folgt ausgedrückt werden:

$$R_{\alpha\beta\gamma\delta} = C_{\alpha\beta\gamma\delta} - g_{\alpha[\gamma} R_{\delta]\beta} - g_{\beta[\gamma} R_{\delta]\alpha} - \frac{1}{3} R g_{\alpha[\gamma} g_{\delta]\beta}.$$

Diese Definitionsgleichung für den Weyl-Tensor zeigt, dass dieser dieselben Symmetrieeigenschaften wie der Riemann-Tensor hat und dass alle seinen Kontraktionen verschwinden. Der Weyl-Tensor ist besonders wichtig, weil er konform invariant ist (siehe z.B., [RW, Appendix D]).

Übungsaufgabe: Substituiere (34) in (33) und leite die folgende Gleichung her:

$$\begin{aligned} \mathbb{F}_u \sigma_{\alpha\beta} = & -C_{\alpha\gamma\beta\delta} u^\gamma u^\delta + \frac{1}{2} \perp R_{\alpha\beta} - \omega_{\alpha\gamma} \omega^\gamma_\beta - \sigma_{\alpha\gamma} \sigma^\gamma_\beta \\ & - \frac{2}{3} \theta \sigma_{\alpha\beta} + \perp a_{(\alpha,\beta)} - a_\alpha a_\beta \\ & - \frac{1}{2} h_{\alpha\beta} (\omega_{\gamma\delta} \omega^{\gamma\delta} - \sigma_{\gamma\delta} \sigma^{\gamma\delta} + a^\gamma_{;\gamma} + R_{\gamma\delta} h^{\gamma\delta}) \end{aligned} \quad (35)$$

(Vorzeichen?).

#### 4. Relative Beschleunigung

Für  $V$  in (2) bilden wir nun den relativen Beschleunigungsvektor  $\mathbb{F}_u V = \mathbb{F}_u^2 X$ . Mit (4) gilt

$$\begin{aligned} \mathbb{F}_u V &= \mathbb{F}_u \nabla_X u = \perp \nabla_u \nabla_X u \\ &= \perp (\nabla_u \nabla_X - \nabla_X \nabla_u - \nabla_{[u,X]}) u + \perp \nabla_X \nabla_u u + \nabla_{[u,X]} u \end{aligned}$$

$$= \perp R(u, X)u + \perp \nabla_X a + \perp \nabla_{[u, X]} u.$$

Aus den Symmetrieeigenschaften des Riemann-Tensors folgt

$$(u, R(u, X)u) = 0, \text{ d.h. es gilt } \perp R(u, X)u = R(u, X)u.$$

Weiter ist mit (2) und (4)

$$[u, X] = \nabla_u X - \nabla_X u = \nabla - (X, a)u - \nabla = -(X, a)u;$$

also

$$\nabla_{[u, X]} u = -(X, a)a.$$

Da dies senkrecht auf  $u$  steht, erhalten wir endgültig

$$\boxed{\nabla_u^2 X = R(u, X)u + \perp \nabla_X a - (a, X)a.} \quad (36)$$

(Dies löst die Übung 3 in [NS, p.127].)

Für eine geodätische Kongruenz ( $a=0$ ) erhalten wir wieder die Gleichung für die geodätische Abweichung

$$\nabla_u^2 X = R(u, X)u. \quad (37)$$

Bezüglich der Fermi-Transportierten Basis, welche wir in Abschnitt 2 eingeführt haben, schreibt sich (36) folgendermaßen

$$\frac{d^2 A_{jk}}{d\tau^2} = (R_{iojo} - a_{ij}a_j + a_i a_j) A_{jk}. \quad (38)$$

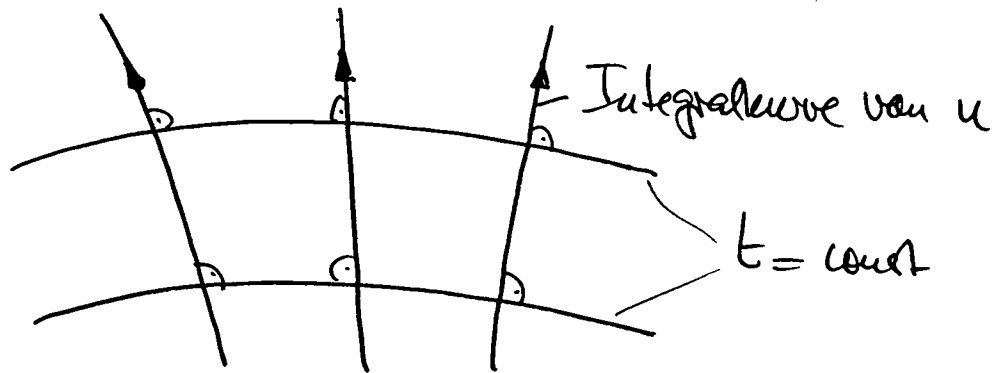
Bemerket man hier (15), so lassen sich daraus wieder die Propagationsgleichungen ableiten; siehe dazu [HE, §4.1].



## Anhang C. Wirbelfreie kosmologische Modelle

Wir studieren nun etwas allgemeinere Modelle als in Anhang A.

Das kosmische 4er-Geschwindigkeitsfeld  $u$  sei als wirbelfrei vorausgesetzt ( $\omega_{\alpha\beta} = 0$ ). Dies ist nach (B.20) äquivalent zu  $u^b \wedge du^b = 0$ . Das differentielle System  $u^b = 0$  ist deshalb nach Frobenius integrabel. Dies bedeutet: Es gibt lokal eine Zeitkoordinate  $t$ , so dass die Flächen  $t = \text{const}$  senkrecht auf  $u$  stehen.



In mitbewegten Koordinaten  $\{t, x^i\}$  lautet deshalb die Metrik (alle Beobachtungen sind lokaler Natur)

$$g = g_{00} dt^2 + g_{ik} dx^i dx^k. \quad (1)$$

Für festes  $t$  ist  $-g_{ik} dx^i dx^k$  die induzierte Riemannsche Metrik der Hypersfläche  $t = \text{const}$ . Wir nehmen jetzt mehr an, dass die Zeitschnitte homogen sind. In diesen Koordinaten ist die Vierergeschwindigkeit

$$u = \frac{1}{\varphi} \frac{\partial}{\partial t}, \quad \varphi := \sqrt{g_{00}} \quad (2)$$

# 1. Verallgemeinerte Poisson-Gleichung

Nun berechnen wir als erstes  $\text{Ric}(u, u)$ . Dazu führen wir eine adaptierte orthogonale Basis  $\theta^k$  von 1-Formen ein, wobei

$$\theta^0 = \varphi dt. \quad (3)$$

Ein Querstrich bezeichnet immer Größen für die Hyperebenen  $t = \text{const}$ . Z.B. sei  $\bar{\Delta}$  der Laplace-Operator mit der induzierten Metrik auf  $t = \text{const}$ .

Aufgrund der Gauss-Formeln (siehe Anhang G, Gl. (3), (7) und (8)) gilt:

$$\begin{aligned} \omega^i_j &= \bar{\omega}^i_j + f^i_j \theta^0, & f^i_j &= -f^j_i \\ \omega^0_i &= K_{ij} \theta^j + c_i \theta^0, & K_{ij} &= K_{ji} : \text{2. Fundamentalfarm.} \end{aligned} \quad (4)$$

Es wird sich zeigen, dass wir für  $\text{Ric}(u, u)$  die Größen  $f^i_j$  nicht zu kennen brauchen. Die  $c_i$  ergeben sich aus der 1. Strukturgleichung:

$$d\theta^0 = \frac{1}{\varphi} \varphi_{,i} \theta^i \wedge \theta^0 = -\omega^0_i \wedge \theta^i = -\underbrace{K_{ij} \theta^j \wedge \theta^i}_0 - c_i \theta^0 \wedge \theta^i$$

zu  $c_i = \frac{1}{\varphi} \varphi_{,i}$ , also gilt

$$\omega^0_i = K_{ij} \theta^j + \frac{1}{\varphi} \varphi_{,i} \theta^0 = \omega^i_0. \quad (5)$$

Nun berechnen wir  $\Omega^i_0$ . Zunächst ist nach (4) und (5)

$$\Omega^i_0 = d\omega^i_0 + \omega^i_j \wedge \omega^j_0 = d(K_{ij} \theta^j) + d\left(\frac{1}{\varphi} \varphi_{,i} \theta^0\right) +$$

- C3 -

$$+ \bar{\omega}^i_j \wedge (k_{je} \theta^e + \frac{1}{\varphi} \varphi_j \theta^0) + f^i_j \theta^0 \wedge (k_{je} \theta^e + \frac{1}{\varphi} \varphi_j \theta^0)$$

Wir benötigen

$$d(k_{ij} \theta^j) = dk_{ij} \wedge \theta^j + k_{ij} d\theta^j$$

$$dk_{ij} = \bar{d}k_{ij} + \varphi^{-1} \partial_t k_{ij} \theta^0$$

$$d\theta^j = -\omega^j_\alpha \wedge \theta^\alpha = -\bar{\omega}^j_\ell \wedge \theta^\ell - \omega^j_0 \wedge \theta^0$$

$$= -\omega^j_\ell \wedge \theta^\ell - k_{je} \theta^\ell \wedge \theta^0.$$

Eingesetzt gibt

$$\Omega^i_0 = \bar{d}k_{ij} \wedge \theta^j + \varphi^{-1} \partial_t k_{ij} \theta^0 \wedge \theta^j - k_{ij} (\omega^j_\ell \wedge \theta^\ell + k_{je} \theta^\ell \wedge \theta^0)$$

$$+ \bar{\omega}^i_j \wedge k_{je} \theta^e + f^i_j k_{je} \theta^0 \wedge \theta^e + \bar{\omega}^i_j \frac{1}{\varphi} \varphi_j \wedge \theta^0$$

$$+ d(\frac{1}{\varphi} \varphi_i) \wedge \theta^0 + \varphi^{-1} \varphi_i \varphi^{-1} \varphi_j \theta^j \wedge \theta^0.$$

$$\varphi^{-1} \varphi_{,ij} \theta^j \wedge \theta^0$$

$$\frac{1}{\varphi} \varphi^{||i}{}_{||j} \theta^j \wedge \theta^0$$

Wagt nicht zu  
Roo bei

$\bar{\omega}^i_\ell + f^i_\ell \theta^0$

Der Doppelstich bedeutet die kovariante Ableitung mit der induzierten Metrik.

Aus  $\Omega^i_0 = \frac{1}{2} R^i_{0\alpha\beta} \theta^\alpha \wedge \theta^\beta$  folgt, dass  $R_{00} = \sum_i$  (Koeff. von  $\theta^i \wedge \theta^0$  in  $\Omega^i_0$ ), d.h., wegen  $k_{ij} f^i_j = 0$ ,

$$R_{00} = \varphi^{-1} \Delta \varphi - k_{ij} k_{ji} - \varphi^{-1} \partial_t k_{ii}.$$

Es sei  $k = (k^i_j) = -(k_{ij})$  die Weingarten-Abbildung, dann ist also

$$\boxed{\text{Ric}(u, u) = \varphi^{-1} \Delta \varphi - \text{Sp} K^2 + \varphi^{-1} \partial_t \text{Sp} K.} \quad (6)$$

Beachte, dass nach (2)

$$\text{Ric}(u, u) = \text{Ric}\left(\frac{1}{\varphi} \partial_t, \frac{1}{\varphi} \partial_t\right) = \frac{1}{g_{00}} R_{00} = g^{00} R_{00} = R^0_0.$$

Mit den Einsteinschen Feldgleichungen erhalten wir deshalb

$$\boxed{\varphi^{-1} \Delta \varphi - \text{Sp} K^2 + \varphi^{-1} \partial_t \text{Sp} K = 8\pi G \left[ T(u, u) - \frac{1}{2} T \right].} \quad (7)$$

Daneben gilt noch (siehe Anhang G, Gl. (22), oder [NS1, p. 163])

$$G(u, u) = \frac{1}{2} \bar{R} - \frac{1}{2} [\text{Sp} K^2 - (\text{Sp} K)^2], \quad (8)$$

oder mit den Feldgleichungen

$$\boxed{\bar{R} - \text{Sp} K^2 + (\text{Sp} K)^2 = 16\pi G T(u, u).} \quad (9)$$

Wir beobachten noch  $\text{div} u = \text{Sp} u(X \rightarrow \nabla_X u)$ . Da  $\nabla_X u = \omega^i_0(X) e_i$ , ist

$$\text{div} u = \sum_i \omega^i_0(e_i) = K_{ij} \theta^j(e_i) = -\text{Sp} K,$$

d.h.

$$\boxed{\text{div} u = -\text{Sp} K.} \quad (10)$$

Dies haben wir bereits in Anhang B festgestellt (Gl. (B.19)). Dort wurde auch die Beziehung  $K_{ij} = -\theta_{ij}$  gezeigt (Gl. (B.18)).

Schliesslich berechnen wir die Änderung eines mit-



bewegten Volumens. Die Volumenform  $\omega_t$  der Fläche  $t = \text{const}$  bezüglich der induzierten Metrik ist

$$\omega_t = i_u \eta \uparrow \text{Tangentenraum von } \{t = \text{const}\}. \quad (11)$$

Ein mitbewegtes 3-dim. Gebiet  $D_t$  hat das Volumen

$$|D_t| = \int_{D_t} \omega_t. \quad (12)$$

Nun gilt \*)

$$\frac{d}{dt} |D_t| = \int_{D_t} L_{\partial_t} \eta = \int_{D_t} (\varphi \operatorname{div} u) \omega_t,$$

denn

$$\begin{aligned} L_{\partial_t} i_u \eta &= i_{\partial_t} \underbrace{d i_u \eta}_{L_u \eta = (\operatorname{div} u) \eta} = \operatorname{div} u \ i_{\partial_t} \eta = (\operatorname{div} u) \varphi \ i_u \eta \\ &= \varphi (\operatorname{div} u) \omega_t. \end{aligned}$$

Mit (10) erhalten wir

$$\boxed{\frac{d}{dt} |D_t| = - \int_{D_t} \varphi (\operatorname{Sp} K) \omega_t.} \quad (13)$$

Aus  $\operatorname{Sp} K < 0$  folgt also  $\frac{d}{dt} |D_t| > 0$ .

\* \* \*

---

\*) Siehe auch [MS, Vol. IV, p. 420].

## 2. Inkohärente Staubmodelle

Nun betrachten wir inkohärenten Staub. Dann ist die Strömung  $u$  geodätisch und folglich  $\varphi \equiv 1$ . Aus den Gl. (7) und (9) wird dann

$$\partial_t \rho_p k = 4\pi G \rho + \rho_p k^2 \quad (14)$$

$$\bar{R} - \rho_p k^2 + (\rho_p k)^2 = 16\pi G \rho. \quad (15)$$

Aus (14) folgt

$$\partial_t \rho_p k > \rho_p k^2$$

und damit wie in (A.38)

$$\boxed{\frac{d}{dt} \left( \frac{1}{\rho_p k} \right) \leq -\frac{1}{3}}, \quad (16)$$

obwohl die räumlichen Skizzen nicht homogen zu sein brauchen. Wieder können wir schließen, dass die Volumenerpansionsrate (siehe Gl. (13)) vor oder nach endlicher Zeit divergiert.

Für Staub wird aus (A.26) die Kontinuitätsgl.

$$\nabla_u \rho + \rho \operatorname{div} u = 0,$$

oder nach (10)

$$\frac{d\rho}{dt} = \rho (\rho_p k). \quad (17)$$

Da  $\partial_t \rho_p k > \rho_p k^2$  folgt aus der letzten Gleichung, dass mit  $\rho_p k \rightarrow \infty$  auch die Dichte gegen  $\infty$  strebt. Diese physikalische Singularität entwirrt sich natürlich

was, wenn sich die Krümmungsfähigkeit in  $t$  genügend ausdehnen lässt.

Wir berechnen für ein Staubmodell noch die 2. Ableitung von  $|D_t|$ . Nach (13) und der Herleitung dieser Gleichung folgt

$$\frac{d^2}{dt^2} |D_t| = - \int_{D_t} \rho_t (S_p K) \omega_t + \int_{D_t} (S_p K)^2 \omega_t$$

und damit nach (14) und (15)

$$\frac{d^2}{dt^2} |D_t| = 12\pi G \int_{D_t} \rho \omega_t - \int_{D_t} \bar{R} \omega_t$$

Nun ist

$$M_t := \int_{D_t} \rho \omega_t$$

die Gesamtmasse in  $D_t$ . Wir erhalten somit

$$\frac{d^2}{dt^2} |D_t| = 12\pi G M_t - \int_{D_t} \bar{R} \omega_t \quad (18)$$

Darin bräust der letzte Term für  $\bar{R} > 0$ .

folgt

$$\frac{d^2}{dt^2} |D_t| < 0 \quad \text{falls} \quad \bar{R} > 12\pi G \rho. \quad (19)$$

Übungsaufgabe: Spezialisieren die Gl. (7) und (9) auf die Friedmann-Modelle:

$$(7): \quad 3\ddot{a} = -4\pi G (\rho + 3p) a, \quad (9): \quad \left(\frac{\dot{a}}{a}\right)^2 + \frac{k}{a^2} = \frac{8\pi G}{3} \rho \quad (20)$$

### 3. Unmöglichkeit eines statischen Universums

Zunächst benötigen wir das folgende

Lemma: Für eine statische Lösung einer idealen Flüssigkeit mit Killingfeld  $\xi$  ist  $\xi$  parallel zum Geschwindigkeitsfeld  $u$ .

Beweis: Aus der Killinggleichung  $\xi_{(\alpha;\beta)} = 0$  und  $\xi[\alpha;\beta;\gamma] = 0$  folgt

$$\begin{aligned} 0 &= \left( \xi[\alpha;\beta;\gamma] \right)^{\delta} = \frac{1}{3} \left( \xi_{\alpha;\beta} \xi_{\gamma}^{\delta} + \xi_{\beta;\gamma} \xi_{\alpha}^{\delta} + \xi_{\gamma;\alpha} \xi_{\beta}^{\delta} \right)^{\delta} \\ &= \frac{1}{3} \left( \xi_{\alpha;\beta\gamma} \xi^{\delta} + \xi_{\beta;\gamma}^{\delta} \xi_{\alpha} + \xi_{\beta;\gamma} \xi_{\alpha}^{\delta} + \xi_{\gamma;\alpha}^{\delta} \xi_{\beta} + \xi_{\gamma;\alpha} \xi_{\beta}^{\delta} \right) \end{aligned} \quad (21)$$

Die unterstrichenen Terme addieren sich zu Null.

Nun bemerken wir, dass für ein Killingfeld folgendes gilt

$$\xi_{\mu;\alpha\beta} = R_{\alpha\beta\alpha\mu} \xi^{\lambda} \quad (22)$$

was man folgendermaßen einsieht. Für ein beliebiges Vektorfeld  $\xi$  gilt

$$\xi_{\sigma;\beta\mu} - \xi_{\sigma;\mu\beta} = R^{\lambda}{}_{\sigma\beta\mu} \xi^{\lambda} \quad (23)$$

Dazu addieren wir die beiden zyklischen Vertauschungen und bemerken die 1. Bianchi-Identität, mit dem Resultat

$$\xi_{\sigma;\beta\mu} - \xi_{\sigma;\mu\beta} + \xi_{\beta;\mu\sigma} - \xi_{\beta;\sigma\mu} + \xi_{\mu;\sigma\beta} - \xi_{\mu;\beta\sigma} = 0$$

Für ein Killingfeld  $\xi$  ( $\xi_{\mu;\nu} + \xi_{\nu;\mu} = 0$ ) wird daraus

$$\xi_{\sigma;\beta\mu} - \xi_{\sigma;\mu\beta} - \xi_{\mu;\beta\sigma} = 0 \quad (24)$$

Setzen wir dies in (23) ein, so ergibt sich die Behauptung (22).

Einsetzen von (22) in (21), so erhalten wir

$$R_{\lambda\gamma\beta\alpha} \xi^\lambda \xi^\gamma + R_{\lambda\gamma\alpha\beta} \xi^\lambda \xi^\gamma + R_{\lambda\gamma\beta\alpha} \xi^\lambda \xi^\gamma = 0$$

Der erste Term verschwindet und die anderen geben Ricci-Komponenten:

$$\begin{aligned} 0 &= \xi^\lambda R_{\lambda[\alpha} \xi_{\beta]} = 8\pi G \xi^\lambda \left( T_{\lambda[\alpha} - \frac{1}{2} g_{\lambda[\alpha} T) \xi_{\beta]} \right) \\ &= 8\pi G \xi^\lambda \left[ (\rho+p) u_\lambda u_{[\alpha} + \frac{1}{2} (\rho-p) g_{\lambda[\alpha} \right] \xi_{\beta]} \end{aligned}$$

Der letzte Term verschwindet trivialerweise und wir schließen auf  $u_{[\alpha} \xi_{\beta]} = 0$ , d.h.  $u \propto \xi$ .  $\square$

Satz: Für inkohärenten Staub gibt es keine statischen Lösungen der Einsteinschen Feldgleichungen mit  $\Lambda=0$ .

1. Beweis des Satzes: Nach dem Lemma ist  $u$  wirbelfrei und wir erhalten aus (14) für ein statisches Universum die unerfüllbare Bedingung:

$$4\pi G \rho + \xi_p(k^2) = 0. \quad \square \tag{25}$$

2. Beweis des Satzes:

Aus der Wirbelfreiheit ( $\omega_{\alpha\beta} = 0$ ) und der Raychaudhuri-Gleichung (B.28) folgt, wegen  $\nabla_u \theta \propto L_\xi \theta = 0$ ,

$$\begin{aligned} \text{Ric}(u, u) &= -\sigma_{\alpha\beta} \sigma^{\alpha\beta} - \frac{1}{3} \theta^2 + \text{div}(\nabla_u u) \\ &= 8\pi G \left( T(u, u) - \frac{1}{2} T \right). \end{aligned} \tag{26}$$

Für  $p=0$  ist  $\nabla_{\mu} u = 0$  und (26) impliziert

$$-\sigma_{\alpha\beta} \sigma^{\alpha\beta} - \frac{1}{3} \theta^2 = 4\pi p, \quad (27)$$

was für positive  $p$  keine Lösung hat.  $\square$

### Ergänzung

Betrachten wir allgemeiner eine ideale Flüssigkeit, so ist die 4er-Geschwindigkeit für ein statisches Universum nach dem Lemma immer noch wirbelfrei und wir erhalten deshalb nach (7)

$$\varphi^{-1} \Delta \varphi - \text{Sp } K^2 = 4\pi G (\rho + 3p). \quad (28)$$

Nehmen wir deshalb zusätzlich an, dass die räumlichen Schnitte homogen sind, so ist  $\Delta \varphi = 0$ , und die resultierende Bedingung

$$-\text{Sp } K^2 = 4\pi G (\rho + 3p)$$

lässt sich für  $\rho + 3p > 0$  (starke Energiebedingung) nicht erfüllen. Man beachte, dass für diese Schlussfolgerung keine Isotropie angenommen wurde.

Übungsaufgabe: Beweise diese Ergänzung ähnlich wie im 2. Beweis des obigen Satzes.

\* \* \*

## Anhang D. Kosmologische Singularitäten

Die Friedmann-Modelle haben alle Singularitäten in der Vergangenheit und für  $k=1$  auch in der Zukunft. Für diese homodynamischen Modelle ist das nicht erstaunlich. Interessant ist aber die Frage, ob dieses singuläre Verhalten generisch ist, ob also z.B. bei kleinen Abweichungen von der Homogenität und Isotropie die Singularitäten nicht verschwinden.

Die Singularitätstheoreme der ART zeigen, dass Singularitäten in kosmologischen Lösungen und beim Gravitationskollaps tabäddlich generisch auftreten, falls der Energie-Impulstensor physikalisch vernünftige Positivitätsbedingungen hat. Diese Theoreme machen allerdings über die physikalische Natur der Singularitäten keine näheren Aussagen. Sie sichern lediglich die Existenz von geodätisch unvollständigen Weltlinien.

### 1. Was ist eine Singularität?

Leider gibt es auf diese Frage keine allseitig befriedigende Antwort. Es ist aber üblich geworden, eine Raumzeit raumzeitlich geodätisch unvollständig zu nennen, wenn sie zeitlich oder lichtartig geodätisch unvollständig ist, d.h., wenn nicht jede zeitartige oder lichtartige geodätische Linie für beliebig große Affinparameter fortgesetzt werden kann. Dies ist natürlich nur eine interessante Eigenschaft, wenn die Raumzeit nicht ausdehnbar ist. Dann gibt es wenigstens ein Teilchen oder ein Photon, das nur für eine endliche "Zeit" existieren kann oder nur für eine endliche Zeit existiert hat. Dies kann aber physikalisch beliebig konstruiert

## Lösung der Übung in Anhang D

Wir konstruieren eine zeitartige Geodäte, bei der  $x+t$  nach endlicher Eigenzeit unendlich wird.

Sei  $u=t-x$ ,  $v=t+x$ , so wird die Lagrange-Funktion für die Bewegung

$$L = -\frac{h}{2} \dot{v}^2 + \dot{u}v.$$

Dann ist  $-\frac{h}{2} \dot{v}^2 + \dot{u}v = 1$ ,  $t = \frac{\partial L}{\partial \dot{v}} = h\dot{v} - u = \text{const.}$

Wir müssen also

$$\dot{u} = \sqrt{p^2 + 2h}, \quad \dot{v} = \frac{1}{h}(p + \dot{u}) = \frac{2}{u-p}$$

integrieren. Ist  $p^2 = \lambda$  wird

$$\dot{u} = p \cos^2 u \implies ps = \frac{1}{2} \ln u \implies \dot{u} = \frac{p}{p^2 s^2 + 1} \implies$$

$$\dot{v} = -\frac{2}{p} \left(1 + \frac{1}{p^2 s^2}\right) \implies v = -\frac{2s}{p} + \frac{2}{sp^3} + \text{const.}$$

Also wird  $v = t+x$  für  $s=0$  unendlich!

Ausdrückliche Erklärung: Bei geeigneter Anfangsbed. wird ein Teilchen wie bei einem Linearbeschleuniger von der Welle mitgespült und nähert sich Lichtgeschwindigkeit an. Dadurch vermindert seine Eigenzeit immer länger und kommt nie über einen endlichen Wert.



sein, wie etwa das folgende Beispiel zeigt. Die Lorentzmannigfaltigkeit  $(M, g)$  sei konform zum Minkowski-Raum  $(\mathbb{R}^4, \eta)$ , d.h.  $g = \Omega^2 \eta$ . Dabei wählen wir den konformen Faktor  $\Omega$  sphärisch symmetrisch. Ferner sei  $\Omega = 1$  für  $t > 1$  und  $\Omega(t=0, t)$  verschwinde für  $t \rightarrow \infty$  genügend rasch, dass die zeitartige Geodäte  $\{r=0\}$  unvollständig wird. Alle anderen Geodäten sind in diesem Beispiel vollständig!

Übungsaufgabe: Betrachte über  $\mathbb{R}^4$  die Metrik

$$g = \left(1 - \frac{h}{2}\right) dt^2 - \left(1 + \frac{h}{2}\right) dx^2 - h dx dt - (dy^2 + dz^2)$$

mit

$$h = \frac{\lambda}{2} [\cos^4(t-x) - 1], \quad \lambda \in (0, 2),$$

welche für kleine  $\lambda$  eine schwache Gravitationswelle darstellt, die über den flachen Raum verläuft. Zeige, dass diese Lorentzmannigfaltigkeit sogar für beliebig kleines  $\lambda$  nicht zeitartig vollständig ist.

## 2. Singularitätstheoreme

Im folgenden zitieren wir ohne Beweise einige Singularitätstheoreme. Eine gute Einführung in diesen Gegenstand, mit einer Darstellung der wesentlichen Beweisschritte, gibt [RW, Kap. 9]; für vollständige Beweise wird jeweils auf die entsprechenden Stellen in [HE] hingewiesen.

Eine wichtige Bedingung in diesen Theoremen betrifft die Größe  $\text{Ric}(u, u)$  für zeitartige normierte Vektoren  $u$  (in der Raychaudhuri-Gleichung (§. 28)). Aufgrund der Feld-

Gleichungen ist

$$\text{Ric}(u, u) = 8\pi G \left[ T(u, u) - \frac{1}{2} \text{Sp} T \right]. \quad (\Lambda = 0!)$$

Also ist  $\text{Ric}(u, u) \geq 0$  falls die sog. starke Energiebedingung

$$\boxed{T(u, u) \geq \frac{1}{2} \text{Sp} T} \quad (1)$$

erfüllt ist. Für makroskopische Materie ist dies eine sehr vernünftige Annahme. Um dies zu sehen, bemerken wir, dass sich die beiden symmetrischen Bilinearformen  $T$  und  $g$  generell simultan diagonalisieren lassen. Es gilt nämlich der Satz<sup>1)</sup>: Ist  $T(u, u) + g(u, u) \neq 0$  für  $u \neq 0$ , dann lassen sich  $T$  und  $g$  simultan diagonalisieren.

Da  $g$  ausserdem nichtentartet ist, gibt es dann eine Basis  $\{e_\mu\}$  mit  $g = e_0 \otimes e_0 - \sum_i e_i \otimes e_i$  und

$$(T(e_\mu, e_\nu)) = \begin{pmatrix} \rho & & & 0 \\ & p_1 & & \\ & & p_2 & \\ 0 & & & p_3 \end{pmatrix} \quad (2)$$

(vgl. Greub<sup>1)</sup>, p. 277f). Die starke Energiebedingung bedeutet für  $u = u^\mu e_\mu$ ,  $(u^0)^2 - \sum (u^i)^2 = 1$ ,

$$\underbrace{\rho (u^0)^2}_{1 + \sum (u^i)^2} + \sum p_i (u^i)^2 - \frac{1}{2} (\rho - \sum p_i) \geq 0,$$

oder

$$\frac{1}{2} (\rho + \sum p_i) + \sum (\rho + p_i) (u^i)^2 \geq 0 \text{ für alle } u^i.$$

Dies ist äquivalent zu

$$\rho + p_i \geq 0, \quad \rho + \sum p_i \geq 0, \quad (3)$$

<sup>1)</sup> Für einen Beweis siehe z.B. W. Greub: "Linear Algebra", Springer-Verlag, p. 273.

was erfüllt ist, falls  $\rho \geq 0$  und keine negativen Drücke (Spannungen) von der Grösse  $\rho$  existieren.

Wir zitieren nun zwei wichtige Singularitätstheoreme, welche wir anschliessend anwenden werden.

### Theorem 1 (Hawking und Penrose)

Es sei  $(M, g)$  eine Raumzeit - Mannigfaltigkeit, welche folgende Bedingungen erfüllt.

- (1)  $\text{Ric}(u, u) \geq 0$  für jeden nichtraumartigen Vektor  $u$ .  
(Dies ist erfüllt, wenn  $T$  der starken Energiebedingung genügt.)
- (2) Für jede zeitartige Geodäte gilt es wenigstens in einem Punkt  $R_{\mu\nu} u^\mu u^\nu \neq 0$ , wenn  $u$  den Tangentialvektor an die Geodäte bezeichnet und für Nullgeodäten gilt wenigstens in einem Punkt  $u_{[\alpha} R_{\beta\gamma]} u^\beta u^\gamma \neq 0$ .
- (3) Es gibt keine geschlossenen zeitartigen Kurven.
- (4) Wenigstens eine der folgenden drei Bedingungen ist erfüllt:
  - (i)  $(M, g)$  hat eine kompakte achronale<sup>2)</sup> Menge ohne Rand. [Diese Bedingung besagt, dass  $(M, g)$  ein geschlossenes Universum ist.]
  - (ii)  $(M, g)$  hat eine gefangene Fläche<sup>3)</sup>.
  - (iii) Es gibt einen Punkt  $p \in M$  derart, dass die Expansion der zukunftsgerichteten (oder vergangenheitsgerichteten) Nullgeodäten, welche von  $p$  ausgehen, längs jeder Geodäten dieser

Kongruenz negativ wird.

Unter diesen Bedingungen gibt es wenigstens eine unvollständige zeitartige oder lichtartige Geodäte.

### Theorem 2 (Hawking)

Es sei  $(M, g)$  eine stark kausale <sup>4)</sup> Raumzeit mit  $\text{Ric}(u, u) \geq 0$  für alle zeitartigen  $u$ . Ferner gebe es in einem Punkt  $p \in M$  einen vergangenheitsorientierten zeitartigen Einheitsvektor  $v$  und eine positive Konstante  $b$  derart, dass folgendes gilt: Ist  $u$  das tangente Einheitsfeld an alle vergangenheitsorientierten zeitartigen Geodäten durch  $p$ , dann wird auf jeder dieser Geodäten die Expansion  $\theta = \nabla \cdot u$  dieser geodätischen Schar kleiner als  $-3c/b$  innerhalb einer Distanz  $b/c$  von  $p$ , wobei  $c = (u, v)$  ist.

Unter diesen Voraussetzungen gibt es eine zeitartige oder lichtartige Geodäte durch  $p$ , welche vergangenheitsunvollständig ist.

2) Eine Menge  $S$  ist achronal, falls  $I^+(S) \cap S = \emptyset$ , wobei  $I^+(S)$  die chronologische Zukunft von  $S$  bezeichnet:

$$I^+(p) = \{ q \in M \mid \text{existiert zukunftsorientierte Kurve } \gamma \text{ mit } \gamma(0) = p, \gamma(1) = q \}$$

$$I^+(S) = \bigcup_{p \in S} I^+(p).$$

3) Dies ist eine kompakte zweidimensionale Untermannigfaltigkeit  $T$  mit der Eigenschaft, dass die Expansion  $\theta$  sowohl für die einlaufenden als auch für die auslaufenden zukunftsorientierten Nullgeodäten senkrecht zu  $T$  überall auf  $T$  negativ ist. (Für die Definition von  $\theta$  für Kongruenzen von Nullgeodäten, siehe z.B. [RW, S. 222].)

### 3. Anwendung der Singularitätstheorie auf die Kosmologie

Zunächst leiten wir eine hinreichende Bedingung ab, unter welcher die letzte Voraussetzung in Theorem 2 erfüllt ist.

Die Expansion  $\theta$  der vergangenheitsorientierten zeitartigen Geodäten durch  $p$  erfüllt die Raychaudhuri-Gleichung (B.28) mit  $\nabla_u u = 0$  und  $\omega_{\alpha\beta} = 0$ . Die (in  $p$  singuläre) geodätische Kongruenz ist lokal wirbelfrei, wie wir zunächst zeigen wollen. Zu diesem Zweck benötigen wir das folgende

Lemma 1: Die Kongruenz von zeitartigen Geodäten durch einen Punkt  $p \in M$  ist hyperflächorthogonal innerhalb einer konvexen normalen Umgebung von  $p$ . Die orthogonalen Hyperflächen haben konstanten geodätischen Abstand längs den Geodäten.

Beweis: Es sei  $X(t)$  eine Kurve in  $T_p(M)$  mit  $g(X(t), X(t)) = 1$ . Es genügt folgendes zu zeigen: Die Kurven  $\lambda(t) = \exp_p(s_0 X(t))$  ( $s_0 = \text{konst.}$ ) sind in einer Umgebung von  $p$  orthogonal zu den zeitartigen Geodäten  $\gamma(s) = \exp_p(s X(t_0))$  ( $t_0 = \text{konst.}$ ). Für die zweidimensionalen Flächen  $\alpha(s, t) = \exp_p(s X(t))$  ist also folgendes zu zeigen (vgl. Fig. 1):  $g(\alpha_{*} \frac{\partial}{\partial s}, \alpha_{*} \frac{\partial}{\partial t}) = 0$ .

4) Eine Raumzeit  $(M, g)$  ist stark kausal, falls es zu jedem  $p \in M$  und jeder Umgebung  $U$  von  $p$  eine Umgebung  $V$  von  $p$  gibt, welche in  $U$  enthalten ist und die Eigenschaft hat, dass keine kausale Kurve (nichttriviale Tangentialvektoren)  $V$  mehr als einmal schneidet.

Falls also die starke Kausalität bei  $p \in M$  verletzt ist, dann gibt es kausale Kurven in der Nähe von  $p$ , welche beliebig nahe zurückkommen.

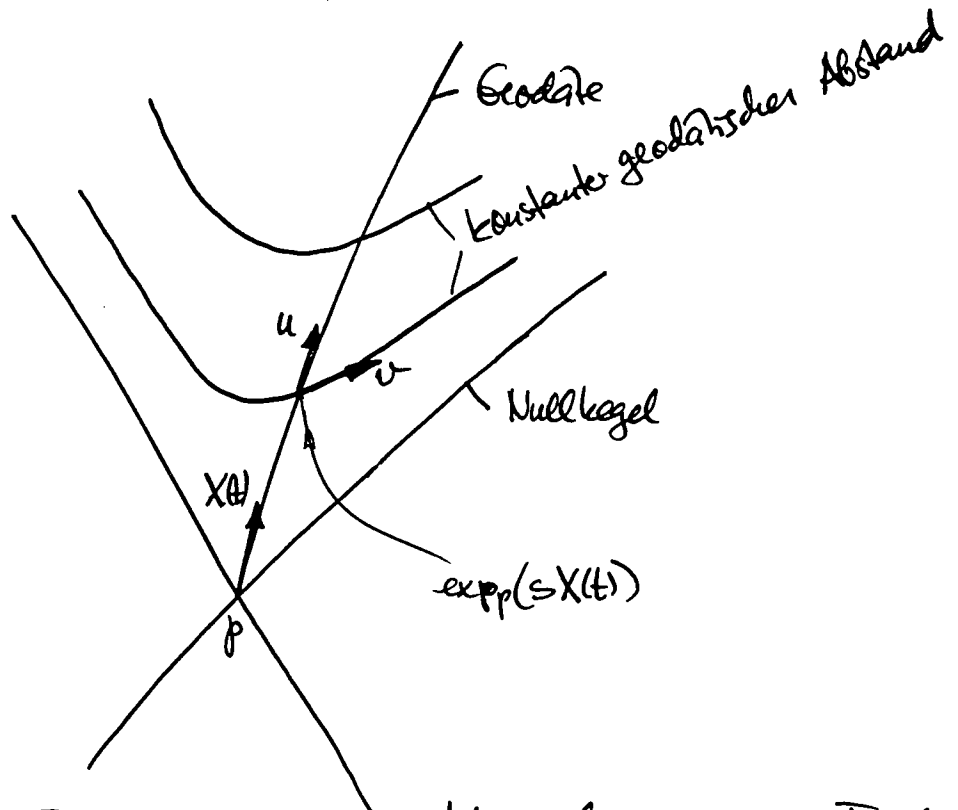


Fig. D1. In einer normalen Umgebung sind Flächen von konstantem Abstand von  $p$  orthogonal zu den Geodäten durch  $p$ .

Mit den Bezeichnungen  $u = \alpha_x \frac{\partial}{\partial s}$ ,  $v = \alpha_t \frac{\partial}{\partial t}$  ist  $[u, v] = 0$  und folglich  $\nabla_u v = \nabla_v u$ . Also gilt

$$u(u, v) = \underbrace{(\nabla_u u, v)}_0 + (u, \underbrace{\nabla_u v}_{\nabla_v u}) = \frac{1}{2} v(u, u) = 0.$$

Deshalb ist  $(u, v)$  unabhängig von  $s$ . Für  $s=0$  ist aber  $v=0$ . Dies zeigt, dass  $(u, v)$  identisch gleich Null ist.  $\square$

Nach (dem bivariaten Teil des Satzes von) Frobenius ist deshalb  $u^b \wedge du^b = 0$  und dies ist nach (B.20) äquivalent zu  $\omega_{\alpha\beta} = 0$ .

Aus der Raychaudhuri-Gleichung (B.28) folgt damit

$$\frac{d\theta}{d\tau} = -\text{Ric}(u, u) - \sigma_{\alpha\beta} \sigma^{\alpha\beta} - \frac{1}{3} \theta^2. \quad (4)$$

Nun sei  $\nu$ -wie in Theorem 2 - ein vergangenheitsorientierter Einheitsvektor in einem Punkt  $p$  und  $c = (v, u)$  (also  $c \geq 1$ ).

Die Bedingung  $\text{Ric}(u, u) \geq 0$  in (4) gibt

$$\frac{d\theta}{d\tau} + \frac{1}{3}\theta^2 \leq 0,$$

oder

$$-\frac{d}{d\tau}\left(\frac{1}{\theta}\right) + \frac{1}{3} \leq 0. \quad (5)$$

Diese Ungleichung integrieren wir zwischen  $\tau=0$  ( $p$ ) und  $\tau$ :

$$-\frac{1}{\theta(\tau)} + \frac{1}{\theta(0)} + \frac{1}{3}\tau \leq 0.$$

Nun repräsentiere  $p$  uns zur jetzigen Zeit. Da  $\theta(0) > 0$  ist, so folgt

$$\theta(\tau) \leq \frac{3}{\tau}. \quad (6)$$

Aus (4) entnehmen wir

$$\frac{d\theta}{d\tau} \leq -\text{Ric}(u, u). \quad (7)$$

Integration dieser Ungleichung zwischen  $\tau_0$  und  $\tau_1$  gibt

$$\theta(\tau_1) - \theta(\tau_0) \leq - \int_{\tau_0}^{\tau_1} \text{Ric}(u, u) d\tau.$$

Benutzen wir dazu (6) so  $\tau_0$  kommt

$$\theta(\tau_1) \leq \frac{3}{\tau_0} - \int_{\tau_0}^{\tau_1} \text{Ric}(u, u) d\tau. \quad (8)$$

Lemma 2: Die letzte Bedingung in Theorem 2 ist erfüllt, falls folgendes gilt: Es existieren  $R_0, R_1$ , und  $R_1 > R_0$ , derart, dass

$$\int_{R_0/c}^{R_1/c} \text{Ric}(u, u) d\tau > c \left( \frac{3}{R_0} + \varepsilon \right), \quad \varepsilon > 0. \quad (9)$$

Beweis: Aus (8) schliessen wir

$$\theta(R_1/c) \leq \frac{3}{R_0/c} - c \left( \frac{3}{R_0} + \varepsilon \right) < -\varepsilon c.$$

Daher also  $b = \text{Max}(R_1, \frac{3}{\varepsilon})$ , dann wird  $\theta$  innerhalb einer Distanz von weniger als  $b/c$  kleiner als  $-\varepsilon c/b$ .  $\square$

Wir schreiben die hinterbliebende Bedingung (9) noch etwas anders. Wählen wir als affinen Parameter  $\lambda = c\tau$  und sei  $K$  das zugehörige Tangentialfeld an die vergangenheitsorientierten Geodäten durch  $p$ ,  $K = \frac{1}{c}u$ , dann lautet (9)

$$\frac{1}{3} R_0 \int_{R_0}^{R_1} R_{\alpha\alpha}(K, K) d\lambda > 1 + \frac{1}{3} R_0 \varepsilon. \quad (10)$$

Beachte auch  $(K, v)_p = 1$ .

Nun zeigen wir, dass (10) für das Universum erfüllt ist, wenn dieses bis zurück zur Rekombinationszeit in guter Näherung durch ein Friedmann-Modell beschrieben werden kann.

Für ein Friedmann-Modell wählen wir  $v = -\frac{\partial}{\partial t}$ . Längs einer vergangenheitsorientierten Geodäten durch  $p$  gilt  $(\nabla_K K = 0)$

$$\frac{d}{d\lambda} (v, K) = (\nabla_K v, K).$$

Zur Bestimmung der rechten Seite benutzen wir § I.4. Es ist  $v = -e_0$  und

$$(\nabla_K v, K) = -(\nabla_K e_0, K) = -\underbrace{\omega_0^i(K)}_{\frac{\dot{a}}{a} K^i} (e_i, K) = -\frac{\dot{a}}{a} K^i K_i$$



-D10-

$$= -\frac{\dot{a}}{a} \left[ \underbrace{(k, k)}_{1/c^2} - \underbrace{(k_0)^2}_{(k, v)^2} \right] = \frac{\dot{a}}{a} \left[ (k, v)^2 - \frac{1}{c^2} \right],$$

d.h.

$$\frac{d}{d\lambda} (v, k) = \frac{\dot{a}}{a} \left[ (v, k)^2 - \frac{1}{c^2} \right].$$

Falls  $\dot{a} > 0$  folgt daraus  $(v, k) \gg 1$ . Damit gilt

$$(v, k) = - \langle dt, k \rangle = -kt = -\frac{dt}{d\lambda} > 1.$$

Folglich können wir (10) so schreiben:

$$\frac{1}{3} R_0 \int_{t(R_1)}^{t(R_0)} \text{Ric}(k, k) \frac{1}{(v, k)} dt > 1 + \frac{1}{3} R_0 \varepsilon.$$

Da

$$R_0 = \int_{t(R_0)}^{t_p} \frac{1}{(v, k)} dt \geq t_p - t(R_0)$$

ist also (10) erfüllt, falls  $t_2, t_3$  existieren, mit  $t_2 < t_3 < t_p$  (Zeit von  $p$ ), so dass gilt

$$\frac{t_p - t_3}{3} \int_{t_2}^{t_3} \text{Ric}(k, k) \frac{1}{(v, k)} dt > 1. \quad (11)$$

Aufgrund der Feldgleichungen (mit  $\Lambda = 0$ ) ist

$$\text{Ric}(k, k) = 8\pi G \left[ T(k, k) - \frac{1}{2} \frac{1}{c^2} \text{Sp} T \right].$$

Aus

$$T = \rho \theta^0 \otimes \theta^0 + p (\theta^1 \otimes \theta^1 + \theta^2 \otimes \theta^2 + \theta^3 \otimes \theta^3)$$

folgt

$$T(k, k) = \rho (v, k)^2 + p \underbrace{\sum (k_i)^2}_{-(k, k) + (k, v)^2} = (\rho + p)(v, k)^2 - p/c^2$$

und  $\text{Sp} T = \rho - 3p$ .

Folglich ist

$$R_c(k, k) = 8\pi G \left[ (\rho + p)(v, k)^2 - \frac{1}{2}(\rho - p)/c^2 \right] \quad (12)$$

Falls also  $p \geq 0$  gilt

$$R_c(k, k) \geq 4\pi G \rho (v, k)^2. \quad (13)$$

Deshalb ist (11) erfüllt, falls  $[da(v, k) \geq 1]$

$$\boxed{\frac{t_p - t_3}{3} \int_{t_2}^{t_3} 4\pi G \rho dt > 1.} \quad (14)$$

### Diskussion von (14)

Wir zeigen nun, dass diese Bedingung für das beobachtete Universum erfüllt ist, wobei wir  $t_2$  und  $t_3$  grösser als die Rekombinationszeit  $t_R$  wählen können.

Wie in Kap. III ausführlich diskutiert wurde, entkoppelt sich die Strahlung von der Materie bei einer Temperatur  $T_R \approx 4000$  K. Bei etwa der gleichen Temperatur beginnt auch die Materie über die Strahlung zu dominieren. Für die Berechnung der linken Seite von (14) können wir deshalb die Formeln von § II.1 verwenden:

$$\rho(t)/\rho_0 = \left(\frac{a}{a_0}\right)^{-3},$$

$$dt = \frac{1}{H_0} \left[ 1 - \Omega_0 + \Omega_0 \frac{a_0}{a} \right]^{-1/2} \frac{da}{a_0}.$$

Mit  $x(t) = a(t)/a_0 = (1+z)^{-1}$  gilt also

$$\int_{t_2}^{t_3} \rho dt = \frac{\rho_0}{H_0} \int_{a(t_2)/a_0}^{a(t_3)/a_0} x^{-3} \left[ 1 - \Omega_0 + \Omega_0/x \right]^{-1/2} dx,$$

sowie

$$t_0 - t_3 = \frac{1}{H_0} \int_{a(t_3)/a_0}^1 [1 - \Omega_0 + \Omega_0/x]^{-1/2} dx.$$

Die Ungleichung (14) lautet deshalb

$$\underbrace{\frac{4\pi G}{3} \frac{\rho_0}{H_0^2}}_{\Omega_0/2} \int_{x_3}^1 [1 - \Omega_0 + \frac{\Omega_0}{x}]^{-1/2} dx \int_{x_2}^{x_3} x^{-3} [1 - \Omega_0 + \frac{\Omega_0}{x}]^{-1/2} dx > 1$$

Zur Illustration betrachten wir den Fall  $\Omega_0 = 1$  (Einstein-de Sitter Universum). Wählen wir als Beispiel  $x_3 = \frac{1}{2}$ , so ergibt sich für  $x_2$  die Bedingung

$$\frac{1}{2} [1 - (\frac{1}{2})^{3/2}] [(x_2)^{-3/2} - (\frac{1}{2})^{-3/2}] > 1,$$

d.h.  $x_2 < 0.3$ , oder  $z_2 > 2.3$ . Dies zeigt, dass (14) auf alle Fälle für  $z_3 < z_2 < z_R$  erfüllt werden kann.

Eine etwas andere Betrachtung verläuft folgendermaßen. Da die 3K-Strahlung thermalisiert ist, muss die optische Tiefe der "kosmischen Photosphäre" mindestens 1 sein.

Nun ist die optische Tiefe von jetzt ( $t_0$ ) bis zurück zur Zeit  $t$

$$\tau(t) = \int_t^{t_0} \kappa \rho_{\text{gas}} dt. \quad (15)$$

Der wichtigste Beitrag zur Opazität  $\kappa$  kommt von der Thomson-Streuung an intergalaktischen oder prägalaktischen freien Elektronen (vgl. § III.1). Sehen wir die Dichte der freien Elektronen

$$n_e(t) = x \frac{\rho(t)}{m_H}, \quad x < 1,$$

so ist ( $G=C=1$ )

$$\chi = \chi G_T / \mu_H \leq \frac{6.65}{1.24} \times 10^{27} \text{ cm}, \quad (16)$$

also

$$\pi(t) \leq \frac{6.65}{1.24} \times 10^{27} \int_t^{t_0} \rho dt \quad (17)$$

( $\rho$  in  $g/cm^3$  und  $t$  in  $cm$ ). Da die Galaxien mit Rotverschiebungen bis zu mindestens 0.3 – entsprechend einer Distanz von etwa  $3 \times 10^{27} cm$  – sehen, muss der Hauptteil zur optischen Tiefe von grösseren Rotverschiebungen herühren. Wir setzen deshalb  $t_3 = t_0 - 3 \times 10^{27}$ , d.h.  $(t_0 - t_3)/3 = 10^{27} cm$ . Damit können wir die linke Seite von (14) folgendermassen abschätzen

$$\begin{aligned} 4\pi \frac{t_0 - t_3}{3} \int_{t_2}^{t_3} \rho dt &= 4\pi \times 10^{27} \int_{t_2}^{t_3} \rho dt \geq 4\pi \times 10^{27} \frac{1.24}{6.65} \times 10^{-27} \pi(t_2) \\ &\geq 2 \pi(t_2). \end{aligned}$$

Die Ungleichung (14) ist also erfüllt falls  $\pi(t_2) \geq 0.5$  ist.

Mit Hilfe des Theorems 2 können wir also schliessen, dass das Universum in der Vergangenheit eine "Singularität" hatte.

Auf eine Singularität in der Vergangenheit oder in der Zukunft kann auch mit Hilfe des Theorems 1 geschlossen werden. Dies wird in [HE, §10.1] angeführt.

\* \* \*

## Anhang E. Strahlungstransport

In diesem Anhang entwickeln wir Grundlegendes zum Strahlungstransport und geben am Schluss weiterführende Literaturhinweise. (Einheiten:  $\hbar = c = k = 1$ )

### 1. Transportgleichung

Es sei  $f(\underline{x}, \underline{k}, t)$  die Verteilungsfunktion der Photonen, d.h.

$$dN = f(\underline{x}, \underline{k}, t) d^3x \frac{2d^3k}{(2\pi)^3} \quad (1)$$

sei die Zahl der Photonen im Phasenraumelement  $d^3x d^3k$  um  $(\underline{x}, \underline{k})$  beider Polarisierungen. (Wir nehmen an, die Strahlung sei unpolariert.) Der Zusammenhang mit der Intensität  $I(\underline{k}) \equiv I(\omega, \underline{n})$ ,  $\underline{n} = \hat{\underline{k}}$ , der Strahlung ergibt sich aus

$$I(\omega, \underline{n}) d\omega d\Omega = \omega f \frac{2}{(2\pi)^3} k^2 dk d\Omega$$

zu

$$I(\omega, \underline{n}) = \frac{2\omega^3}{(2\pi)^3} f(\underline{k}). \quad (2)$$

Da der Photonimpuls nur bei Wechselwirkung (Streuung) ändern kann, hat die Boltzmann-Gleichung für  $f$  die folgende Form ( $D_t := \partial_t + \underline{k} \cdot \nabla_{\underline{x}}$ ):

$$D_t f = \underbrace{-\Lambda(\omega) f}_{\text{Absorption}} + \underbrace{\tilde{\Gamma}(\omega)(1+f)}_{\text{spontane + stimulierte Emission}} + \left(\frac{df}{dt}\right)_{\text{Streuung}} \quad (3)$$

Das relative Gewicht der spontanen und induzierten Emissionsanteile ist ein Ausdruck einer Einstein-Relation<sup>1)</sup>. Für den Faktor  $(1+f)$  ist natürlich die Normierung von  $f$  in (1) (Besetzungszahlen im  $k$ -Raum) wichtig.

Die 2. Einstein-Beziehung zwischen  $\Lambda(\omega)$  und  $\Gamma(\omega)$  folgt aus der Zeitumkehr-Invarianz. Betrachten wir Strahlungsübergänge zwischen zwei Zuständen  $\alpha$  und  $\beta$  eines Atoms (Moleküls). Die Matrixelemente für die Emission und für die Absorption sind dem Betrage nach aufgrund der T-Invarianz gleich.<sup>1)</sup>

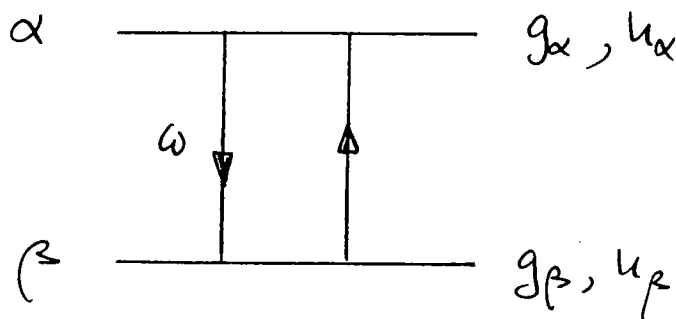


Fig. H.1 . Emission und Absorption zwischen zwei Zuständen

Sind die Zustände  $\alpha$  und  $\beta$  entartet (Entartungsgrade  $g_\alpha, g_\beta$ ) und sind  $u_\alpha, u_\beta$  die Anzahl dichten der Atome in den Zuständen  $\alpha$  und  $\beta$ , so gilt infolgedessen

$$\frac{\tilde{\Gamma}(\omega)}{\Lambda(\omega)} = \frac{u_\alpha/g_\alpha}{u_\beta/g_\beta} \quad (4)$$

( $\alpha$  ist das obere Niveau; siehe Fig. 1). Für lokales thermisches

1) Für Einzelheiten siehe z.B. das QM II-Skript, Kap. X, oder Landau-Lifshitz, Bd. 4, Kap. V.

Gleichgewicht der Atome (LTE) ist nach Boltzmann

$$\frac{u_\alpha/g_\alpha}{u_\beta/g_\beta} = e^{-\omega/T} \quad (5)$$

Dann wird aus der Einstein-Beziehung (4)

$$\frac{\tilde{\Gamma}(\omega)}{\Lambda(\omega)} = e^{-\omega/T} \quad (6)$$

Lassen wir im Moment in (3) noch die Streuung weg, so gilt also

$$D_t f = -\alpha(\omega) f + \tilde{\Gamma}(\omega) \quad (7)$$

wobei der Absorptionskoeffizient  $\alpha(\omega)$  gegeben ist durch

$$\alpha(\omega) = \Lambda(\omega) \left( 1 - \frac{u_\alpha/g_\alpha}{u_\beta/g_\beta} \right) \quad (8)$$

( $\Rightarrow$  Laseraktivität bei Popul.-Inversion)  
 "virtuelle" Absorption  $\leftarrow$  Stimulierte Emission  
 Für LTE gilt speziell

$$\alpha(\omega) = \Lambda(\omega) (1 - e^{-\omega/T}) \quad (9)$$

Zur Kontrolle beobachten wir noch das thermodyn. Gleichgewicht. Dann ist  $D_t f = 0$  und aus (7), (9) und (6) folgt

$$f = \frac{\tilde{\Gamma}(\omega)}{\alpha(\omega)} = \frac{e^{-\omega/T}}{1 - e^{-\omega/T}} = \frac{1}{e^{\omega/T} - 1} \quad (10)$$

wie es sein soll.

Wir schreiben nun noch (7) auf die Intensität um.  
 Mit (2) ergibt sich

$$\boxed{\dot{I} = -\alpha(\omega) I + j(\omega)}, \quad (11)$$

wobei der Emissionskoeffizient  $j(\omega)$  mit der spontanen Emissionsrate  $\Gamma(\omega)$  folgendermaßen zusammenhängt:

$$j(\omega) = \frac{2\omega^3}{(2\pi)^3} \tilde{\Gamma}(\omega). \quad (12)$$

(11) ist die gebündelte Form der Strahlungsaus-  
tauschgleichung.

Wir schreiben (4) und (6) noch auf  $\alpha(\omega)$  und  $j(\omega)$  um:

$$\left| \frac{j(\omega)}{\alpha(\omega)} \stackrel{(12), (8), (4)}{=} \frac{2\omega^3}{(2\pi)^3} \frac{1}{\frac{n_\beta/g_\beta}{n_\alpha/g_\alpha} - 1} \stackrel{(LTE)}{=} \frac{1}{(2\pi)^3} \frac{2\omega^3}{e^{\omega/T} - 1} \equiv B_\omega(T). \quad (13)$$

Dies ist das (verallgemeinerte) Kirchhoff-Gesetz.

Aus (13) und (8) folgt auch

$$\frac{j(\omega)}{\Lambda(\omega)} = \frac{2\omega^3}{(2\pi)^3} \frac{n_\alpha/g_\alpha}{n_\beta/g_\beta} \stackrel{(LTE)}{=} \frac{2\omega^3}{(2\pi)^3} e^{-\omega/T}. \quad (14)$$

Nach (11) ist die spontan emittierte Energie  $dE$  in  $dV dt d\Omega d\omega$  gleich  $j(\omega) dV dt d\Omega d\omega$  und deshalb ist nach (12) die Zahl der spontan emittierten Photonen in  $dV dt d\Omega d\omega$  gleich  $[\frac{2\omega^2}{(2\pi)^3}] \tilde{\Gamma}(\omega) dV dt d\Omega d\omega$ . Dabei beruht der Faktor  $2\omega^2/(2\pi)^3$  auf der Beziehung (1), da danach  $dN = \int d^3x [\frac{2\omega^2}{(2\pi)^3}] d\omega d\Omega$  ist. Die spektrale Emissionsrate  $\Gamma(\omega)$  pro Volumen und Raumwinkel ist also

$$\Gamma(\omega) = \frac{2\omega^2}{(2\pi)^3} \tilde{\Gamma}(\omega) = j(\omega)/\omega. \quad (15)$$



Nach (4) gilt

$$\frac{\Gamma(\omega)}{\Lambda(\omega)} = \frac{2\omega^2}{(2\pi)^3} \frac{n_\alpha/g_\alpha}{n_\beta/g_\beta} \stackrel{\text{LTE}}{=} \frac{2\omega^2}{(2\pi)^3} e^{-\omega/T} \quad (16)$$

Die grundlegende Gl. (11) kann man im LTE nach (13) auch so schreiben:

$$\mathcal{D}_t I = -\alpha(\omega) (I - B_\omega(T)) \quad (17)$$

Wir betrachten nun auch noch den Beitrag  $\left(\frac{df}{dt}\right)_{\text{Steu.}}$  in (3). Dabei nehmen wir der Einfachheit halber an, dass bei der Streuung keine Frequenzänderung stattfindet (Bsp. Thomson-Streuung). (Für Verallgemeinerungen siehe [WS2, p. 216]). Bezeichnet  $n_s$  die Anzahldichte der Streuzentren und  $\sigma(\underline{k}, \underline{k}')$  den Streuquerschnitt für die elastische Streuung  $\underline{k} \rightarrow \underline{k}'$ , so ist

$$\left(\frac{df}{dt}\right)_{\text{Steu.}} = n_s \int \sigma_s(\underline{k}', \underline{k}) f(\underline{k}') d\Omega_{\underline{k}'} - n_s \int \sigma_s(\underline{k}, \underline{k}') f(\underline{k}) d\Omega_{\underline{k}} \quad (18)$$

Eigentlich müsste man auch die induzierte Streuung mitnehmen:

$$\left(\frac{df}{dt}\right)_{\text{Stu.}} = n_s \left\{ \int \sigma_s(\underline{k}', \underline{k}) f(\underline{k}') (1+f(\underline{k})) d\Omega_{\underline{k}'} - \int \sigma_s(\underline{k}, \underline{k}') f(\underline{k}) (1+f(\underline{k}')) d\Omega_{\underline{k}'} \right\}$$

Aufgrund der T-Invarianz,

$$\sigma_s(\underline{k}, \underline{k}') = \sigma_s(\underline{k}', \underline{k})$$

heben sich aber die induzierten Terme bei Streuung ohne Frequenzänderung weg. (Im allgemeinen ist dies aber nicht der Fall.)

Wir setzen

$$\sigma_s(\underline{k}, \underline{k}') = \sigma_s(\omega) p(n, n'), \quad (19)$$

mit

$$p(\underline{n}, \underline{n}') = p(\underline{n}', \underline{n}), \quad \int p(\underline{n}, \underline{n}') d\Omega_{\underline{n}'} = 1. \quad (20)$$

Dann ist  $\sigma_s(\omega)$  der gesamte Streuquerschnitt. Für elastische Streuung erhalten wir also

$$\left( \frac{df}{dt} \right)_{\text{Streuung}} = -n_s \sigma_s(\omega) \left[ f(\omega, \underline{n}) - \int p(\underline{n}', \underline{n}) f(\omega, \underline{n}') d\Omega_{\underline{n}'} \right]. \quad (21)$$

Wir führen auch den Absorptionsquerschnitt ein durch

$$\Lambda(\omega) = n_a \sigma_a(\omega), \quad (22)$$

wo  $n_a$  die Teilchenzahldichte der Absorber ist. Dann ist nach (9) für LTE

$$\alpha(\omega) = n_a \sigma_a(\omega) (1 - e^{-\omega/T}). \quad (23)$$

Mit (21) lautet nun die Verallgemeinerung von (11) mit (23)

$$\left[ \begin{aligned} D_t I &= -n_a \sigma_a(\omega) (1 - e^{-\omega/T}) [I - B_\omega(T)] \\ &\quad - n_s \sigma_s(\omega) \left[ I - \int p(\underline{n}', \underline{n}) I(\omega, \underline{n}') d\Omega_{\underline{n}'} \right], \end{aligned} \right. \quad (24)$$

wobei nach (13) verwendet wurde. Definieren wir den effektiven Absorptionskoeffizienten  $\alpha_e(\omega)$  durch

$$\alpha_e(\omega) = \alpha(\omega) + n_s \sigma_s(\omega) = n_a \sigma_a(\omega) (1 - e^{-\omega/T}) + n_s \sigma_s(\omega) \quad (25)$$

und die effektive Emissivität gemäß

$$\begin{aligned} j_e(\omega) &= j(\omega) + n_s \sigma_s(\omega) \int p(\underline{n}', \underline{n}) I(\omega, \underline{n}') d\Omega_{\underline{n}'} \\ &= n_a \sigma_a(\omega) e^{-\omega/T} \frac{2\omega^3}{(2\pi)^3} + n_s \sigma_s(\omega) \int p(\underline{n}', \underline{n}) I(\omega, \underline{n}') d\Omega_{\underline{n}'} \end{aligned} \quad (26)$$

wobei wir in der 2. Zeile (14) und (22) verwendet haben, so können wir für (24) auch schreiben

$$\mathcal{D}_t I = -\alpha_e(\omega) I + j_e(\omega). \quad (22)$$

Ist speziell I isotrop, so haben sich rechts in (22) nach (24) und (26) die Streutermine erwartungsgemäß weg.

## 2. Thermische Bremsstrahlung

Wir bestimmen zunächst den Wirkungsquerschnitt für Bremsstrahlung:



Mit den Notationen in Fig. hat dieser die allgemeine Form<sup>\*)</sup>:

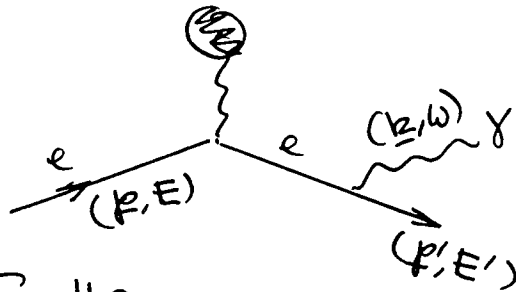


Fig. #2.

$$d\sigma = \frac{e^2 \omega}{2\pi (2\pi)^3 m c^3} |M|^2 d\Omega_{\underline{k}} d^3 p' \quad (28)$$

mit

$$M = \langle p'_{out} | e^{-i\mathbf{k} \cdot \mathbf{x}} \underline{\epsilon}(\mathbf{k}, \lambda) \cdot \mathbf{p}_{op} | p_{in} \rangle \quad (29)$$

Hier sind  $|p\rangle_{in}$  und  $|p'\rangle_{out}$  die Grenzstände des Elektrons im Coulombfeld des Ions  $(Z, A)$ . Sie sind so zu normieren,

<sup>\*)</sup> Siehe QM II - Skript, p. 68; oder Landau-Lifshitz, Bd. 4 Kap. V.

dass  $\langle p' | p \rangle = (2\pi)^3 \delta^3(p' - p)$  ist.

In der Dipolnäherung könnte man das Matrixelement (29) für die exakten Wellenfunktionen berechnen (siehe Landau-Lifshitz, Bd 4, p. 391). Wir führen hier die Bornsche Näherung - ohne Dipolapproximation - vor. Dazu benutzen wir die Lippman-Schwinger Gleichung (siehe QM I-Skript, § 37.4):

$$|p\rangle_{in} = |p\rangle + \frac{1}{E(p) - H_0 + i\epsilon} U |p\rangle_{in} \quad (30a)$$

$$|p'\rangle_{out} = |p'\rangle + \frac{1}{E(p') - H_0 - i\epsilon} U |p'\rangle_{out}, \quad (30b)$$

wobei

$$U(x) = -\frac{Ze^2}{|x|}, \quad |p\rangle = e^{i\mathbf{p}\cdot\mathbf{x}}, \quad (31)$$

$H_0$ : kinetische Energie.

Damit gilt bis zur 1. Ordnung in  $U$ :

$$M = \langle p' | V \frac{1}{E(p) - H_0 + i\epsilon} U |p\rangle + \langle p' | U \frac{1}{E(p') - H_0 + i\epsilon} V |p\rangle, \quad (32)$$

wobei

$$V = e^{-i\mathbf{k}\cdot\mathbf{x}} \underbrace{\epsilon(\mathbf{k}, \lambda)}_{-i\nabla_x} \cdot \mathbf{p}^{op}. \quad (33)$$

Nun führen wir Zwischenzustände  $|p_1\rangle$  ein und beachten

$$\begin{aligned} \langle p_1 | V | p \rangle &= \int d^3x e^{-i\mathbf{p}_1\cdot\mathbf{x}} e^{-i\mathbf{k}\cdot\mathbf{x}} (-i\nabla) \cdot \underline{\epsilon} e^{i\mathbf{p}\cdot\mathbf{x}} \\ &= \mathbf{p} \cdot \underline{\epsilon} (2\pi)^3 \delta^3(\mathbf{p}_1 + \mathbf{k} - \mathbf{p}) \end{aligned} \quad (34)$$

$$\langle p_1 | U | p \rangle = \hat{U}(\mathbf{p}_1 - \mathbf{p}) = -4\pi \frac{Ze^2}{|\mathbf{p}_1 - \mathbf{p}|^2}. \quad (35)$$

( $\hat{U}$  ist die Fouriersumme von  $U$ ).

- E 9 -

Dies gibt

$$\begin{aligned}
 M &= \int \frac{d^3 p_1}{(2\pi)^3} \left\{ \langle p' | V | p_1 \rangle \frac{1}{E(p) - E(p_1) + i\epsilon} \langle p_1 | U | p \rangle + \right. \\
 &\quad \left. \langle p' | U | p_1 \rangle \frac{1}{E(p') - E(p_1) + i\epsilon} \langle p_1 | V | p \rangle \right\} \\
 &= \frac{(p' + \underline{k}) \cdot \underline{\epsilon} \hat{U}(p' - p + \underline{k})}{E(p) - E(p' + \underline{k}) + i\epsilon} + \frac{p \cdot \underline{\epsilon} \hat{U}(p' - p + \underline{k})}{E(p') - E(p - \underline{k}) + i\epsilon}. \quad (36)
 \end{aligned}$$

Die beiden Terme entsprechen den folgenden zwei Diagrammen:

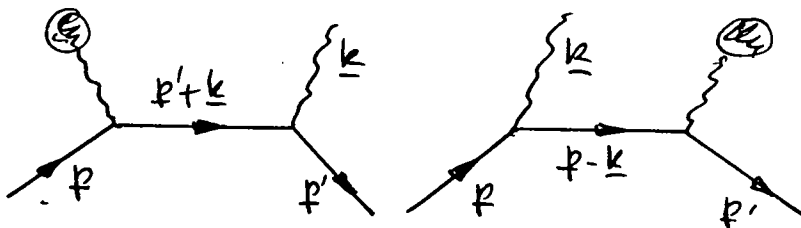


Fig. H3

Nun gilt

$$E(p) - E(p' + \underline{k}) = \frac{p^2}{2m} - \frac{(p' + \underline{k})^2}{2m} = E(p) - E(p') - \frac{p' \cdot \underline{k}}{m} - \frac{\omega^2}{2m}.$$

Mit der Energieerhaltung  $E(p') + \omega = E(p)$  gibt dies

$$E(p) - E(p' + \underline{k}) = \omega - \frac{p' \cdot \underline{k}}{m} - \frac{\omega^2}{2m} = \omega \left[ 1 + \mathcal{O}\left(\frac{\omega}{m}, \frac{v}{c}\right) \right];$$

ebenso

$$E(p') - E(p - \underline{k}) = -\omega \left[ 1 + \mathcal{O}\left(\frac{\omega}{m}, \frac{v}{c}\right) \right]. \quad (37)$$

Da  $\omega = p^2/2m - p'^2/2m = (p - p') \cdot \frac{p + p'}{2m} \ll |p - p'|$ , können wir  $\underline{k}$  in den Argumenten von  $\hat{U}$  im nichtrelativistischen Bereich in (36) vernachlässigen. Damit erhalten wir in anstehender Näherung

$$M = \frac{4\pi Z e^2}{|p - p'|^2} \frac{1}{\omega} (p' - p) \cdot \underline{\epsilon}(\underline{k}, \lambda) \quad (38)$$

und daraus

- E10 -

$$\sum_{p \neq p'} |M|^2 = (4\pi Z e^2)^2 \frac{1}{|p' - p|^2} \frac{2}{3\omega^2},$$

wobei wir noch über die Richtungen von  $\underline{k}$  gemittelt haben, da ausdifferenzierend über  $d\Omega_{\underline{k}}$  integriert wird. Damit erhalten wir aus (28)

$$d\sigma = 4\pi \frac{2}{3} (4\pi Z e^2)^2 \frac{1}{|p' - p|^2} \frac{1}{\omega^2} \frac{e^2 \omega}{2\pi (2\pi)^3 v p} \underbrace{p'^2 dp' d\Omega_{p'}}_{p' u d\omega}.$$

Die Integration über  $d\Omega_{p'}$  gibt

$$\int \frac{1}{|p' - p|^2} d\Omega_{p'} = \frac{2\pi}{p p'} \ln \frac{p + p'}{p - p'}.$$

Damit

$$\frac{d\sigma}{d\omega} = \frac{16}{3} Z^2 \alpha^2 r_0^2 \frac{c^2}{v^2} \ln \left( \frac{v + v'}{v - v'} \right) \frac{1}{\omega} \quad (39)$$

( $r_0$ : klassischer Elektronenradius). Dies schreiben wir in der gebändelerten Form

$$\boxed{\frac{d\sigma}{d\omega} = \frac{16\pi}{3\sqrt{3}} \frac{\alpha c^2}{v^2} \frac{Z^2 r_0^2}{2} G(\nu, \nu'),} \quad (40)$$

mit dem sog. Gaunt-Faktor

$$G(\nu, \nu') = \frac{\sqrt{3}}{\pi} \ln \left[ \frac{\frac{1}{2} m_e (v_i + v_f)}{h\nu} \right] \quad (41)$$

$$(v_i = \nu, \frac{1}{2} m_e v_f^2 = \frac{1}{2} m_e v_i^2 - h\nu).$$

In Bereichen, wo die Bornsche Näherung nicht gut ist, schreibt man den Querschnitt immer noch in der Form (39), nur ist dann der Gaunt-Faktor komplizierter (siehe Formel (90.15) in Landau-Lifshitz, Bd. 4).

Nun betrachten wir die Abstrahlung in einem thermischen Plasma. Die spektrale Abstrahlung pro Volumen- und Zeiteinheit ist ( $n_i$ : Anzahldichte der Ionen,  $n_e$ : Anzahldichte der Elektronen).

$$\begin{aligned} \epsilon_{\nu} &= n_i \int n_e \left( \frac{m_e}{2\pi kT} \right)^{3/2} e^{-m_e v^2 / 2kT} 4\pi v^2 dv \left( v \cdot \frac{d\sigma}{d\Omega} \right) h\nu \\ &= 2\pi \cdot 4\pi n_i n_e \frac{16\pi}{3\sqrt{3}} \frac{Z^2 e^2}{c} \left( \frac{e^2}{m_e c^2} \right)^2 c^2 \left( \frac{m_e}{2\pi kT} \right)^{3/2} \\ &\quad \cdot \int_0^{\infty} dv v e^{-m_e v^2 / 2kT} G(\nu, v) \end{aligned}$$

Sei  $y = \frac{m_e v^2}{2} - h\nu \rightarrow v = \sqrt{\frac{2(ykT + h\nu)}{m_e}}$

$$dy = \frac{m_e v dv}{kT},$$

dann ergibt sich mit der Abkürzung (gemittelter Gesamt-Faktor)

$$\bar{G}(\nu, T) = \int_0^{\infty} e^{-y} G(\nu, v = \sqrt{\frac{2(ykT + h\nu)}{m_e}}) dy \quad (42)$$

$$\begin{aligned} \epsilon_{\nu} &= \frac{2^5 \pi e^6}{3 m_e c^3} \left( \frac{2\pi}{3k m_e T} \right)^{1/2} Z^2 n_e n_i e^{-h\nu/kT} \bar{G}(\nu, T) \\ &= (6.8 \times 10^{-38} \text{ erg s}^{-1} \text{ cm}^{-3} \text{ Hz}^{-1}) Z^2 n_e n_i T^{-1/2} e^{-h\nu/kT} \bar{G}(\nu, T). \end{aligned} \quad (43)$$

Die gesamte Abstrahlung ist nach  $\nu$ -Integration

$$\begin{aligned} \epsilon &= \left( \frac{2\pi kT}{3m} \right)^{1/2} \frac{2^5 \pi e^6}{3h m_e c^3} Z^2 n_e n_i \bar{G}(T) \\ &= (1.4 \times 10^{-27} \text{ erg s}^{-1} \text{ cm}^{-3}) T^{1/2} n_e n_i Z^2 \bar{G}(T), \end{aligned} \quad (44)$$

mit  $\bar{G}(T) = \int_0^{\infty} \bar{G}(\nu = xkT/h, T) e^{-x} dx \quad (45)$

Für die gemittelten Gaunt-Faktoren existieren Kurven und Tabellen, z.B. in:

W. Karzas, R. Latter, *Ap. J. Suppl.*, 6, 167 (1961).

Im allgemeinen ist  $\bar{G}$  nahe bei Eins und kann deshalb für grobe Rechnungen gleich Eins gesetzt werden.

Zum Schluss geben wir noch einige Literaturhinweise.

- Verschiedene Strahlungsprozesse werden im folgenden Buch ausführlich behandelt

G. B. Rybicki, A. P. Lightman: "Radiative Processes in Astrophysics", Wiley 1979.

- Speziell für Synchrotronstrahlung ist das folgende Buch sehr nützlich:

A. G. Padolcnyk: "Radio Astrophysics", Freeman 1970.

- Für formale Aspekte und Lösungsmethoden der Transportgleichungen gibt es das klassische Buch

S. Chandrasekhar: "Radiative Transfer", Dover 1960.

- Der Strahlungstransport im Sterninneren und die Opazitäten von Sternmaterie werden auch in den Astrophysikbüchern des Literaturverzeichnis behandelt.



## Anhang F. Der Sunyaev-Zel'dovich Effekt

Derbe Galaxienhaufen haben grosse Mengen eines heissen ( $T_e \sim 10^8 \text{ K}$ ) verdünnten ( $n_e \sim 10^{-2} \div 10^{-3} \text{ cm}^{-3}$ ) intergalaktischen Gases, welches mit Röntgensatelliten entdeckt wurde. Die beobachtete Röntgenstrahlung entsteht durch Bremsstrahlung der Elektronen dieses Plasmas. Im Anhang H wird gezeigt, dass die spektrale Abstrahlung pro Volumeneinheit gegeben ist durch

$$E_{\nu}^{\text{ff}} = (6.8 \times 10^{-38} \text{ erg s}^{-1} \text{ cm}^{-3} \text{ Hz}^{-1}) Z^2 n_i n_e T_e^{-1/2} \times e^{-h\nu/kT_e} \bar{g}_{\text{ff}}(z, T), \quad (1)$$

wobei  $\bar{g}_{\text{ff}}$  den Gaunt-Faktor ( $\sim 1$ ) bezeichnet.

Das Plasma ist optisch dünn (optische Tiefe  $\ll 1$ ) und deshalb ist die Oberflächenhelligkeit der Röntgenstrahlung proportional zum effektiven Radius  $R$  der Wolke

$$I_X = \text{const } R n_e^2 T_e^{-1/2} e^{-h\nu/kT_e} \bar{g}_{\text{ff}}. \quad (2)$$

Aus der spektralen Verteilung der beobachteten Strahlung kann man grundsätzlich die Elektronentemperatur  $T_e$  bestimmen und damit wäre es möglich, das Produkt  $R n_e^2$  festzulegen.

Eine andere Kombination von  $R$  und  $n_e$ , nämlich  $R n_e$ , lässt sich wahrscheinlich mit Zu-

künftigen Präzisionsmessungen der Strahlungstemperatur der Hintergrundstrahlung in Richtung dieser Wellen gewonnen. Beim Durchgang der  $3K$ -Strahlung durch die heißen intergalaktischen Wellen in Galaxienhaufen werden nämlich die Photonen durch "inverse Comptonstreuung" an den Elektronen im Mittel energiereicher und aus der Deformation des ursprünglichen Planck'schen Spektrums lässt sich, wie wir nun zeigen wollen, prinzipiell  $u_e R$  bestimmen. Damit würden wir dann aber die physikalische Distanz  $R$  kennen und zusammen mit der scheinbaren Ausdehnung und der Rotverschiebung könnten wir die Hubble-Konstante bestimmen.

### A. Herleitung der Kompaneck-Gleichung

Es stellt sich nun also die Aufgabe, die Änderung der Photonenverteilung  $n(\omega)$  beim Durchgang der Strahlung durch ein heisses Plasma im thermischen Gleichgewicht (der Temperatur  $T$ ) zu berechnen.

Wir betrachten ein unendliches homogenes Volumen und nehmen an, dass  $n(\omega)$  isotrop ist. Die Boltzmann-Verteilung der Elektronen berechnen wir mit  $N(E)$ . Dann lautet die Boltzmann-Gl. für  $n(\omega)$ :

$$\frac{\partial n(\omega)}{\partial t} = - \int d\vec{p} \, c \, d\Omega(\omega, \vec{p} \rightarrow \omega', \vec{p}') \times [ (1+n(\omega')) n(\omega) N(E) - (1+n(\omega)) n(\omega') N(E') ]$$

$$(E = \vec{p}^2/2m, E' = \vec{p}'^2/2m). \tag{3}$$

Für nichtrelativistische Elektronen ist nun die Frequenz  $\nu'$  nach der Streuung nahe bei  $\nu$  und somit ist das Verhältnis  $h\Delta/kT$ ,  $\Delta := \nu' - \nu$ , eine kleine Zahl <sup>\*)</sup> ist. In dieser Situation wird aus der Boltzmann-Gl. näherungsweise eine Fokker-Planck-Gleichung, wie wir nun im Einzelnen zeigen wollen.

Die Richtungen der Photonen vor und nach dem Streuprozess seien  $\vec{n}$ , bzw.  $\vec{n}'$ . Dann lautet Energie-Impuls-Sätze

$$h\nu + \frac{\vec{p}^2}{2m_e} = h\nu' + \frac{\vec{p}'^2}{2m_e} \quad (4)$$

$$\frac{h\nu}{c} \vec{n} + \vec{p} = \frac{h\nu'}{c} \vec{n}' + \vec{p}'$$

Die 2. Gl. löse man nach  $\vec{p}'$  auf, quadriere die resultierende Gl. und benutze das Resultat in der ersten Gl. Man findet leicht

$$h\Delta = - \frac{h\nu c \vec{p} \cdot (\vec{n} - \vec{n}') + h^2 \nu^2 (1 - \vec{n} \cdot \vec{n}')}{m_e c^2 + h\nu (1 - \vec{n} \cdot \vec{n}') - c \vec{p} \cdot \vec{n}'} \quad (5)$$

In der Rechnung weiter unten benötigen wir davon explizite nur die höchste Ordnung in  $v/c$ :

$$h\Delta \approx - \frac{h\nu c \vec{p} \cdot (\vec{n} - \vec{n}')}{m_e c} \quad (6)$$

<sup>\*)</sup> In einer Übungsaufgabe werden wir weiter unten zeigen, dass im Mittel

$$\frac{\langle h\Delta \rangle}{kT} = 4 \frac{h\nu}{m_e c^2} - \frac{h\nu}{m_e c^2} \frac{h\nu}{kT}$$

Nun entwickeln wir den Integranden des Stossterms in (3) bis zur 2. Ordnung in  $h\Delta/kT$ . Dazu benutzen wir die Taylorentwicklungen ( $x := h\nu/kT$ ):

$$n(\nu') = n(\nu) + \frac{h\Delta}{kT} \frac{\partial n}{\partial x} + \frac{1}{2} \left( \frac{h\Delta}{kT} \right)^2 \frac{\partial^2 n}{\partial x^2} + \dots, \quad (7)$$

$$N(E') = N(E - h\Delta) = N(E) \left[ 1 + \frac{h\Delta}{kT} + \frac{1}{2} \left( \frac{h\Delta}{kT} \right)^2 + \dots \right].$$

In der letzten Gleichung haben wir verwendet, dass  $N(E)$  eine Boltzmann-Verteilung ist. Nach einer kurzen Rechnung finden wir

$$\begin{aligned} \frac{\partial n(\nu)}{\partial t} = & \frac{h}{kT} \left( \frac{\partial n}{\partial x} + n + n^2 \right) I_1 \\ & + \frac{1}{2} \left( \frac{h}{kT} \right)^2 \left[ \frac{\partial^2 n}{\partial x^2} + 2(1+n) \frac{\partial n}{\partial x} + n^2 \right] I_2 + \dots, \end{aligned} \quad (8)$$

mit

$$I_1 = \int d^3 p \, c \, d\Omega \, N(E) \, \Delta,$$

$$I_2 = \int \text{''} \text{''} \text{''} \, \Delta^2. \quad (9)$$

Das Integral  $I_2$  lässt sich einfach berechnen, wie wir gleich sehen werden. Hingegen wäre eine direkte Berechnung von  $I_1$  ziemlich kompliziert, da man dafür  $h\Delta$  in der Entwicklung eine Ordnung weitergehen muss. Mit einem solchen Trick lässt sich aber diese Rechnung vermeiden.

Sehen wir im Integral  $I_2$  den differentiellen Thomson-Querschnitt

$$\frac{d\sigma}{d\Omega} = \frac{1}{2} r_e^2 [1 + (\vec{n} \cdot \vec{n}')^2], \quad r_e = \frac{e^2}{m_e c^2},$$

so lautet dieses explizit

$$\begin{aligned} I_2 &= \left(\frac{\nu}{m_e c}\right)^2 \int c \, d\sigma \, N(E) (\vec{p} \cdot (\vec{n} - \vec{n}'))^2 \, d\vec{p} \\ &= \left(\frac{\nu}{m_e c}\right)^2 \int c \, d\sigma \, |\vec{n} - \vec{n}'|^2 \int \underbrace{\frac{1}{3} 4\pi p^2 \, dp}_{\frac{1}{3} \langle p^2 \rangle = kT m_e h_e} N(E) p^2 \\ &= \left(\frac{\nu}{m_e c}\right)^2 kT m_e h_e c \int d\Omega \frac{1}{2} r_e^2 [1 + (\vec{n} \cdot \vec{n}')^2] \underbrace{|\vec{n} - \vec{n}'|^2}_{2 - 2 \vec{n} \cdot \vec{n}'} \end{aligned}$$

Wir haben also

$$I_2 = 2 \left(\frac{\nu}{m_e c}\right)^2 kT m_e h_e \sigma_T c, \quad (10)$$

wo  $\sigma_T = \frac{8\pi}{3} r_e^2$  der totale Thomson-Querschnitt ist.

Sehen wir dies in (8) ein, so sehen wir, dass der Term mit  $I_2$  <sup>einen Anteil</sup> proportional zu  $x^2 (\partial^2 n / \partial x^2)$  ~~ist~~ <sup>hat</sup>, während der Term mit  $I_1$  keinen Beitrag von diesem Typ enthält. Diese Beobachtung wird es uns er-möglichen, den ersten Term in (8) (und somit  $I_1$ ) ohne lange Rechnung zu bestimmen.

Bei der Comptonstreuung bleibt die Photonen-

zahl erhalten und deshalb muss für eine isobare Verteilung ein Erhaltungssatz von folgender Form gelten:

$$\frac{\partial n(x,t)}{\partial t} = - \frac{1}{x^2} \frac{\partial(x^2 j)}{\partial x} \quad (11)$$

wo  $j$  eine "Strömungsdichte" im Turbulenzraum  $x$  des Gasraums

$$\frac{d}{dt} \int n x^2 dx = \int \frac{\partial n}{\partial t} x^2 dx = \int \frac{\partial(x^2 j)}{\partial x} dx = 0. \quad (12)$$

Nun enthält die Gl. (8), wie oben bemerkt, einen Term proportional zu  $\partial^2 n / \partial x^2$  mal eine Funktion von  $x$  (aber nicht von  $n$ !). Deshalb hat  $j$  notwendigerweise die Form

$$j = g(x) \left( \frac{\partial n}{\partial x} + h(n, x) \right) \quad (13)$$

wobei die Funktionen  $g$  und  $h$  noch bestimmt werden müssen.

Natürlich muss die Base-Verteilung  $n_0(x)$  (ev. mit demischen Potential) eine Lösung von (8) sein und für diese muss die Quelle  $j$  selbstverständlich verschwinden. Da aber  $n_0$  die Gl.  $\partial n_0 / \partial x = -n_0 - n_0^2$  erfüllt, impliziert dies

$$h(n, x) = n + n^2. \quad (14)$$

Zur Bestimmung von  $g$  vergleichen wir die Koeffizienten von  $\partial n / \partial x^2$ . In (8) ist der Koeffizient, wie schon festgehalten, proportional zu  $x^2$  und somit gilt  $g(x) \propto x^2$ . Der konstante Proportionalitätsfaktor ergibt sich aus unserem Ausdruck (10) für  $I_2$ :

$$g(x) = - \frac{kT}{u_e c^2} n_e \sigma_T c x^2. \quad (15)$$

Damit ist  $j$  bekannt und wir haben mit der neuen Zeitvariablen

$$y := t \left[ \frac{kT}{u_e c^2} n_e \sigma_T c \right] \quad (16)$$

die gesuchte Kompaneeb-Gl.:

$$\left\| \frac{\partial n}{\partial y} = \frac{1}{x^2} \frac{\partial}{\partial x} \left[ x^4 \left( \frac{\partial n}{\partial x} + n + n^2 \right) \right] \right. \quad (17)$$

Schlusslich können wir auch noch  $I_1$  bestimmen, indem wir die Koeffizienten von  $\partial n / \partial x$  vergleichen. Man findet sofort

$$\frac{h}{kT} \cdot I_1 = \frac{kT}{u_e c^2} \sigma_T n_e x (4 - \nu) c. \quad (18)$$

[Das gleiche Resultat erhält man selbstverständlich auch durch Vergleich der Koeffizienten von  $n$  oder  $n^2$ .]

Bemerkung: Das letzte Resultat benutzen wir, um die mittlere Energieübertragung pro Stoß zu bestimmen.

Ein Blick auf den Ausdruck für  $I_1$  in (9) zeigt, dass

$$\frac{\langle h\Delta \rangle}{kT} = \frac{hI_1}{kT} \frac{1}{c u_e \sigma} \stackrel{(18)}{=} \frac{kT}{m_e c^2} x(4-x)$$

oder

$$\langle h\Delta \rangle = \frac{h\nu}{m_e c^2} (4kT - h\nu). \quad (20)$$

Übungsaufgabe: Leite dieses Resultat durch eine direktere Behandlung her.

Lösung: Rechnen in Einheiten  $\hbar = c = 1$ . Sei  $\varepsilon = h\nu$ ,  $\varepsilon' = h\nu'$ . Für den mittleren Energiegewinn sehen wir eine Reihenentwicklung in  $\frac{\varepsilon}{m} \ll 1$ ,  $T/m \ll 1$  an:

$$\langle \Delta \varepsilon \rangle = -m \left[ \alpha_1 + \alpha_2 \frac{\varepsilon}{m} + \alpha_3 \frac{T}{m} + \alpha_4 \left( \frac{\varepsilon}{m} \right)^2 + \alpha_5 \frac{\varepsilon T}{m} + \alpha_6 \frac{T^2}{m^2} + \dots \right]$$

und bestimmen die tiefsten nichtverschwindenden Terme.

Für  $T = \varepsilon = 0$  passiert nichts und somit ist  $\alpha_1 = 0$ . Falls  $T = 0$ ,  $\varepsilon \neq 0$  haben wir bei der Compton-Streuung den Energieübertrag<sup>\*)</sup>  $\Delta \varepsilon = -\frac{\varepsilon^2}{m} (1 - \cos \theta)$  ( $\theta =$  Streuwinkel) und dies müssen wir mit der Winkel

<sup>\*)</sup> Im Ruhesystem des Elektrons ist  $\Delta \varepsilon = -\frac{\varepsilon \varepsilon'}{m} (1 - \cos \theta) \approx -\frac{\varepsilon^2}{m} (1 - \cos \theta)$  (exakt)



abhängigkeit der Thomson-Streuung  $d\sigma/d\Omega \propto 1 + \cos^2\theta$   
 mittels:  $\langle \Delta \epsilon \rangle = - \epsilon^2 / m$  für  $T=0$ . Dies zeigt  
 $\alpha_2=0, \alpha_4=1$ . Falls andererseits  $\epsilon=0, T \neq 0$  muss  
 $\langle \Delta \epsilon \rangle$  verschwinden, weshalb  $\alpha_3=\alpha_6=0$ . Es bleibt die  
 Bestimmung von  $\alpha_5$ . Dazu machen wir ein Gedanken-  
 experiment. Wir stellen uns vor, es gebe einen  
 verdünnten thermischen Gleichgewichtsfluss von  
 Photonen\*) mit derselben Temperatur wie für das Gas,  
 so dass

$$d(\text{Zahl der Photonen})/d\epsilon = \text{const } \epsilon^2 e^{-\epsilon/T}$$

Im thermischen Gleichgewicht muss gelten

$$\int_0^\infty \langle \Delta \epsilon \rangle \epsilon^2 e^{-\epsilon/T} d\epsilon = 0,$$

d.h. (für  $\alpha_1=\alpha_2=\alpha_3=\alpha_6=0, \alpha_4=1$ )

$$\underbrace{\langle \epsilon^2 \rangle_T}_{12T^2} + \alpha_5 T \underbrace{\langle \epsilon \rangle_T}_{3T} = 0 \Rightarrow \alpha_5 = -4.$$

Somit haben wir

$$\langle \Delta \epsilon \rangle = - (\epsilon^2 - 4T\epsilon) / mc^2 + \dots,$$

was mit (20) übereinstimmt.

\* \* \*

---

\*) Das dreifache Potential ist also  $\neq 0$ . Dies ist möglich, da die Photonenzahl bei der Streuung erhalten ist.

numerisches Beispiel :

$$\frac{\Delta T}{T} = - z \frac{kT_e}{m_e c^2} \pi_T$$

$$kT_e = 5 \text{ keV} \quad , \quad \pi_T = \frac{1}{20}$$

$$\rightarrow \frac{\Delta T}{T} \approx 10^{-3}$$

---

## B. Anwendungen der Kompauech-Gleichung

Wir betrachten als erste Anwendung eine Situation, bei der aufgrund einer schwarzen Strahlung vorliegt, die ausbreitend durch die Wechselwirkung mit einem heißen Plasma leicht verändert wird.

Für kleine Änderungen können wir in der Kompauech-Gl. (17) rechts die ungestörte Verteilung

$$n_0 = \frac{1}{e^{\bar{x}} - 1}, \quad \bar{x} = \frac{h\nu}{kT_\gamma} = x \frac{T_e}{T_\gamma} \quad (21)$$

einsetzen. Nun ist

$$n_0^2 + u_0 = - \frac{\partial u_0}{\partial x} = - \frac{\partial n_0}{\partial x} \frac{T_\gamma}{T_e}.$$

Damit wird aus (17)

$$\frac{\partial n}{\partial y} = \frac{1}{x^2} \frac{\partial}{\partial x} \bar{x}^4 \frac{\partial n_0}{\partial x} \left(1 - \frac{T_\gamma}{T_e}\right). \quad (22)$$

Den Faktor  $1 - T_\gamma/T_e$  können wir durch eine Redefinition von  $y$  absorbieren  $[\bar{y} = (1 - T_\gamma/T_e)y = \frac{T_e - T_\gamma}{u} \nu n_e]$ .

Nun ist

$$\begin{aligned} \frac{1}{x^2} \frac{\partial}{\partial x} \bar{x}^4 \frac{\partial n_0}{\partial x} &= -4\bar{x} \frac{e^{\bar{x}}}{(e^{\bar{x}} - 1)^2} + \bar{x}^2 \frac{e^{\bar{x}}}{(e^{\bar{x}} - 1)^2} \left[ -1 + 2 \frac{e^{\bar{x}}}{e^{\bar{x}} - 1} \right] \\ &= \frac{e^{\bar{x}}}{(e^{\bar{x}} - 1)^2} \bar{x} \left[ \frac{\bar{x}}{\tanh \frac{\bar{x}}{2}} - 4 \right]. \end{aligned}$$

$$\frac{e^{\bar{x}} + 1}{e^{\bar{x}} - 1} = \frac{1}{\tanh \frac{\bar{x}}{2}}$$

Dann ergibt sich für die Änderung von  $n$  und  $I_\nu$

$$\frac{\Delta n}{n_0} = \frac{\Delta I_\nu}{I_\nu} = \bar{y} \frac{\bar{x} e^{\bar{x}}}{e^{\bar{x}} - 1} \left[ \frac{\bar{x}}{\tanh \frac{\bar{x}}{2}} - 4 \right]. \quad (23)$$

Im Rayleigh-Jeans Bereich ( $\bar{x} \ll 1$ ) wird daraus

$$\frac{\Delta n}{n_0} = \frac{\Delta I_\nu}{I_\nu} \approx -2\bar{y}. \quad (24)$$

[Für  $T_e \gg T_g$  haben wir natürlich  $\bar{y} \approx y$ .]

Wir wollen noch die Änderung der Strahlungstemperatur (brightness temperature) bestimmen. Diese ist definiert durch

$$I_\nu = \mathfrak{B}_\nu(T_b). \quad (25)$$

Im Rayleigh-Jeans Bereich bedeutet dies (man nennt dann  $T_b$  oft auch die R-J-Temp.  $T_{RJ}$ ):

$$T_{RJ} = \frac{c^2}{2\nu^2 k} I_\nu. \quad (26)$$

Nach (24) ist

$$\frac{T_{RJ} - T_g}{T_g} = -2\bar{y}. \quad (27)$$

Bei einer beliebigen Frequenz setzen wir  $\frac{T_b}{T_g} = 1 + y f(\bar{x})$ , wo  $f$  eine kleine Grösse ist. Wir haben  $\frac{T_b}{T_g}$  dann für kleine  $y$

$$n(\bar{x}, T_b) = \frac{1}{e^{\bar{x}/(1+yf(\bar{x}))} - 1} \approx \frac{1}{e^{\bar{x}} - 1} + y f(\bar{x}) \frac{\bar{x} e^{\bar{x}}}{(e^{\bar{x}} - 1)^2}.$$

Folglich ist

$$\frac{\Delta u}{u_0} = y f(\bar{x}) \frac{\bar{x} e^{\bar{x}}}{e^{\bar{x}} - 1}.$$

Durch Vergleich mit (23) ergibt sich

$$f(\bar{x}) = \frac{\bar{x}}{\tanh \frac{\bar{x}}{2}} - 4.$$

Somit

$$\frac{T_e - T_g}{T_g} = \bar{y} \left\{ \frac{\bar{x}}{\tanh \frac{\bar{x}}{2}} - 4 \right\}. \quad (28)$$

Im Rayleigh-Jeans Gebiet ergibt sich daraus wieder (27).

### Ergänzung

Für  $T_e \gg T_g$  kann man in der Komparisch-Gl. (17) die Terme mit  $u^2$  und  $u$  vernachlässigen. Dann bleibt die lineare Gl.

$$\frac{\partial n}{\partial y} = \frac{1}{x^2} \frac{\partial}{\partial x} \bar{x}^4 \frac{\partial n}{\partial x}. \quad (29)$$

Mit der Variablentransf.  $\xi = \ln \bar{x}$  wird daraus

$$\frac{\partial n}{\partial y} = z \frac{\partial n}{\partial \xi} + \frac{\partial^2 n}{\partial \xi^2}.$$

Diese lässt sich durch die Transformation

$$(y, \xi) \mapsto (y, z), \quad z = zy + \xi \quad (30)$$

in die Wärmeleitungsgleichung

$$\frac{\partial n}{\partial y} = \frac{\partial^2 n}{\partial z^2} \quad (31)$$

überführen, für welche wir das Cauchy-Problem in bekannter Weise lösen können:

$$n(z, y) = \frac{1}{\sqrt{4\pi y}} \int e^{-(z-z')^2/4y} n(z', 0) dz'$$

Hier setzen wir wieder die alten Variablen ein.

$$n(\bar{x}, y) = \frac{1}{\sqrt{4\pi y}} \int_0^\infty n_0(w) \exp\left[-\frac{(\ln \bar{x} - \ln w - zy)^2}{4y}\right] \frac{dw}{w} \quad (32)$$

wo  $n_0(w)$  die spektrale Anfangsverteilung ist. Wir wollen sehen wie sich die Rayleigh-Jeans Temp. ändert. Im Rayleigh-Jeans Gebiet ist  $n_0(w) = \frac{1}{w}$ , also mit  $t = \ln w$

$$n(\bar{x}, y) = \frac{1}{\sqrt{4\pi y}} \int_{-\infty}^{+\infty} dt e^{-[4yt + (\ln \bar{x} + zy - t)^2]/4y}$$

Die eckige Klammer im Exponenten ist gleich  $4y(zy + \ln \bar{x}) + (t - \ln \bar{x} - y)^2$ , also erhalten wir

$$\begin{aligned} n(\bar{x}, y) &= \frac{1}{\sqrt{4\pi y}} e^{-zy - \ln \bar{x}} \int_{-\infty}^{+\infty} dt e^{-(t - \ln \bar{x} - y)^2/4y} \\ &= \frac{1}{\bar{x}} e^{-zy} \end{aligned} \quad (33)$$

Dies hat wieder die Form des Rayleigh-Jeans-Gesetzes, aber mit

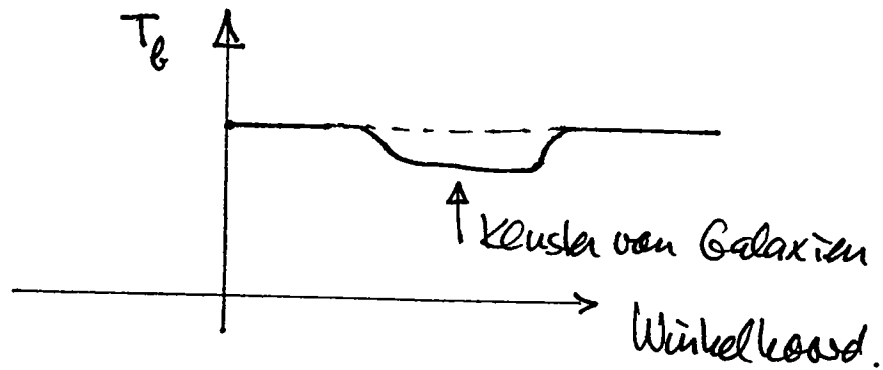
$$\boxed{T_{RJ} = T_0 e^{-zy}} \quad (34)$$

Bei der Durchquerung der intergalaktischen Plasma-  
wolke eines reichten Galaxienhaufens erwarten wir nach  
(34) eine Absenkung der Rayleigh - Jeans Temperatur um

$$\frac{\Delta T_{RJ}}{T_0} \approx -2y = -2 \frac{zR}{c} \frac{kT_e}{m_e c^2} n_e \sigma_T c$$

$$= -4 \frac{kT_e}{m_e c^2} \sigma_T \underline{n_e R}. \quad (35)$$

Diese relative Änderung ist zahlenmässig in der Gegend  
von  $10^{-3}$  ( $\Delta T_{RJ} \sim 1 \text{ mK}$ ).



Wie bereits ausgeführt, ist es mit diesem Sunyaev -  
Zeldovich - Effekt grundsätzlich möglich, die Hubble -  
Konstante ohne intermediäre Schritte oder Be-  
nutzung von anderen Distanzindikatoren zu  
bestimmen! Ferner wäre es mit dieser Methode  
bei grossen Rotverschiebungen prinzipiell möglich,  
auch den Dichteparameter  $\Omega_0$  einzugrenzen, und  
dies ohne irgend welche Annahmen über die  
Evolution der Kluster. Leider sind aber verschiedene  
Schwierigkeiten zu erwarten. So können andere Quellen  
(z.B. kompakte Radioquellen in Galaxien) die effektive

Temperaturen der Hintergrundstrahlung in Richtung der Haufen verändern.

Die erwartete Absenkung von  $T_{EZ}$  von der Grössenordnung  $1 \mu K$  soll angeblid in einigen Fällen nachgewiesen worden sein.

Aufzeichnungen



Anhang G. Untermannigfaltigkeiten der Kodimension 1,  
Gleichungen von Gauss, Codazzi und Mainardi

Es sei  $\Sigma$  eine raumartige dreidimensionale Untermannigfaltigkeit der Raumzeit  $(M, g)$  mit induzierter Metrik  $\bar{g}$ . Die folgenden Behauptungen sind rein lokaler Natur. Aus rechnerischen Gründen erweitert es sich als zweckmäßig, bezüglich adaptierten orthonormierten Rahmen  $\{e_\mu\}$  zu arbeiten, für welche  $e_i$  ( $i=1,2,3$ ) in Punkten von  $\Sigma$  tangential an  $\Sigma$  sind. Die duale Basis von  $\{e_\mu\}$  sei  $\{\theta^\mu\}$  und  $\omega^k$ ,  $\Omega^k$  bezeichnen wie immer die Zusammenhangsformen und Krümmungsformen relativ zu dieser Basis. Die entsprechenden Größen der Untermannigfaltigkeit  $\Sigma$  relativ zur Basis  $\{\theta^i\}$  bezeichnen wir mit  $\bar{\omega}^i_j$ ,  $\bar{\Omega}^i_j$ .

Zunächst beschränken wir die 1. Strukturgleichung zu  $(M, g)$  auf  $T(\Sigma)$ :

$$d\omega^i + \omega^i_k \wedge \theta^k = 0 \quad \text{auf } T(\Sigma) \quad (1)$$

$$\underbrace{d\omega^0}_0 + \omega^0_k \wedge \theta^k = 0 \quad \text{auf } T(\Sigma) \quad (2)$$

Die  $\bar{\omega}^i_k$  erfüllen dieselben Gleichungen (1) und haben dieselben Symmetrieeigenschaften wie die  $\omega^i_k$ . Die Eindeutigkeit der Lösung impliziert also

$$\bar{\omega}^i_j = \omega^i_j \quad \text{auf } T(\Sigma). \quad (3)$$

Die Formen  $\omega^0_i = \omega^i_0$  erfüllen nach (2) auf  $T(\Sigma)$  die Hypothese des folgenden Lemmas.

Lemma (Cartan): Sind  $\lambda^1, \dots, \lambda^n$  linear unabhängige 1-Formen auf einer Mannigfaltigkeit  $M$  der Dimension

$n' \geq n$  und sind  $\mu_1, \dots, \mu_n$  1-Formen, welche

$$\sum_{i=1}^n \lambda^i \wedge \mu_i = 0 \quad (4)$$

erfüllen, dann gibt es eindeutige  $C^\infty$ -Funktionen  $f_{ij}$  auf  $M$ , so dass

$$\mu_i = \sum_{j=1}^n f_{ij} \lambda^j; \quad (5)$$

überdies gilt

$$f_{ij} = f_{ji}. \quad (6)$$

Beweis: In einer Umgebung irgend eines Punktes können wir 1-Formen  $\lambda^{n+1}, \dots, \lambda^{n'}$  konstruieren, so dass  $\lambda^1, \dots, \lambda^{n'}$  überall linear unabhängig sind. Dann gibt es aber gar keine Funktionen  $f_{ij}$  ( $i \leq n, j \leq n'$ ) mit

$$\mu_i = \sum_{j=1}^{n'} f_{ij} \lambda^j.$$

Die Gleichung (4) impliziert

$$0 = \sum_{i=1}^n \sum_{j=1}^{n'} f_{ij} \lambda^i \wedge \lambda^j = \sum_{1 \leq i < j \leq n} (f_{ij} - f_{ji}) \lambda^i \wedge \lambda^j + \sum_{i=1}^n \sum_{j=n+1}^{n'} f_{ij} \lambda^i \wedge \lambda^j.$$

Da die  $\lambda^i \wedge \lambda^j$  für  $i < j$  linear unabhängig sind, haben wir  $f_{ij} = f_{ji}$  für  $i, j \leq n$  und  $f_{ij} = 0$  für  $j > n$ .  $\square$

Nach diesem Lemma gibt es eindeutige Funktionen  $k_{ij}$  auf  $\Sigma$ , so dass

$$\omega_j^0 = k_{ij} \theta^i \quad \text{auf } T(\Sigma), \quad (7)$$

$$k_{ij} = k_{ji}. \quad (8)$$

Wir denken nun die bisherigen Resultate geometrisch. Bezeichnet  $\nabla$  den Riemannschen Zusammenhang von

$(h, g)$  und  $\bar{\nabla}$  diejenigen von  $(\Sigma, \bar{g})$ , so folgt aus (3)

$$(\nabla_X e_j, e_i) = \omega_{ij}(X) = \bar{\omega}_{ij}(X) = (\bar{\nabla}_X e_j, e_i) \quad \text{für } X \in T(\Sigma), \quad (9)$$

und aus (7) und (8)

$$(\nabla_{e_i} e_j, e_0) = \omega_{0j}(e_i) = k_{ij} = (\nabla_{e_j} e_i, e_0). \quad (10)$$

Bezeichnet ferner  $K(X, Y)$  die symmetrische Bilinearform auf  $T(\Sigma)$  zu  $k_{ij}$ , so schreiben wir aus (9) und (10):

$$\boxed{\nabla_X Y = \bar{\nabla}_X Y + K(X, Y)n}, \quad X, Y \in T(\Sigma), \quad (11)$$

wobei  $n = e_0$  der normierte Normalenvektor auf  $\Sigma$  ist.

Dies sind die Formeln von Gauss und  $K(X, Y)$  ist die 2. Fundamentalfarm (extrinsische Krümmung) von  $\Sigma$ . Insbesondere gilt

$$K(X, Y) = (n, \nabla_X Y) = -(\nabla_X n, Y). \quad (11')$$

Der zweite Ausdruck für  $K$  beinhaltet die sog. Weingarten-Gleichung.

Nun verknüpfen wir die 2. Strukturgleichung auf  $T(\Sigma)$ .

Aus

$$\Omega^i_j = d\omega^i_j + \omega^i_k \wedge \omega^k_j + \omega^i_0 \wedge \omega^0_j \quad \text{auf } T(\Sigma)$$

und (3) folgt

$$\Omega^i_j = \bar{\Omega}^i_j + \omega^i_0 \wedge \omega^0_j \quad \text{auf } T(\Sigma). \quad (12)$$

Ferner haben wir

$$\Omega^0_j = d\omega^0_j + \omega^0_i \wedge \omega^i_j \quad \text{auf } T(\Sigma). \quad (13)$$

Mit (7) erhalten wir aus (12)

$$\boxed{\Omega^i_j = \bar{\Omega}^i_j + K_{ik} K_{je} \theta^k \wedge \theta^e} \quad \text{auf } T(\Sigma). \quad (14)$$

Diese Gleichung können wir folgendermaßen umdeuten:

$$\begin{aligned}
 (R(X, Y)e_j, e_i) &= \Omega_{ij}(X, Y) = (\bar{R}(X, Y)e_j, e_i) \\
 &= \underbrace{k_{ik} k_{je}}_{k(e_i, X) k(e_j, Y) - (X \leftrightarrow Y)} (\theta^k \wedge \theta^j)(X, Y) \quad \text{für } X, Y \in T(\Sigma).
 \end{aligned}$$

Also ist (14) äquivalent zur berühmten Gours-Gleichung (Theorema Egregium):

$$\boxed{(R(X, Y)Z, W) = (\bar{R}(X, Y)Z, W) + k(X, Z)k(Y, W) - k(Y, Z)k(X, W)}, \quad (15)$$

in welcher alle Vektorfelder tangential an  $\Sigma$  sind.

Aus (13), (7) und (8) folgt

$$\begin{aligned}
 \Omega_j^0 &= d(k_{ij} \theta^i) + k_{ik} \theta^k \wedge \omega_j^i \quad \text{auf } T(\Sigma) \\
 &= \underbrace{dk_{ij} \wedge \theta^i + k_{ij} d\theta^i}_{- \omega_k^i \wedge \theta^k \text{ auf } T(\Sigma)}
 \end{aligned}$$

d.h.

$$\boxed{\Omega_j^0 = \bar{D} k_{ij} \wedge \theta^i} \quad \text{auf } T(\Sigma) \quad (16)$$

( $\bar{D}$ : absolutes äußeres Differential auf  $\Sigma$ ). Auch diese Gleichung deuten wir um:

$$\begin{aligned}
 (R(X, Y)e_j, n) &= \Omega_{0j}(X, Y) = (\bar{D} k_{ij} \wedge \theta^i)(X, Y) \\
 &= \bar{\nabla}_k k_{ij} (\theta^k \wedge \theta^i)(X, Y) = X^k Y^i \bar{\nabla}_k k_{ij} - (X \leftrightarrow Y) \\
 &= (\bar{\nabla}_X k)(Y, e_j) - (X \leftrightarrow Y) \quad \text{für } X, Y \in T(\Sigma).
 \end{aligned}$$

Dies zeigt, dass (16) äquivalent ist zur folgenden Gleichung von Codazzi und Mainardi:

$$\boxed{(R(X, Y)Z, n) = (\bar{\nabla}_X k)(Y, Z) - (\bar{\nabla}_Y k)(X, Z) \quad \text{für } X, Y, Z \in T(\Sigma)} \quad (17)$$

Die grundlegenden Gleichungen (14) und (16) gestalten es uns, interessante und nützliche Ausdrücke für die Komponenten  $R_{0i}$  und  $G_{00}$  auf  $\Sigma$  zu finden. Dazu notieren wir zunächst ganz allgemein:

$$i_{e_\alpha} \Omega^\alpha_\beta = \frac{1}{2} i_{e_\alpha} R^\alpha_{\beta\gamma\delta} \theta^\beta \wedge \theta^\delta = R_{\beta\delta} \theta^\delta$$

und damit

$$\boxed{\Omega^\alpha_\beta(e_\alpha, e_\delta) = R_{\beta\delta}} \quad (18)$$

Insbesondere gilt

$$R_{0i} = \Omega^j_0(e_j, e_i). \quad (19)$$

Die rechte Seite erfordert  $\Omega^j_0$  nur auf  $T(\Sigma)$ !

Für  $G_{00}$  haben wir

$$G_{00} = R_{00} - \frac{1}{2} (R_{00} - \sum_i R_{ii}) = \frac{1}{2} (R_{00} + \sum R_{ii}).$$

Darin ist nach (18)

$$R_{00} = \Omega^j_0(e_j, e_0)$$

$$\sum_i R_{ii} = \sum_i \left[ \sum_j \Omega^j_i(e_j, e_i) + \Omega^0_i(e_0, e_i) \right]$$

und folglich

$$2G_{00} = \sum_{i,j} \Omega^j_i(e_j, e_i). \quad (20)$$

Rechts wird wieder lediglich  $\Omega^j_i$  auf  $T(\Sigma)$  benötigt.

Setzen wir in (19) und (20) die Ausdrücke (16), bzw. (14)

ein, so kommt

$$\boxed{R_{0i} = \sum_j (\bar{\nabla}_j k_{ij} - \bar{\nabla}_i k_{jj})} \quad \text{auf } \Sigma, \quad (21)$$

Sowie

$$2G_{00} = \sum_{i,j} \Omega^j_i(e_j, e_i) + k_{jk} k_{kl} \underbrace{(\theta^k \wedge \theta^l)}_{\delta^k_j \delta^l_i - \delta^k_i \delta^l_j}(e_j, e_i) =$$

$$= \underbrace{\sum \bar{R}_{ii}}_{-\bar{R}} + \left( \sum_j k_{jj} \right) \left( \sum_i k_{ii} \right) - \sum_{ij} k_{ij} k_{ji},$$

d.h.

$$\boxed{G_{00} = -\frac{1}{2} \bar{R} + \frac{1}{2} \sum_{ij} (k_{ii} k_{jj} - k_{ij} k_{ji})} \quad \text{auf } \Sigma. \quad (22)$$

- Bemerkung: 1) Wählt man auf  $\Sigma$  das Negative der induzierten Metrik (wodurch  $\Sigma$  ein Riemannischer Raum mit positiv definiten Metrik wird), so ändert das Vorzeichen von  $\bar{R}$ .
- 2) Bezeichnen wir das Tensorfeld am  $T_1(\Sigma)$  zu  $K$  ebenfalls mit  $K$ , so lautet (22) etwas invarianter geschrieben

$$\boxed{G(n, n) = -\frac{1}{2} \bar{R} + \frac{1}{2} [(\operatorname{Sp} K)^2 - \operatorname{Sp} K^2]} \quad \text{auf } \Sigma. \quad (22')$$

- 3) Für Ergänzungen zu diesem Anhang verweisen wir auf [MS, Vol. III, Chapter 1].

